

ESCUELA POLITECNICA NACIONAL
FACULTAD DE INGENIERIA ELECTRICA

EQUIVALENTES π , T y PARAMETROS
CARACTERISTICAS DE LINEAS DE TRANSMISION

EDISON VALLEJO MONTERO

OCTUBRE 1981

QUITO-ECUADOR

Certifico que el presente trabajo fue rea
lizado en su totalidad y bajo mi dirección
por el señor Edison Vallejo M.



Ing. José Barragán
PROFESOR DE LA ESCUELA POLITECNICA
NACIONAL

A G R A D E C I M I E N T O

Agradezco a todas y cada una de las personas que directa e indirectamente colaboraron en la realización del presente trabajo, en especial al Ingeniero José Barragán, Director de Tesis, cuya valiosa colaboración ayudó a la culminación de esta Tesis.

DEDICATORIA

A MI ESPOSA Y MI QUERIDA HIJA

C O N T E N I D O

Resumen

Introducción, Notación

CAPITULO I

OBTENCION DE LOS EQUIVALENTES P_i Y T DE LINEAS DE TRANSMISION EN FORMA MATRICIAL.

- 1.1. Planteo de las Ecuaciones Diferenciales
- 1.2. Desarrollo en Base a la Ecuación Diferencial de Corriente
- 1.3. Desarrollo en Base a la Ecuación Diferencial de Voltaje
- 1.4. Determinación de las Matrices del Cuadripolo Equivalente
- 1.5. Equivalente P_i
- 1.6. Equivalente T

CAPITULO II

PROGRAMA Y DIAGRAMAS DE FLUJO

- 2.1. Programa Principal
- 2.2. Subrutinas Empleadas
- 2.3. Manual de Uso del Programa

CAPITULO III

APLICACIONES

Problemas Tipo

CAPITULO IV

CONCLUSIONES Y RECOMENDACIONES

Anéxos:

Anexo N° 1 Valores y Vectores Característicos de Matrices Complejas

Anexo N° 2 Componentes Simétricas y de Fase

Anexo N° 3 Sistemas de Ecuaciones Diferenciales Homogéneas

Anexo N° 4 Parámetros Característicos de Líneas de Transmisión

Bibliografía.

R E S U M E N

La idea fundamental del presente trabajo es el plantear, en una línea de transmisión, relaciones de voltajes y corrientes de envío en función de los de recepción utilizando parámetros distribuidos, estas relaciones comparadas con las correspondientes que se plantean en un cuadripolo de la forma PI o T, proporcionarán los elementos de estos equivalentes.

El punto de partida es aplicar a cada uno de los conductores equivalentes de la línea, las relaciones voltaje-corriente en forma diferencial con derivadas parciales respecto a la longitud de la línea. Si al voltaje o corriente se los considera como incógnitas, entonces se obtendrá un número de ecuaciones igual a tres veces el número de circuitos en paralelo ($3n$), con un número de incógnitas igual al número de ecuaciones.

Una vez planteado el problema de esta manera, se procederá a aplicar el primer postulado de generalización dado en: "Tensor Analysis of Networks", Gabriel Kron, que dice: El método de análisis y las ecuaciones finales que describen el comportamiento de un sistema físico complejo (con n grados de libertad), pueden ser obtenidos siguiendo paso a paso las unidades más simples del sistema, pero las más generales, siempre que cada cantidad sea reemplazada por una apropiada matriz de orden n .

../..

Utilizando el postulado mencionado, el sistema de $3n$ ecuaciones con $3n$ incógnitas se convierte en una ecuación matricial, en la que la impedancia y admitancia son reemplazadas por matrices cuadradas y la tensión y corriente por vectores, todos de grado $3n$.

El método usado en el programa digital es utilizar el algoritmo desarrollado en: "Development of Equivalent PI y T Matrix Circuits for Long Untransposed Transmission Lines" Bowman y McNamee, y que es desarrollado en el Capítulo N° 1.

Utilizando los resultados obtenidos por medio del programa, relacionándolos con los obtenidos por medio del modelo nominal, que únicamente trabaja con parámetros concentrados, se obtendrán curvas que permitirán pasar del modelo nominal hacia un modelo mucho más confiable.

I N T R O D U C C I O N

El creciente desarrollo industrial y urbanístico experimentado en el país, han determinado que de igual manera se desarrollen las fuentes de generación eléctrica, tal es el caso de la implementación de fuentes de generación a cargo del INECEL (Instituto Ecuatoriano de Electrificación), los que tendrán que suplir el cada vez mayor requerimiento energético.

Los factores mencionados han creado la necesidad de implementar centros de generación, tanto hidráulicas como térmicas, a lo largo de todo el país. Fundamentalmente hidráulicas debido a que las ventajas sobre las térmicas son mayores debido a algunos factores, como por ejemplo su mayor vida útil, que a la final van a influir en el costo de Kwh, a la vez que se ahorra el consumo de hidrocarburos que en la actualidad tienen un valor apreciable, además porque el país tiene recursos hidrológicos suficientes como para ser aprovechados.

La localización de los centros de generación hidráulica son generalmente ubicados en lugares alejados de los centros de consumo, y a la vez alejados entre sí, por lo que el respectivo transporte de la energía se la tiene que hacer por medio de líneas de transmisión que en su generalidad son de una longitud que pueden considerárselas

como largas. Como puede observarse en el diagrama unifilar de la figura N° I.1 del S.N.I. a Diciembre de 1985.

A la vez que estas líneas cruzan distancias considerables, el voltaje al cual trabajan es alto con el fin de transportar la mayor cantidad de energía con un mínimo de pérdidas, y a la vez conseguir la interconexión de centros de generación, obteniendo de esta manera un mejor aprovechamiento de los recursos naturales.

La interconexión trae consigo la necesidad de modelar las líneas de transmisión, con el objeto de estudiar problemas referentes a estabilidad, flujos de carga, fallas, despacho económico de carga y especialmente en el campo de planeación de líneas de transmisión, el mismo que requiere estudios más detallados, conviene en este caso hacer uso de mejores modelos.

El programa, tema de la presente tesis, tiene por objeto de proporcionar modelos equivalentes considerando parámetros distribuidos con el propósito de que su utilización sea lo más real posible.

La tendencia de transportar grandes cantidades de energía eléctrica por medio de líneas largas, han hecho crecer el interés de emplear no sólo líneas paralelas, sino el uso de varios conductores por fase (bundle). Las ventajas de este tipo de líneas es su reducida reactancia debido al aumento del radio medio geométrico.

LEYENDA

- D = MOTOR A DIESEL
- H = TURBINA HIDRAULICA
- V = TURBINA A VAPOR
- G = TURBINA A GAS
- AUTOTRANSFORMADOR
- TRANSFORMADOR
- BARRA
- LINEA EXISTENTE
- - - - - ENTRA EN OPERACION EN 1965

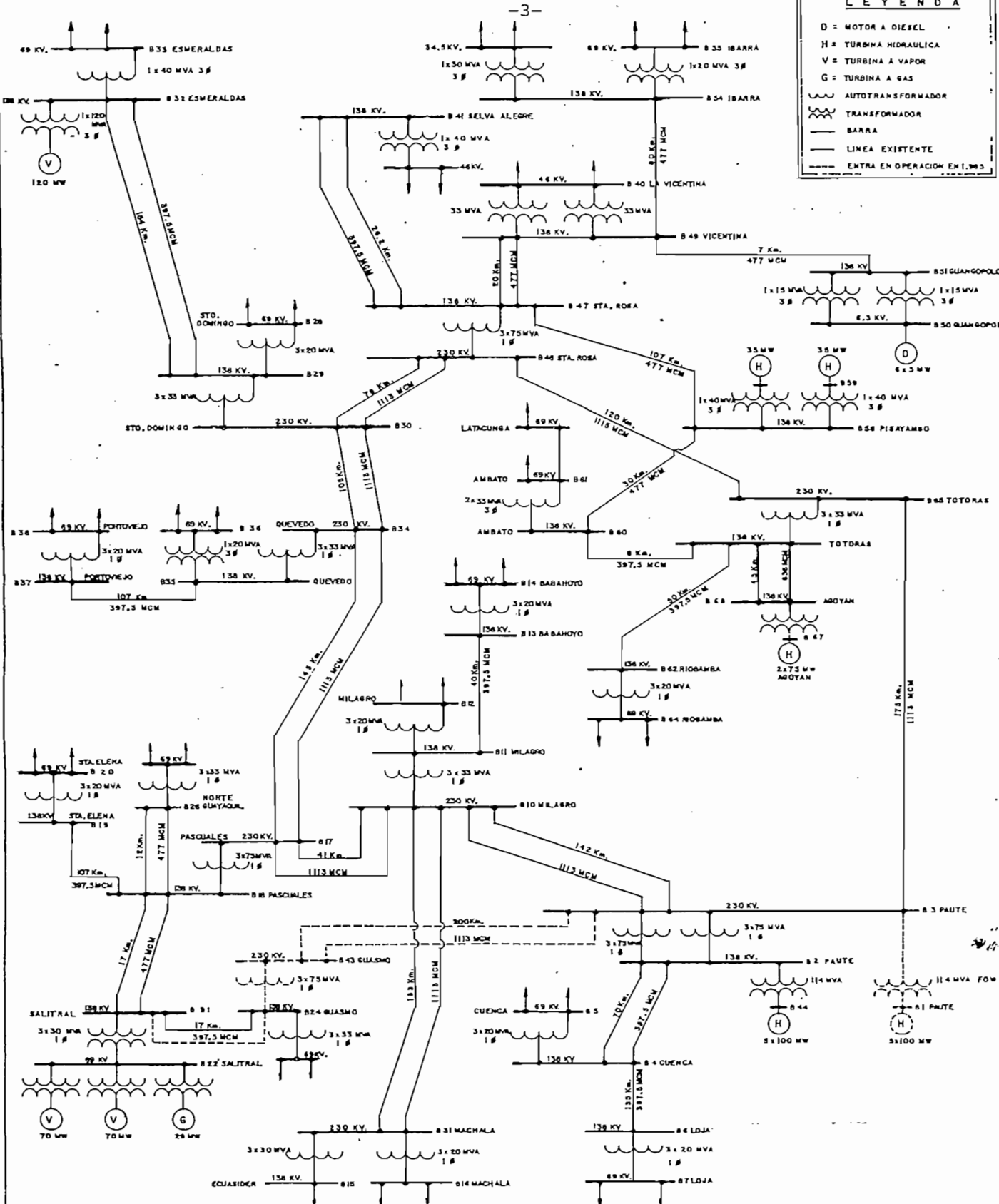


Fig. # I.1.

El desarrollo de los métodos computacionales y su aplicación en todos los campos, han hecho que problemas referentes a resolución de grandes problemas de cálculo sean resueltos por medio de la ayuda del computador, éste es uno de esos casos ya que al desarrollar las ecuaciones matriciales resultantes el cálculo de estos equivalentes sería demasiado laborioso.

El método de análisis empleado y que describe el comportamiento de líneas de transmisión, determinará un sistema de $3 \times n$ ecuaciones (n , número de líneas en paralelo) con $3 \times n$ incógnitas. El sistema de ecuaciones así formado es reunido de manera que en lugar de tener $3 \times n$ ecuaciones con $3 \times n$ incógnitas se tenga una ecuación en la cual cada una de las cantidades está formada por un vector o una matriz de orden $3 \times n$ (ver Referencia N° 1; primer postulado de generalización)

En el proceso de encontrar las ecuaciones, se analizan los valores y vectores característicos de matrices complejas (anexo N° 1) que tienen aplicación amplia en muchos campos en los cuales se lleguen a plantear sistemas de ecuaciones lineales homogéneas.

El desarrollo toma como datos a la impedancia y admitancia por unidad de longitud, las cuales pueden ser halladas utilizando programas que han sido implementados como tesis en la Facultad de Ingeniería Eléctrica de la Escuela Politécnica Nacional, y que están al alcance de los usuarios.

NOTACION

Con el objeto de facilitar la comprensión de fórmulas y evitar grandes espacios, se utilizará la siguiente notación:

a.- Matrices: En general se va a utilizar matrices cuadradas, las cuales se las designará por la letra de la matriz, así:

$$Z = \begin{bmatrix} z_{00} & z_{01} & z_{02} \\ z_{10} & z_{11} & z_{12} \\ z_{20} & z_{21} & z_{22} \end{bmatrix}$$

Las matrices diagonales se las identificará por medio de la letra identificatoria de la matriz, encerrada en un cuadrado, o rectángulo, como:

$$\boxed{\gamma_{jj}} = \begin{bmatrix} \gamma_{00} & 0 & 0 \\ 0 & \gamma_{11} & 0 \\ 0 & 0 & \gamma_{22} \end{bmatrix}$$

Las matrices escalares se las representará por:

././.

$$\boxed{K} = \begin{bmatrix} k & 0 & 0 \\ 0 & k & 0 \\ 0 & 0 & k \end{bmatrix}, \text{ k real o complejo}$$

El determinante de una matriz se lo identificará por:

$$\det. P = \begin{vmatrix} P_{00} & P_{01} & P_{02} \\ P_{10} & P_{11} & P_{12} \\ P_{20} & P_{21} & P_{22} \end{vmatrix}$$

b.- Vectores: Los vectores se los representará con la letra identificatoria sobrerayada, entendiéndose que serán vectores columna, por ejemplo:

$$\bar{i} = \begin{bmatrix} i_0 \\ i_1 \\ i_2 \end{bmatrix}; \quad \bar{m}_0 = \begin{bmatrix} m_{00} \\ m_{10} \\ m_{20} \end{bmatrix}$$

c.- Escalares: A estos se los representará por letras minúsculas, con o son subíndices. Ejemplo:

x, i₀, z₀₀, etc.

..//..

C A P I T U L O I

OBTENCION DE LOS EQUIVALENTES PI Y T DE LINEAS DE TRANSMISION EN FOR-

MA MATRICIAL

Al planificar una línea de transmisión un problema de interés, y que debe tenerse en cuenta en su funcionamiento, es el mantener el voltaje dentro de límites permisibles en todos los puntos de la línea, con el propósito de tener las más óptimas condiciones de servicio.

Los efectos que producen los aumentos de carga con el tiempo deben ser prevenidos de tal manera que no se tengan casos de construir líneas - paralelas en pocos años, y que a la vez tengan un rendimiento óptimo tanto en régimen estacionario, como transitorio.

Este Capítulo está destinado a encontrar las ecuaciones que rigen una línea, considerando parámetros distribuidos y luego al compararlos con los elementos de los cuadripolos de la forma PI o T, proporcionan los equivalentes en estudio.

OBTENCION DE LOS EQUIVALENTES PI Y T DE LINEAS DE TRANSMISION EN FOR-
MA MATRICIAL

1.1. Planteo de las Ecuaciones Diferenciales de una Línea de Transmisión

El análisis y desarrollo de las ecuaciones, se va a realizar en componentes de secuencia (pudiendo hacerlo de igual manera para componentes de fase), y tomando unidades infinitesimales, razón por la cual, se obtendrán ecuaciones matriciales diferenciales.

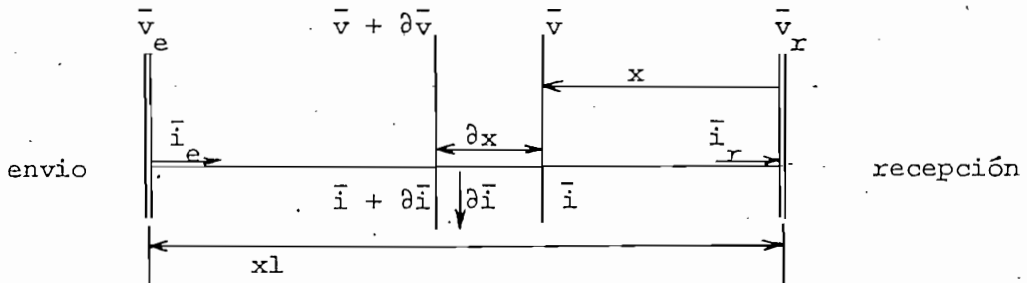


FIGURA N° 1.1. ANALISIS DIFERENCIAL DE UNA LINEA

En la Figura N° 1.1. Y usando el primer postulado de generalización (Referencia N°1).

\bar{v}_e = Voltaje de envío en componentes de secuencia

\bar{i}_e = Corriente de envío en componentes de secuencia

$\bar{v} + \partial\bar{v}$ = Voltaje de ingreso a la unidad diferencial

\bar{v} = Voltaje de salida de la unidad diferencial

$\bar{i} + \partial\bar{i}$ = Corriente de ingreso a la unidad diferencial

\bar{i} = Corriente de salida de la unidad diferencial

∂x = Longitud de la unidad diferencial

x = Distancia entre el extremo de recepción y la unidad diferencial

x_l = Longitud total de la línea de transmisión

\bar{v}_r = Voltaje de recepción en componentes de secuencia

\bar{i}_r = Corriente de recepción en componentes de secuencia

La línea representada en la figura N° 1.1. tiene como parámetros las matrices impedancia serie y admitancia shunt por uni-

dad de longitud.

a.- Matriz de Impedancia Serie por Unidad de Longitud en Componentes de Secuencia:

$$Z = Z_{012} = \begin{bmatrix} Z_{00} & Z_{01} & Z_{02} \\ Z_{10} & Z_{11} & Z_{12} \\ Z_{20} & Z_{21} & Z_{22} \end{bmatrix} \text{ ohmios/unidad de longitud}$$

b.- Matriz Admitancia Shunt por Unidad de Longitud en Componentes de Secuencia:

$$Y = Y_{012} = \begin{bmatrix} Y_{00} & Y_{01} & Y_{02} \\ Y_{10} & Y_{11} & Y_{12} \\ Y_{20} & Y_{21} & Y_{22} \end{bmatrix} \text{ mhos/unidad de longitud}$$

Los elementos de la diagonal representan impedancias o admitancias propias de secuencia; en cambio los elementos fuera de la diagonal representan las impedancias o admitancias mutuas entre circuitos secuenciales. Los subíndices $_{00}$ indican impedancias o admitancias de secuencia cero; los $_{11}$ indican impedancias o admitancias de secuencia positiva; y los $_{22}$ indican impedancias o admitancias de secuencia negativa, en cambio para subíndices $_{ij}$ para $i \neq j$ se tienen acoplamientos.

Y y Z son matrices complejas de orden $3n \times 3n$, en donde n es el número de circuitos en paralelo, aún cuando cada uno de los circuitos contenga hilos de guarda o conductores en haces.

Por otro lado, se puede demostrar que teniendo las matrices $[Y]$ y $[Z]$ en componentes de secuencia (0, 1, 2); se puede hallar sus respectivas componentes de fase (a, b, c)

$$Z_{012} = T^{-1} Z_{abc} T \quad ; \quad Z_{abc} = T Z_{012} T^{-1}$$

y por otro lado:

$$Y_{012} = T^{-1} Y_{abc} T \quad ; \quad Y_{abc} = T Y_{012} T^{-1}$$

Donde T está definida como:

$$T = \begin{bmatrix} 1 & 1 & 1 & 0 & 0 & 0 & \dots \\ 1 & a^2 & a & 0 & 0 & 0 & \dots \\ 1 & a & a^2 & 0 & 0 & 0 & \dots \\ 0 & 0 & 0 & 1 & 1 & 1 & \dots \\ 0 & 0 & 0 & 1 & a^2 & a & \dots \\ 0 & 0 & 0 & 1 & a & a^2 & \dots \\ \cdot & \cdot & \cdot & \cdot & \cdot & \cdot & \dots \\ \cdot & \cdot & \cdot & \cdot & \cdot & \cdot & \dots \\ \cdot & \cdot & \cdot & \cdot & \cdot & \cdot & \dots \end{bmatrix}$$

(anexo N° 2)

..../..

Por otro lado, aplicando la Ley de Ohm a la unidad diferencial de línea en la figura N° 1.1.

$$\partial \bar{i} = Y \partial x \bar{v}$$

Y:

$$\partial \bar{v} = Z \partial x \bar{i}$$

En las que:

- $\partial \bar{v}$ = Caída de tensión en tramo diferencial de línea
- $Z \partial x$ = Impedancia del tramo diferencial (impedancia por unidad de longitud x longitud (∂x))
- \bar{i} = Corriente que sale del tramo diferencial
- $\partial \bar{i}$ = Pérdida de corriente en el tramo debido a la admitancia shunt
- $Y \partial x$ = Admitancia del tramo diferencial (admitancia por unidad de longitud x longitud (∂x)).
- \bar{v} = Tensión a la que está expuesto el tramo diferencial

Reescribiendo las ecuaciones anteriores:

$$\frac{\partial \bar{i}}{\partial x} = Y \bar{v} \quad 1.1.1.$$

y:

$$\frac{\partial \bar{v}}{\partial x} = Z \bar{i} \quad 1.1.2.$$

Si se realiza una segunda derivación de las ecuaciones 1.1.1. y 1.1.2.:

$$\frac{\partial^2 \bar{i}}{\partial x^2} = Y \frac{\partial \bar{v}}{\partial x} \quad 1.1.3.$$

$$\frac{\partial^2 \bar{v}}{\partial x^2} = Z \frac{\partial \bar{i}}{\partial x} \quad 1.1.4.$$

Con la aclaración de que Y y Z son matrices constantes.

Substituyendo 1.1.2., en 1.1.3.; y 1.1.1., en 1.1.4.

$$\frac{\partial^2 \bar{i}}{\partial x^2} = Y Z \bar{i}$$

$$\frac{\partial^2 \bar{v}}{\partial x^2} = Z Y \bar{v}$$

.../...

Si se asigna $P = YZ$ y $Q = ZY$, entonces:

$$\frac{\partial^2 \bar{i}}{\partial x^2} = P\bar{i} \quad 1.1.5$$

$$\frac{\partial^2 \bar{v}}{\partial x^2} = Q\bar{v} \quad 1.1.6.$$

Donde Y es la matriz de admitancia shunt por unidad de longitud, Z es la matriz impedancia serie por unidad de longitud, P es la matriz producto YZ y Q la producto ZY .

Partiendo de la ecuación 1.1.5 o de 1.1.6 se determinarán relaciones entre parámetros de envío en función de los de recepción, mediante lo cual se encontrarán los elementos de los modelos P_i y T .

1.2. Desarrollo y Solución en Base a la Ecuación Diferencial de Corriente

La ecuación 1.1.5 en forma desarrollada:

$$\frac{\partial^2}{\partial x^2} \begin{bmatrix} i_0 \\ i_1 \\ i_2 \end{bmatrix} = \begin{bmatrix} P_{00} & P_{01} & P_{02} \\ P_{10} & P_{11} & P_{12} \\ P_{20} & P_{21} & P_{22} \end{bmatrix} \begin{bmatrix} i_0 \\ i_1 \\ i_2 \end{bmatrix}$$

..../..

ó:

$$\frac{\partial^2 i_0}{\partial x^2} = p_{00} i_0 + p_{01} i_1 + p_{02} i_2$$

$$\frac{\partial^2 i_1}{\partial x^2} = p_{10} i_0 + p_{11} i_1 + p_{12} i_2$$

1.2.1

$$\frac{\partial^2 i_2}{\partial x^2} = p_{20} i_0 + p_{21} i_1 + p_{22} i_2$$

Estas ecuaciones forman un sistema de ecuaciones diferenciales lineales homogéneas de segundo orden, cuyas soluciones son de desarrollo en el Anexo N° 3.

PRIMERA SOLUCION

Una solución al sistema de ecuaciones, es la siguiente serie de identidades:

$$i_0 = m_0 \sinh(\gamma x)$$

$$i_1 = m_1 \sinh(\gamma x)$$

1.2.2

$$i_2 = m_2 \sinh(\gamma x)$$

m_0, m_1, m_2 y γ son constantes a determinarse.

Para verificar la solución adoptada se realizarán las respectivas diferenciaciones:

.../...

$$\frac{\partial i_0}{\partial x} = \gamma m_0 \cosh(\gamma x)$$

$$\frac{\partial^2 i_0}{\partial x^2} = \gamma^2 m_0 \sinh(\gamma x)$$

$$\frac{\partial i_1}{\partial x} = \gamma m_1 \cosh(\gamma x)$$

$$\frac{\partial^2 i_1}{\partial x^2} = \gamma^2 m_1 \sinh(\gamma x)$$

$$\frac{\partial i_2}{\partial x} = \gamma m_2 \cosh(\gamma x)$$

$$\frac{\partial^2 i_2}{\partial x^2} = \gamma^2 m_2 \sinh(\gamma x)$$

Reemplazando en el sistema 1.2.1:

$$\gamma^2 m_0 \sinh(\gamma x) = p_{00} m_0 \sinh(\gamma x) + p_{01} m_1 \sinh(\gamma x) + p_{02} m_2 \sinh(\gamma x)$$

$$\gamma^2 m_1 \sinh(\gamma x) = p_{10} m_0 \sinh(\gamma x) + p_{11} m_1 \sinh(\gamma x) + p_{12} m_2 \sinh(\gamma x)$$

$$\gamma^2 m_2 \sinh(\gamma x) = p_{20} m_0 \sinh(\gamma x) + p_{21} m_1 \sinh(\gamma x) + p_{22} m_2 \sinh(\gamma x)$$

Simplificando $\sinh(\gamma x)$ y reuniendo términos semejantes:

$$(p_{00} - \gamma^2) m_0 + p_{01} m_1 + p_{02} m_2 = 0$$

$$p_{10} m_0 + (p_{11} - \gamma^2) m_1 + p_{12} m_2 = 0$$

1.2.3

$$p_{20} m_0 + p_{21} m_1 + (p_{22} - \gamma^2) m_2 = 0$$

Este sistema es una serie de ecuaciones homogéneas de grado 3...

(el análisis puede extenderse a matrices de grado n)

El sistema anterior puede ser escrito como:

$$\left(\begin{bmatrix} P_{00} & P_{01} & P_{02} \\ P_{10} & P_{11} & P_{12} \\ P_{20} & P_{21} & P_{22} \end{bmatrix} - \begin{bmatrix} \gamma^2 & 0 & 0 \\ 0 & \gamma^2 & 0 \\ 0 & 0 & \gamma^2 \end{bmatrix} \right) \begin{bmatrix} m_0 \\ m_1 \\ m_2 \end{bmatrix} = \begin{bmatrix} 0 \\ 0 \\ 0 \end{bmatrix}$$

$$(P - \gamma^2 I) \bar{m} = \bar{0}$$

Una solución del sistema, pero que carece de importancia, es - la trivial, o sea, $m_0 = m_1 = m_2 = 0$

Para que el sistema tenga soluciones no triviales es necesario que el determinante de la matriz formada por los coeficientes de m_0 , m_1 y m_2 sea igual a cero: (Anexo N° 1)

$$\det. (P - \gamma^2 I) = \begin{vmatrix} P_{00} - \gamma^2 & P_{01} & P_{02} \\ P_{10} & P_{11} - \gamma^2 & P_{12} \\ P_{20} & P_{21} & P_{22} - \gamma^2 \end{vmatrix} = 0 \quad 1.2.4$$

El mismo que al ser resuelto proporciona un polinomio de tercer grado en γ^2 , del mismo que se derivan tres soluciones:

γ_0^2 , γ_1^2 y γ_2^2 . Por definición la ecuación así hallada se denomina ecuación característica y sus raíces valores característicos. Referencia N° 2.

Una vez hallados los valores característicos, por cualquier método

do (subrutina VACVEC) se puede substituir cada uno de ellos en el sistema 1.2.3, así si reemplaza $\boxed{\gamma_0}$ por $\boxed{\gamma}$:

$$(P - \boxed{\gamma_0^2}) \bar{m} = \bar{0}$$

De este sistema de ecuaciones se puede hallar \bar{m}_0 (vector característico correspondiente a γ_0^2), quedando la ecuación:

$$(P - \boxed{\gamma_0^2}) \bar{m}_0 = \bar{0}$$

Al substituir $\boxed{\gamma_1}$ por $\boxed{\gamma}$:

$$(P - \boxed{\gamma_1^2}) \bar{m} = \bar{0}$$

De este nuevo sistema de ecuaciones se puede hallar \bar{m}_1 (vector característico correspondiente a γ_1^2);

$$(P - \boxed{\gamma_1^2}) \bar{m}_1 = \bar{0}$$

y al reemplazar $\boxed{\gamma_2}$ por $\boxed{\gamma}$:

$$(P - \boxed{\gamma_2^2}) \bar{m} = \bar{0}$$

Que de igual modo proporciona \bar{m}_2 (vector característico correspondiente a γ_2^2);

$$(P - \boxed{\gamma_2^2}) \bar{m}_2 = \bar{0}$$

Reuniendo las respuestas, pueden ser escritas como:

$$(P - \boxed{\gamma_j^2}) M = \boxed{0}$$

∴ $j = 1, 2, \dots, n$

1.2.5

..//..

Donde M tiene en sus columnas los vectores \bar{m}_j (referencia N° 3.)

$$M = \begin{bmatrix} m_{00} & m_{01} & m_{02} \\ m_{10} & m_{11} & m_{12} \\ m_{20} & m_{21} & m_{22} \end{bmatrix}$$

La matriz así formada es por definición la "matriz de vectores característicos" (anexo N° 1)

SEGUNDA SOLUCION

La siguiente serie de ecuaciones también cumplen con el sistema:

$$i_0 = m_0 \cosh(\gamma x)$$

$$i_1 = m_1 \cosh(\gamma x) \quad 1.2.6$$

$$i_2 = m_2 \cosh(\gamma x)$$

Donde m_0 , m_1 , m_2 y γ son constantes a determinarse.

Para comprobar si en verdad cumplen con el sistema de ecuaciones propuesto, se van a realizar las respectivas derivaciones:

$$\frac{\partial i_0}{\partial x} = \gamma m_0 \sinh(\gamma x)$$

$$\frac{\partial^2 i_0}{\partial x^2} = \gamma^2 m_0 \cosh(\gamma x),$$

$$\frac{\partial i_1}{\partial x} = \gamma m_1 \sinh(\gamma x)$$

..//..

$$\frac{\partial^2 i_1}{\partial x^2} = \gamma^2 m_1 \cosh(\gamma x);$$

$$\frac{\partial i_2}{\partial x} = \gamma m_2 \sinh(\gamma x)$$

$$\frac{\partial^2 i_2}{\partial x^2} = \gamma^2 m_2 \cosh(\gamma x)$$

Reemplazando en el sistema 1.2.1:

$$\gamma^2 m_0 \cosh(\gamma x) = p_{00} m_0 \cosh(\gamma x) + p_{01} m_1 \cosh(\gamma x) + p_{02} m_2 \cosh(\gamma x)$$

$$\gamma^2 m_1 \cosh(\gamma x) = p_{10} m_0 \cosh(\gamma x) + p_{11} m_1 \cosh(\gamma x) + p_{12} m_2 \cosh(\gamma x)$$

$$\gamma^2 m_2 \cosh(\gamma x) = p_{20} m_0 \cosh(\gamma x) + p_{21} m_1 \cosh(\gamma x) + p_{22} m_2 \cosh(\gamma x)$$

Que al simplificar $\cosh(\gamma x)$; y reuniendo términos semejantes:

$$(p_{00} - \gamma^2) m_0 + p_{01} m_1 + p_{02} m_2 = 0$$

$$p_{10} m_0 + (p_{11} - \gamma^2) m_1 + p_{12} m_2 = 0$$

$$p_{20} m_0 + p_{21} m_1 + (p_{22} - \gamma^2) m_2 = 0$$

Este sistema es igual al sistema 1.2.3, por lo tanto, la solución dada cumple y además se tendrán los mismos valores característicos y vectores característicos.

SOLUCION COMPLETA

La solución completa va a ser la combinación lineal de las soluciones anteriores, para lo cual se introducen las constantes k_0 ,

.../...

k_1, k_2, n_0, n_1 y n_2 , que serán determinadas mediante aplicación de las condiciones de frontera en el sistema dado, así:

$$i_0 = k_0 m_{00} \sinh(\gamma_0 x) + k_1 m_{01} \sinh(\gamma_1 x) + k_2 m_{02} \sinh(\gamma_2 x) +$$

$$n_0 m_{00} \cosh(\gamma_0 x) + n_1 m_{01} \cosh(\gamma_1 x) + n_2 m_{02} \cosh(\gamma_2 x)$$

$$i_1 = k_0 m_{10} \sinh(\gamma_0 x) + k_1 m_{11} \sinh(\gamma_1 x) + k_2 m_{12} \sinh(\gamma_2 x) +$$

$$n_0 m_{10} \cosh(\gamma_0 x) + n_1 m_{11} \cosh(\gamma_1 x) + n_2 m_{12} \cosh(\gamma_2 x)$$

1.2.7

$$i_2 = k_0 m_{20} \sinh(\gamma_0 x) + k_1 m_{21} \sinh(\gamma_1 x) + k_2 m_{22} \sinh(\gamma_2 x) +$$

$$n_0 m_{20} \cosh(\gamma_0 x) + n_1 m_{21} \cosh(\gamma_1 x) + n_2 m_{22} \cosh(\gamma_2 x)$$

En forma matricial:

$$\begin{bmatrix} i_0 \\ i_1 \\ i_2 \end{bmatrix} = \begin{bmatrix} m_{00} & m_{01} & m_{02} \\ m_{10} & m_{11} & m_{12} \\ m_{20} & m_{21} & m_{22} \end{bmatrix} \begin{bmatrix} k_0 \sinh(\gamma_0 x) \\ k_1 \sinh(\gamma_1 x) \\ k_2 \sinh(\gamma_2 x) \end{bmatrix} + \begin{bmatrix} m_{00} & m_{01} & m_{02} \\ m_{10} & m_{11} & m_{12} \\ m_{20} & m_{21} & m_{22} \end{bmatrix} \begin{bmatrix} n_0 \cosh(\gamma_0 x) \\ n_1 \cosh(\gamma_1 x) \\ n_2 \cosh(\gamma_2 x) \end{bmatrix}$$

Factorando los valores k y n :

$$\begin{bmatrix} i_0 \\ i_1 \\ i_2 \end{bmatrix} = \begin{bmatrix} m_{00} & m_{01} & m_{02} \\ m_{10} & m_{11} & m_{12} \\ m_{20} & m_{21} & m_{22} \end{bmatrix} \begin{bmatrix} \sinh(\gamma_0 x) & 0 & 0 \\ 0 & \sinh(\gamma_1 x) & 0 \\ 0 & 0 & \sinh(\gamma_2 x) \end{bmatrix} \begin{bmatrix} k_0 \\ k_1 \\ k_2 \end{bmatrix} + \begin{bmatrix} m_{00} & m_{01} & m_{02} \\ m_{10} & m_{11} & m_{12} \\ m_{20} & m_{21} & m_{22} \end{bmatrix} \begin{bmatrix} \cosh(\gamma_0 x) & 0 & 0 \\ 0 & \cosh(\gamma_1 x) & 0 \\ 0 & 0 & \cosh(\gamma_2 x) \end{bmatrix} \begin{bmatrix} n_0 \\ n_1 \\ n_2 \end{bmatrix}$$

En escritura simplificada:

$$\bar{i} = M \begin{bmatrix} \sinh(\gamma_j x) \end{bmatrix} \bar{k} + M \begin{bmatrix} \cosh(\gamma_j x) \end{bmatrix} \bar{n}$$

1.2.8

.../...

Esta es la solución completa al problema propuesto y para comprobar se realizará las debidas diferenciaciones:

$$\frac{\partial \bar{i}}{\partial x} = M \boxed{\gamma_j \cosh(\gamma_j x)} \bar{k} + M \boxed{\gamma_j \sinh(\gamma_j x)} \bar{n} ;$$

$$\frac{\partial^2 \bar{i}}{\partial x^2} = M \boxed{\gamma_j^2 \sinh(\gamma_j x)} \bar{k} + M \boxed{\gamma_j^2 \cosh(\gamma_j x)} \bar{n}$$

$$\frac{\partial^2 \bar{i}}{\partial x^2} = (M \boxed{\sinh(\gamma_j x)} \bar{k} + M \boxed{\cosh(\gamma_j x)} \bar{n}) \boxed{\gamma_j^2}$$

Reemplazado en el sistema 1.2.1:

$$(M \boxed{\sinh(\gamma_j x)} \bar{k} + M \boxed{\cosh(\gamma_j x)} \bar{n}) \boxed{\gamma_j^2} - P (M \boxed{\sinh(\gamma_j x)} \bar{k} + M \boxed{\cosh(\gamma_j x)} \bar{n}) = \boxed{0}$$

Simplificado queda:

$$M \boxed{\gamma_j^2} - PM = \boxed{0}$$

Despejando

$$M \boxed{\gamma_j^2} = PM \tag{1.2.9}$$

Que si se observa tiene la misma forma que el sistema al cual se llega al aplicar cualquiera de las soluciones fundamentales.

Por otro lado, de la ecuación 1.1.1 que es:

$$\frac{\partial \bar{i}}{\partial x} = Y \bar{v}$$

Se puede tener la expresión para el voltaje en cualquier punto de la línea.

$$Y^{-1} \frac{\partial \bar{i}}{\partial x} = Y^{-1} Y \bar{v}$$

Por lo tanto:

$$\bar{v} = Y^{-1} \frac{\partial \bar{i}}{\partial x}$$

Reemplazando $\frac{\partial \bar{i}}{\partial x}$ (̄i de la ecuación 1.2.8):

$$\bar{v} = Y^{-1} M \left[\gamma_j \cosh(\gamma_j x) \right] \bar{k} + Y^{-1} M \left[\gamma_j \sinh(\gamma_j x) \right] \bar{n} \quad 1.2.10$$

Se tiene de esta manera una expresión tanto para corriente, como pra voltaje en cualquier punto de la línea en función de las constantes arbitrarias \bar{k} y \bar{n} .

EVALUACION DE LAS CONSTANTES ARBITRARIAS

Las constantes \bar{k} y \bar{n} son determinadas en base a las condiciones de frontera que se establece para la línea.

Según la figura N° 1.1, si $x=0$ se tiene que $\bar{i}=\bar{i}_r$ y $\bar{v}=\bar{v}_r$, y las ecuaciones de corriente y voltaje son:

$$\bar{i}_r = M \left[\sinh(0) \right] \bar{k} + M \left[\cosh(0) \right] \bar{n}$$

$$\bar{v}_r = Y^{-1} \left(M \left[\gamma_j \cosh(0) \right] \bar{k} + M \left[\gamma_j \sinh(0) \right] \bar{n} \right)$$

∴/∴

Pero $\boxed{\sinh(0)} = \boxed{0}$ y $\boxed{\cosh(0)} = \boxed{1}$

De ahí que:

$$\bar{i}_r = M\bar{n}$$

$$\bar{n} = M^{-1}\bar{i}_r \quad . \quad 1.2.11$$

Y por otro lado:

$$\bar{v}_r = Y^{-1}M\boxed{\gamma_j}\bar{k}$$

$$\bar{k} = \boxed{\gamma_j}^{-1}M^{-1}Y\bar{v}_r = \boxed{\frac{1}{\gamma_j}}M^{-1}Y\bar{v}_r \quad . \quad 1.2.12$$

Luego, las expresiones completas para \bar{i} y \bar{v} en cualquier punto de la línea:

$$\bar{i} = M \boxed{\sinh(\gamma_j x)} \boxed{\frac{1}{\gamma_j}} M^{-1}Y\bar{v}_r + M \boxed{\cosh(\gamma_j x)} M^{-1}\bar{i}_r$$

$$\bar{i} = M \frac{\boxed{\sinh(\gamma_j x)}}{\boxed{\gamma_j}} M^{-1}Y\bar{v}_r + M \boxed{\cosh(\gamma_j x)} M^{-1}\bar{i}_r$$

$$\bar{v} = Y^{-1}M \boxed{\gamma_j \cosh(\gamma_j x)} \boxed{\frac{1}{\gamma_j}} M^{-1}Y\bar{v}_r + Y^{-1}M \boxed{\gamma_j \sinh(\gamma_j x)} M^{-1}\bar{i}_r$$

$$\bar{v} = Y^{-1}M \boxed{\cosh(\gamma_j x)} M^{-1}Y\bar{v}_r + Y^{-1}M \boxed{\gamma_j \sinh(\gamma_j x)} M^{-1}\bar{i}_r$$

Aplicando a las últimas expresiones de \bar{i} y \bar{v} la segunda condición de frontera se tiene que $\bar{i}=\bar{i}_e$; $\bar{v}=\bar{v}_e$ y $x=x_l$, las ecuaciones quedan:

$$\bar{i}_e = M \frac{\boxed{\sinh(\gamma_j x_l)}}{\boxed{\gamma_j}} M^{-1}Y\bar{v}_r + M \boxed{\cosh(\gamma_j x_l)} M^{-1}\bar{i}_r \quad . \quad 1.2.13$$

$$\bar{v}_e = Y^{-1} M \cosh(\gamma_j x l) M^{-1} Y \bar{v}_r + Y^{-1} M \gamma_j \sinh(\gamma_j x l) M^{-1} \bar{i}_r \quad 1.2.14$$

Referencia N° 3

De esta manera se obtienen los parámetros de entrada (\bar{i}_e, \bar{v}_e) , en función de los de recepción (\bar{i}_r, \bar{v}_r) , además, mediante el uso de estas ecuaciones se encontrarán los elementos de los modelos de la línea.

1.3. Desarrollo y Solución en Base a la Ecuación Diferencial de Voltaje

Se va a partir de la ecuación 1.1.6.

$$\frac{\partial^2 \bar{v}}{\partial x^2} = Q \bar{v} \quad 1.3.1$$

Se puede observar que el sistema 1.3.1. es similar al sistema 1.2.1., de ahí que las respectivas soluciones tendrán la misma forma.

PRIMERA SOLUCION

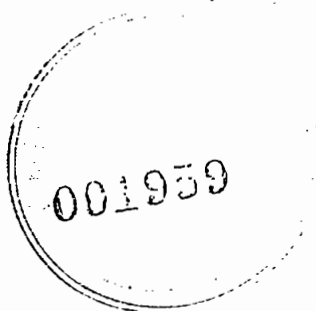
De igual manera que en el caso anterior;

$$v_0 = m'_0 \sinh(\gamma' x)$$

$$v_1 = m'_1 \sinh(\gamma' x)$$

$$v_0 = m'_2 \sinh(\gamma' x)$$

1.3.2



Realizando las respectivas derivadas, reemplazando en 1.3.1., simplificando y agrupando términos semejantes:

$$\begin{aligned} (q_{00}-\gamma'^2)m'_0+q_{01}m'_1+q_{02}m'_2 &= 0 \\ q_{10}m'_0+(q_{11}-\gamma'^2)m'_1+q_{12}m'_2 &= 0 \\ q_{20}m'_0+q_{21}m'_1+(q_{22}-\gamma'^2)m'_2 &= 0 \end{aligned} \quad 1.3.3$$

Que como se mencionó, para que exista una solución no trivial para las constantes m'_0 , m'_1 y m'_2 , el determinante de sus respectivos coeficientes debe ser igual a cero, o sea:

$$\begin{vmatrix} q_{00}-\gamma'^2 & q_{01} & q_{02} \\ q_{10} & q_{11}-\gamma'^2 & q_{12} \\ q_{20} & q_{21} & q_{22}-\gamma'^2 \end{vmatrix} = \begin{vmatrix} q_{00} & q_{01} & q_{02} \\ q_{10} & q_{11} & q_{12} \\ q_{20} & q_{21} & q_{22} \end{vmatrix} - \begin{vmatrix} \gamma'^2 & 0 & 0 \\ 0 & \gamma'^2 & 0 \\ 0 & 0 & \gamma'^2 \end{vmatrix} = 0$$

Pero, según anexo N° 1, los valores y vectores característicos de YZ son iguales a los de ZY, ó sea los de P son iguales a los de Q. De ahí que no se necesitará de los apóstrofes para distinguirlos.

SEGUNDA SOLUCION

Como en el caso anterior otra solución sería:

$$\begin{aligned} v_0 &= m_0 \cosh(\gamma x) \\ v_1 &= m_1 \cosh(\gamma x) \\ v_2 &= m_2 \cosh(\gamma x) \end{aligned} \quad 1.3.4$$

Que al probarla como solución proporcionará idénticos valores y vectores característicos.

SOLUCION COMPLETA

La solución completa, como se ha mencionado, es la combinación lineal de las anteriores:

$$v_0 = m_{00}k_0 \sinh(\gamma_0 x) + m_{01}k_1 \sinh(\gamma_1 x) + m_{02}k_2 \sinh(\gamma_2 x) +$$

$$m_{00}n_0 \cosh(\gamma_0 x) + m_{01}n_1 \cosh(\gamma_1 x) + m_{02}n_2 \cosh(\gamma_2 x)$$

$$v_1 = m_{10}k_0 \sinh(\gamma_0 x) + m_{11}k_1 \sinh(\gamma_1 x) + m_{12}k_2 \sinh(\gamma_2 x) +$$

$$m_{10}n_0 \cosh(\gamma_0 x) + m_{11}n_1 \cosh(\gamma_1 x) + m_{12}n_2 \cosh(\gamma_2 x)$$

$$v_2 = m_{20}k_0 \sinh(\gamma_0 x) + m_{21}k_1 \sinh(\gamma_1 x) + m_{22}k_2 \sinh(\gamma_2 x) +$$

$$m_{20}n_0 \cosh(\gamma_0 x) + m_{21}n_1 \cosh(\gamma_1 x) + m_{22}n_2 \cosh(\gamma_2 x)$$

Que puede ser escrita como:

$$\bar{v} = M \begin{bmatrix} \sinh(\gamma_j x) \\ \cosh(\gamma_j x) \end{bmatrix} \bar{k} + M \begin{bmatrix} \cosh(\gamma_j x) \\ \sinh(\gamma_j x) \end{bmatrix} \bar{n} \tag{1.3.5}$$

Al probarla como solución se llegará a: $M \begin{bmatrix} \gamma_j^2 \end{bmatrix} = QM \tag{1.3.6}$

Por otro lado:

$$\frac{\partial \bar{v}}{\partial x} = Z \bar{i}; \text{ de donde } \bar{i} = Z^{-1} \frac{\partial \bar{v}}{\partial x} \tag{1.3.7}$$

Derivando 1.3.5 y reemplazando en 1.3.7:

$$\bar{i} = Z^{-1} (M \begin{bmatrix} \gamma_j \cosh(\gamma_j x) \\ \gamma_j \sinh(\gamma_j x) \end{bmatrix} \bar{k} + M \begin{bmatrix} \gamma_j \sinh(\gamma_j x) \\ \gamma_j \cosh(\gamma_j x) \end{bmatrix} \bar{n}) \tag{1.3.8}$$

.../...

Las constantes \bar{k} y \bar{n} se determinan al reemplazar las condiciones de frontera, si $x=0$, entonces $\bar{i}=\bar{i}_r$ y $\bar{v}=\bar{v}_r$ que dando las ecuaciones 1.3.5 y 1.3.7 como:

$$\bar{v}_r = M \boxed{\sinh(\gamma_j 0)} \bar{k} + M \boxed{\cosh(\gamma_j 0)} \bar{n} = M \bar{n}$$

$$\bar{i}_r = Z^{-1} M \boxed{\gamma_j \cosh(\gamma_j 0)} \bar{k} + Z^{-1} M \boxed{\gamma_j \sinh(\gamma_j 0)} \bar{n} = Z^{-1} M \boxed{\gamma_j} \bar{k}$$

De las dos expresiones últimas:

$$\bar{n} = M^{-1} \bar{v}_r$$

$$\bar{k} = \boxed{\frac{1}{\gamma_j}} M^{-1} Z \bar{i}_r$$

Y reemplazando en 1.3.5 y 1.3.7:

$$\bar{v} = M \boxed{\sinh(\gamma_j x)} \boxed{\frac{1}{\gamma_j}} M^{-1} Z \bar{i}_r + M \boxed{\cosh(\gamma_j x)} M^{-1} \bar{v}_r$$

$$\bar{i} = Z^{-1} M \boxed{\gamma_j \cosh(\gamma_j x)} \boxed{\frac{1}{\gamma_j}} M^{-1} Z \bar{i}_r + Z^{-1} M \boxed{\gamma_j \sinh(\gamma_j x)} M^{-1} \bar{v}_r$$

Simplificando y ordenado:

$$\bar{v} = M \boxed{\cosh(\gamma_j x)} M^{-1} \bar{v}_r + M \frac{\boxed{\sinh(\gamma_j x)}}{\boxed{\gamma_j}} M^{-1} Z \bar{i}_r$$

$$\bar{i} = Z^{-1} M \boxed{\gamma_j \sinh(\gamma_j x)} M^{-1} \bar{v}_r + Z^{-1} M \boxed{\cosh(\gamma_j x)} M^{-1} Z \bar{i}_r$$

Y que aplicadas al extremo emisor:

$$\bar{v}_e = M \boxed{\cosh(\gamma_j x_l)} M^{-1} \bar{v}_r + M \frac{\boxed{\sinh(\gamma_j x_l)}}{\boxed{\gamma_j}} M^{-1} Z \bar{i}_r \quad 1.3.9$$

$$\bar{i}_e = Z^{-1} M \begin{bmatrix} \gamma_j \sinh(\gamma_j x_l) \\ \cosh(\gamma_j x_l) \end{bmatrix} M^{-1} \bar{v}_r + Z^{-1} M \begin{bmatrix} \cosh(\gamma_j x_l) \\ \sinh(\gamma_j x_l) \end{bmatrix} M^{-1} Z \bar{i}_r \quad 1.3.10$$

(Referencia N° 3)

Expresiones que rigen el comportamiento total de una línea de transmisión en cuanto a corrientes y voltajes, y serán usadas al encontrar los elementos de los modelos Pi y T.

1.4. Determinación de las Constantes A, B, C y D del Cuadripolo Equivalente de Líneas de Transmisión

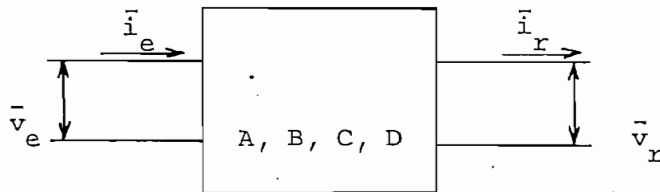


FIGURA N° 1.2. CONSTANTES DEL CUADRIPOLO EQUIVALENTE.

Por teoría de cuadripolos, el voltaje y corriente de envío en función de los de recepción se relacionan por medio de:

$$\begin{bmatrix} \bar{v}_e \\ \bar{i}_e \end{bmatrix} = \begin{bmatrix} A & B \\ C & D \end{bmatrix} \begin{bmatrix} \bar{v}_r \\ \bar{i}_r \end{bmatrix}$$

(Referencia N° 4)

De donde:

$$\bar{v}_e = A\bar{v}_r + B\bar{i}_r \quad 1.4.1$$

$$\bar{i}_e = C\bar{v}_r + D\bar{i}_r \quad 1.4.2$$

Del desarrollo en base a la ecuación diferencial de corriente:

$$\bar{v}_e = Y^{-1} M \boxed{\cosh(\gamma_j x l)} M^{-1} Y \bar{v}_r + Y^{-1} M \boxed{\gamma_j \sinh(\gamma_j x l)} M^{-1} \bar{i}_r \quad 1.4.3$$

$$\bar{i}_e = M \frac{\boxed{\sinh(\gamma_j x l)}}{\boxed{\gamma_j}} M^{-1} Y \bar{v}_r + M \boxed{\cosh(\gamma_j x l)} M^{-1} \bar{i}_r \quad 1.4.4$$

Comparando las ecuaciones 1.4.1 y 1.4.2 con 1.4.3 y 1.4.4 se llega a determinar las constantes A, B, C y D.

$$A = Y^{-1} M \boxed{\cosh(\gamma_j x l)} M^{-1} Y \quad 1.4.5$$

$$B = Y^{-1} M \boxed{\gamma_j \sinh(\gamma_j x l)} M^{-1} \quad 1.4.6$$

$$C = M \frac{\boxed{\sinh(\gamma_j x l)}}{\boxed{\gamma_j}} M^{-1} Y \quad 1.4.7$$

$$D = M \boxed{\cosh(\gamma_j x l)} M^{-1} \quad 1.4.8$$

Si se toma a la ecuación 1.2.9 y despejando M

$$M \boxed{\gamma_j^2} = PM$$

$$YZM = M \boxed{\gamma_j^2}$$

$$M = YZM \frac{1}{\boxed{\gamma_j^2}} \quad 1.4.9$$

Y:

$$M^{-1} = \boxed{\gamma_j^2} M^{-1} Z^{-1} Y^{-1}$$

(Referencia N° 5)

Porque

$$MM^{-1} = \boxed{1}$$

$$YZM \frac{\boxed{1}}{\boxed{\gamma_j^2}} \boxed{\gamma_j^2} M^{-1} Z^{-1} Y^{-1} = \boxed{1}$$

De ahí que:

$$Y^{-1}M = Y^{-1}YZM \frac{\boxed{1}}{\boxed{\gamma_j^2}} = ZM \frac{\boxed{1}}{\boxed{\gamma_j^2}}$$

Y:

$$M^{-1}Y = \boxed{\gamma_j^2} M^{-1} Z^{-1} Y^{-1} Y = \boxed{\gamma_j^2} M^{-1} Z^{-1}$$

Reemplazando M , M^{-1} , $Y^{-1}M$ y $M^{-1}Y$ en las expresiones para A, B, C y D:

C y D:

$$A = ZM \frac{\boxed{1}}{\boxed{\gamma_j^2}} \boxed{\cosh(\gamma_j x_l)} \boxed{\gamma_j^2} M^{-1} Z^{-1}$$

$$A = ZM \boxed{\cosh(\gamma_j x_l)} M^{-1} Z^{-1} \tag{1.4.10}$$

$$B = ZM \frac{\boxed{1}}{\boxed{\gamma_j^2}} \boxed{\gamma_j \sinh(\gamma_j x_l)} M^{-1}$$

$$B = ZM \frac{\boxed{\sinh(\gamma_j x_l)}}{\boxed{\gamma_j}} M^{-1} = x_l ZM \frac{\boxed{\sinh(\gamma_j x_l)}}{\boxed{\gamma_j x_l}} M^{-1} \tag{1.4.11}$$

$$C = M \frac{\boxed{\sinh(\gamma_j x_l)}}{\boxed{\gamma_j}} \boxed{\gamma_j^2} M^{-1} Z^{-1}$$

$$C = M \boxed{\gamma_j \sinh(\gamma_j x_l)} M^{-1} Z^{-1} \tag{1.4.12}$$

Y:

$$D = YZM \frac{1}{\gamma_j^2} \cosh(\gamma_j x_l) \gamma_j^2 M^{-1} Z^{-1} Y^{-1}$$

$$D = YZM \cosh(\gamma_j x_l) M^{-1} Z^{-1} Y^{-1} \quad 1.4.13$$

(Referencia N° 3)

De la misma forma se pueden encontrar las constantes A, B, C y D partiendo de las ecuaciones 1.3,8 y 1.3,9 desarrolladas de la ecuación diferencial de voltaje, o sea:

$$\bar{v}_e = M \cosh(\gamma_j x_l) M^{-1} \bar{v}_r + M \frac{\sinh(\gamma_j x_l)}{\gamma_j} M^{-1} Z \bar{i}_r$$

$$\bar{i}_e = Z^{-1} M \gamma_j \sinh(\gamma_j x_l) M^{-1} \bar{v}_r + Z^{-1} M \cosh(\gamma_j x_l) M^{-1} Z \bar{i}_r$$

Comparando estas dos expresaciones con 1.4,1 y 1.4,2:

$$A = M \cosh(\gamma_j x_l) M^{-1} \quad 1.4.14$$

$$B = M \frac{\sinh(\gamma_j x_l)}{\gamma_j} M^{-1} Z \quad 1.4.15$$

$$C = Z^{-1} M \gamma_j \sinh(\gamma_j x_l) M^{-1} \quad 1.4.16$$

$$D = Z^{-1} M \cosh(\gamma_j x_l) M^{-1} Z \quad 1.4.17$$

(Referencia N° 3)

Expandiendo la ecuación 1.3,6

$$M \gamma_j^2 = QM$$

$$ZYM = M \gamma_j^2 \quad 1.4.18$$

Con el objeto de transformar las ecuaciones de las constantes se van a hallar expresiones para: M , M^{-1} , $Z^{-1}M$ y $M^{-1}Z$ partiendo de la 1.4.18

$$M = ZYM \begin{bmatrix} 1 \\ \gamma_j^2 \end{bmatrix} \quad 1.4.18$$

$$M^{-1} = \begin{bmatrix} \gamma_j^2 \end{bmatrix} M^{-1} Y^{-1} Z^{-1}$$

$$Z^{-1}M = YM \begin{bmatrix} 1 \\ \gamma_j^2 \end{bmatrix}$$

Y:

$$M^{-1}Z = \begin{bmatrix} \gamma_j^2 \end{bmatrix} M^{-1} Y^{-1}$$

Reemplazando en las últimas expresiones de A B C y D:

$$A = ZYM \begin{bmatrix} \cosh(\gamma_j x_1) \end{bmatrix} M^{-1} Y^{-1} Z^{-1} \quad 1.4.19$$

$$B = M \begin{bmatrix} \gamma_j \sinh(\gamma_j x_1) \end{bmatrix} M^{-1} Y^{-1} \quad 1.4.20$$

$$C = YM \begin{bmatrix} \frac{\sinh(\gamma_j x_1)}{\gamma_j} \end{bmatrix} M^{-1} \quad 1.4.21$$

$$D = YM \begin{bmatrix} \cosh(\gamma_j x_1) \end{bmatrix} M^{-1} Y^{-1} \quad 1.4.22$$

(Referencia N° 3)

1.5. Equivalente Pi de Líneas de Transmisión

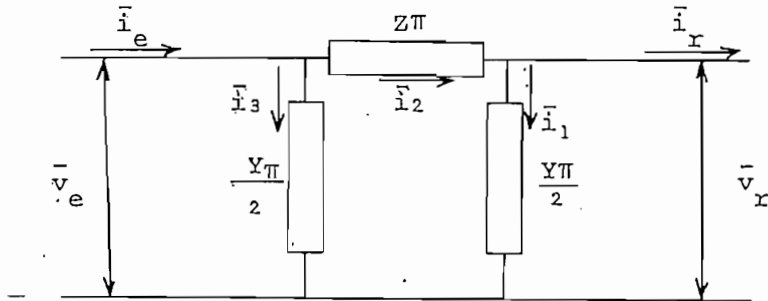


FIGURA 1.3 EQUIVALENTE Pi.

Se van a hallar expresiones de \bar{i}_e y \bar{v}_e en funciones de \bar{i}_r , \bar{v}_r y las constantes de la línea, para luego comparar con las ecuaciones 1.2.13 y 1.2.14, luego con 1.3.9 y 1.3.10.

$$\bar{i}_e = \bar{i}_3 + \bar{i}_2$$

$$\bar{i}_e = \bar{i}_3 + \bar{i}_1 + \bar{i}_r$$

Pero:

$$\bar{i}_1 = \frac{Y\pi}{2} \bar{v}_r$$

$$\bar{i}_3 = \frac{Y\pi}{2} \bar{v}_e$$

Luego:

$$\bar{i}_e = \frac{Y\pi}{2} \bar{v}_e + \frac{Y\pi}{2} (\bar{v}_r + \bar{i}_r)$$

y:

$$\bar{v}_e = \bar{v}_r + Z\pi \bar{i}_2$$

$$\bar{v}_e = \bar{v}_r + Z\pi (\bar{i}_1 + \bar{i}_r)$$

.../...

$$\bar{v}_e = \bar{v}_r + Z\pi \left(\frac{Y\pi}{2} \bar{v}_r + \bar{i}_r \right)$$

$$\bar{v}_e = \bar{v}_r + Z\pi \left(\frac{Y\pi}{2} \bar{v}_r + Z\pi \bar{i}_r \right)$$

$$\bar{v}_e = \left(\boxed{1} + Z\pi \frac{Y\pi}{2} \right) \bar{v}_r + Z\pi \bar{i}_r \quad 1.5.1$$

Reemplazando en la última expresión de \bar{i}_e

$$\bar{i}_e = \frac{Y\pi}{2} \left(\boxed{1} + Z\pi \frac{Y\pi}{2} \right) \bar{v}_r + \frac{Y\pi}{2} Z\pi \bar{i}_r + \frac{Y\pi}{2} \bar{v}_r + \bar{i}_r$$

$$\bar{i}_e = \frac{Y\pi}{2} \left(\boxed{1} + Z\pi \frac{Y\pi}{2} + \boxed{1} \right) \bar{v}_r + \left(\boxed{1} + \frac{Y\pi}{2} Z\pi \right) \bar{i}_r \quad 1.5.2.$$

Según teoría de cuadripolos vista en el capítulo anterior, y observando las ecuaciones 1.5.1 y 1.5.2:

$$A = \boxed{1} + Z\pi \frac{Y\pi}{2} \quad 1.5.3$$

$$B = Z\pi \quad 1.5.4$$

$$C = \frac{Y\pi}{2} \left(\boxed{2} + Z\pi \frac{Y\pi}{2} \right) \quad 1.5.5$$

$$D = \boxed{1} + \frac{Y\pi}{2} Z\pi \quad 1.5.6$$

(Referencia N° 3)

Obtención del Equivalente Pi por Aplicación de las Ecuaciones Resultantes del Diferencial de Corriente.-

Las ecuaciones 1.4.11 y 1.4.12 fueron derivadas de la ecuación diferencial de corriente; y de estas se parte para encontrar las expresiones del equivalente Pi..

$$B = x1ZM \boxed{\frac{\sinh(\gamma_j \cdot x1)}{\gamma_j \cdot x1}} M^{-1}$$

Comparando 1.4.7 con 1.5.4

$$Z\pi = x1ZM \boxed{\frac{\sinh(\gamma_j \cdot x1)}{\gamma_j \cdot x1}} M^{-1} \quad 1.5.7$$

Expresión de la impedancia serie del equivalente Pi de líneas de Transmisión, y que es usada en el programa digital (subrutina EQPIYT).

(Referencia N° 3)

Por otro lado, premultiplicando la inversa de 1.5.4 en 1.5.3;

$$B^{-1}A = B^{-1} + B^{-1}Z\pi \frac{Y\pi}{2}$$

Pero $B^{-1} = Z^{-1}$

$$B^{-1}A = B^{-1} + \frac{Y\pi}{2}$$

Luego:

$$\frac{Y\pi}{2} = B^{-1}A - B^{-1}$$

En esta ecuación se va a evaluar primero $B^{-1}A$; y luego B^{-1} ; se va a analizar con A tomada de 1.4.5 y B de 1.4.6:

$$B^{-1} = M \frac{1}{\gamma_j \sinh(\gamma_j x_l)} M^{-1} Y$$

$$A = Y^{-1} M \cosh(\gamma_j x_l) M^{-1} Y$$

$$B^{-1} A = M \frac{1}{\gamma_j \sinh(\gamma_j x_l)} M^{-1} Y Y^{-1} M \cosh(\gamma_j x_l) M^{-1} Y$$

$$B^{-1} A + M \frac{\cosh(\gamma_j x_l)}{\gamma_j \sinh(\gamma_j x_l)} M^{-1} Y$$

De ahí que:

$$\frac{Y\pi}{2} = M \frac{\cosh(\gamma_j x_l)}{\gamma_j \sinh(\gamma_j x_l)} M^{-1} Y - M \frac{1}{\gamma_j \sinh(\gamma_j x_l)} M^{-1} Y$$

$$\frac{Y\pi}{2} = M \frac{\cosh(\gamma_j x_l) - 1}{\gamma_j \sinh(\gamma_j x_l)} M^{-1} Y$$

Por otro lado, de las funciones hiperbolicas:

$$\tanh \frac{\theta}{2} = \frac{\sinh \frac{\theta}{2}}{\cosh \frac{\theta}{2}} = \frac{\cosh \theta - 1}{\sinh \theta}$$

(Referencia N° 4)

De ahí que:

$$\frac{Y\pi}{2} = \frac{x_l}{2} M \frac{\tanh(\gamma_j x_l / 2)}{\gamma_j x_l / 2} M^{-1} Y \quad 1.5.8$$

(Referencia N° 3)

Ecuación usada en el Programa Digital (Subrutina EQPIYT).

Obtención del equivalente Pi por Aplicación de las Ecuaciones Resultantes del Diferencial de Voltaje.-

Las ecuaciones que se van a usar son: 1.4.14, 1.4.15, 1.4.20, 1.5.3 y 1.5.4

Comparando 1.5.4 y 1.4.15

$$Z_{\pi} = x_1 M \boxed{\frac{\sinh(\gamma_j x_1)}{\gamma_j x_1}} M^{-1} Z = M \boxed{\gamma_j \sinh(\gamma_j x_1)} M^{-1} Y^{-1} \quad 1.5.9$$

(Referencia N° 3)

Por otro lado, se tiene también:

$$\frac{Y_{\pi}}{2} = B^{-1} A^{-1} B^{-1}$$

Si se toma B de 1.4.20 y A de 1.4.14

$$B^{-1} A = Y M \boxed{\frac{1}{\gamma_j \sinh(\gamma_j x_1)}} M^{-1} M \boxed{\cosh(\gamma_j x_1)} M^{-1}$$

$$B^{-1} A = Y M \boxed{\frac{\cosh(\gamma_j x_1)}{\gamma_j \sinh(\gamma_j x_1)}} M^{-1}$$

$$\frac{Y_{\pi}}{2} = Y M \boxed{\frac{\cosh(\gamma_j x_1)}{\gamma_j \sinh(\gamma_j x_1)}} M^{-1} Y M \boxed{\frac{1}{\gamma_j \sinh(\gamma_j x_1)}} M^{-1}$$

$$\frac{Y_{\pi}}{2} = Y M \boxed{\frac{\cosh(\gamma_j x_1) - 1}{\gamma_j \sinh(\gamma_j x_1)}} M^{-1}$$

$$\frac{Y\pi}{2} = \frac{x_l}{2} Y_M \boxed{\frac{\tanh(\gamma_j x_l/2)}{\gamma_j x_l/2}} \quad M^{-1} = Z^{-1} M \boxed{\gamma_j \tanh(\gamma_j x_l/2)} M^{-1} \quad 1.5.10$$

(Referencia N° 3)

1.6. Equivalente T de Líneas de Transmisión

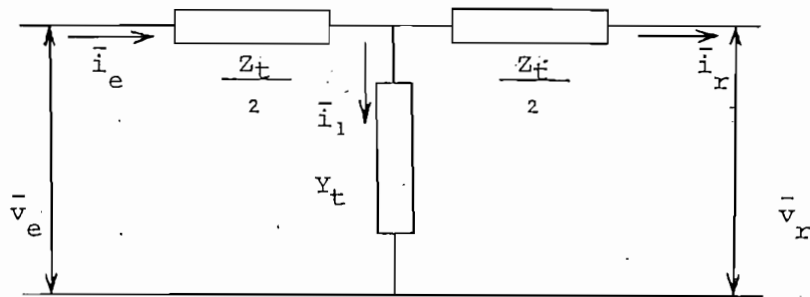


FIGURA N° 1.4 EQUIVALENTE T

En la figura N° 1.4

$$\bar{i}_e = \bar{i}_1 + \bar{i}_r$$

$$\bar{i}_1 = Y_t (\bar{v}_r + \frac{Z_t}{2} \bar{i}_r)$$

$$\bar{i}_e = Y_t \bar{v}_r + Y_t \frac{Z_t}{2} \bar{i}_r + \bar{i}_r$$

$$\bar{i}_e = Y_t \bar{v}_r + (Y_t \frac{Z_t}{2} + \boxed{1}) \bar{i}_r \quad 1.6.1$$

$$\bar{v}_e = \bar{v}_r + \frac{Z_t}{2} \bar{i}_r + \frac{Z_t}{2} \bar{i}_e$$

$$\bar{v}_e = \bar{v}_r + \frac{Z_t}{2} \bar{i}_r + \frac{Z_t}{2} Y_t \bar{v}_r + \frac{Z_t}{2} (Y_t \frac{Z_t}{2} + \boxed{1}) \bar{i}_r$$

.../...

$$\bar{v}_e = \left(\boxed{1} + \frac{Z_t}{2} Y_t \right) \bar{v}_r + \frac{Z_t}{2} \left(Y_t \frac{Z_t}{2} + \boxed{2} \right) \bar{i}_r \quad 1.6.2$$

De 1.6.1 y 1.6.2

$$A = \boxed{1} + \frac{Z_t}{2} Y_t \quad 1.6.3$$

$$B = \frac{Z_t}{2} \left(Y_t \frac{Z_t}{2} + \boxed{2} \right) = \frac{Z_t}{2} \left(\boxed{2} + Y_t \frac{Z_t}{2} \right) \quad 1.6.4$$

$$C = Y_t \quad 1.6.5$$

$$D = Y_t \frac{Z_t}{2} + \boxed{1} = \boxed{1} + Y_t \frac{Z_t}{2} \quad 1.6.6$$

(Referencia N° 3)

Obtención del Equivalente T por Medio de las Ecuaciones Resultantes del Diferencial de Corriente.-

Para el objeto se van a necesitar las ecuaciones 1.4.7, 1.4.10 y 1.4.12 que son respectivamente:

$$C = M \frac{\boxed{\sinh(\gamma_j x_l)}}{\gamma_j} M^{-1} Y$$

$$A = ZM \boxed{\cosh(\gamma_j x_l)} M^{-1} Z^{-1}$$

$$C = M \boxed{\gamma_j \sinh(\gamma_j x_l)} M^{-1} Z^{-1}$$

Comparando las expresiones para C (1.6.5 y 1.4.7)

$$Y_t = x_l M \frac{\boxed{\sinh(\gamma_j x_l)}}{\gamma_j x_l} M^{-1} Y \quad 1.6.7.$$

(Referencia N° 3)

Ecuación que se usará en el programa (Subrutina EQPIYT)

Ahora si se toma 1.6.3 y se posmultiplica por C^{-1} :

$$AC^{-1} = C^{-1} + \frac{Z_t}{2} Y_t C^{-1}$$

$$AC^{-1} = C^{-1} + \frac{Z_t}{2}$$

$$\frac{Z_t}{2} = AC^{-1} - C^{-1}$$

$$AC^{-1} = ZM \boxed{\cosh(\gamma_j \cdot xl)} M^{-1} Z^{-1} ZM \boxed{\frac{1}{\gamma_j \sinh(\gamma_j \cdot xl)}} M^{-1}$$

$$AC^{-1} = ZM \boxed{\frac{\cosh(\gamma_j \cdot xl)}{\gamma_j \sinh(\gamma_j \cdot xl)}} M^{-1}$$

$$C^{-1} = ZM \boxed{\frac{1}{\gamma_j \sinh(\gamma_j \cdot xl)}} M^{-1}$$

$$\frac{Z_t}{2} = ZM \cdot \boxed{\frac{\cosh(\gamma_j \cdot xl)}{\gamma_j \sinh(\gamma_j \cdot xl)}} M^{-1} - ZM \cdot \boxed{\frac{1}{\gamma_j \sinh(\gamma_j \cdot xl)}} M^{-1}$$

$$\frac{Z_t}{2} = ZM \boxed{\frac{\cosh(\gamma_j \cdot xl) - 1}{\gamma_j \sinh(\gamma_j \cdot xl)}} M^{-1}$$

$$\frac{Z_t}{2} = \frac{xl}{2} ZM \boxed{\frac{\tanh(\gamma_j \cdot xl/2)}{\gamma_j \cdot xl/2}} M^{-1}$$

1.6,8

(Referencia N° 3)

Ecuación usada en el programa digital (Subrutina EQPIYT)

Obtención del Equivalente T por Medio de las Ecuaciones Resultantes del Diferencial de Voltaje.-

Se van a usar las ecuaciones 1.4.14, 1.4.16 y 1.4.21 que son respectivamente:

$$A = M \begin{bmatrix} \cosh(\gamma_j \cdot x_l) \end{bmatrix} M^{-1}$$

$$C = Z^{-1} M \begin{bmatrix} \gamma_j \cdot \sinh(\gamma_j \cdot x_l) \end{bmatrix} M^{-1}$$

$$C = YM \begin{bmatrix} \frac{\sinh(\gamma_j \cdot x_l) \dots}{\gamma_j} \end{bmatrix} M^{-1} \tag{1.6.9}$$

De esta última expresión y de la 1.6.5:

$$Y_t = x_l Y M \begin{bmatrix} \frac{\sinh(\gamma_j \cdot x_l)}{\gamma_j \cdot x_l} \end{bmatrix} M^{-1} \tag{1.6.10}$$

(Referencia N° 3.)

De igual manera que el caso anterior

$$\frac{Z_t}{2} = AC^{-1} \cdot C^{-1}$$

$$AC^{-1} = M \begin{bmatrix} \cosh(\gamma_j \cdot x_l) \end{bmatrix} M^{-1} M \begin{bmatrix} \frac{1}{\gamma_j \cdot \sinh(\gamma_j \cdot x_l)} \end{bmatrix} M^{-1} Z$$

$$AC^{-1} = M \begin{bmatrix} \frac{\cosh(\gamma_j \cdot x_l)}{\gamma_j \cdot \sinh(\gamma_j \cdot x_l)} \end{bmatrix} M^{-1} Z$$

$$C^{-1} = M \begin{bmatrix} \frac{1}{\gamma_j \cdot \sinh(\gamma_j \cdot x_l)} \end{bmatrix} M^{-1} Z$$

$$\frac{Z_t}{2} = M \begin{bmatrix} \frac{\cosh(\gamma_j \cdot x_l)}{\gamma_j \cdot \sinh(\gamma_j \cdot x_l)} \end{bmatrix} M^{-1} Z \cdot M \begin{bmatrix} \frac{1}{\gamma_j \cdot \sinh(\gamma_j \cdot x_l)} \end{bmatrix} M^{-1} Z$$

$$\frac{Z_t}{2} = M \cdot \frac{\cosh(\gamma_j x_l) - 1}{\gamma_j \sinh(\gamma_j x_l)} M^{-1} Z$$

$$\frac{Z_t}{2} = \frac{x_l}{2} M \frac{\tanh(\gamma_j x_l / 2)}{\gamma_j x_l / 2} M^{-1} Z$$

1.6.11

(Referencia N° 3)

RESUMEN DE FORMULAS

Con el objeto de facilitar la identificación de fórmulas utilizadas en el programa digital, se van a enlistar las fórmulas que serán usadas en el programa.

(Subrutina EQPIYT)

$$Z_{\pi} = x_1 Z_M \frac{\sinh(\gamma_j x_1)}{\gamma_j x_1} M^{-1}$$

$$\frac{Y_{\pi}}{2} = \frac{x_1}{2} M \frac{\tanh(\gamma_j x_1/2)}{\gamma_j x_1/2} M^{-1} Y$$

$$Y_t = x_1 M \frac{\sinh(\gamma_j x_1)}{\gamma_j x_1} M^{-1} Y$$

$$\frac{Z_t}{2} = \frac{x_1}{2} Z_M \frac{\tanh(\gamma_j x_1/2)}{\gamma_j x_1/2} M^{-1}$$

Donde:

Z_{π} matriz impedancia serie del equivalente P_i de líneas.

$\frac{Y_{\pi}}{2}$ matriz admitancia shunt conectada a ambos extremos de la línea, en el equivalente P_i .

Y_t matriz admitancia shunt del equivalente T, conectada en la mitad de la línea.

$\frac{Z_t}{2}$ matriz impedancia serie del equivalente T, conectada en
ambos extremos,

M matriz de vectores característicos.

x1 longitud de la línea.

γ_j j-ésimo valor característico

Z matriz impedancia serie por unidad de longitud.

Y matriz admitancia shunt por unidad de longitud.

C A P I T U L O I I

PROGRAMA Y DIAGRAMAS DE FLUJO

El Programa digital usa el algoritmo (fórmulas), que se desarrollan en el Capítulo anterior, proporcionando las matrices de los equivalentes que tienen la siguiente forma:

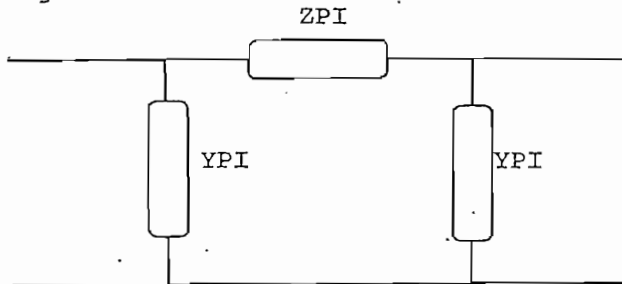


FIGURA 2.1. EQUIVALENTE PI

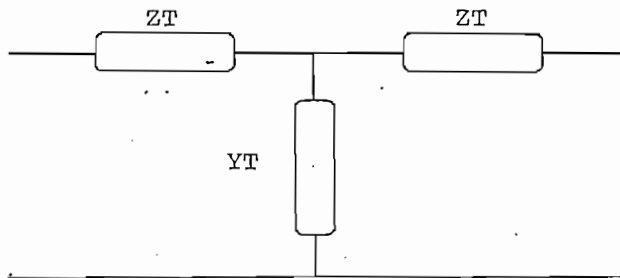


FIGURA 2.2. EQUIVALENTE T

Cada una de las subrutinas realiza un paso específico tendiente a encontrar los parámetros de las fórmulas, estando a cargo del programa el control del flujo lógico.

..../..

LISTADO DE VARIABLES

En el programa se utilizan dos clases de variables:

1. Variables dimensionadas

1.1. Complejas, Doble Precisión:

- A. Matriz que almacena el producto $Y * Z$, a la cual se hallan los valores y vectores característicos. (Subrutina VACVEC); auxiliar en el cálculo algunas subrutinas.
- B. Matriz que almacena el producto $Y * Z$, debido a que A es transformada en el cálculo de los valores característicos. (Subrutina VACVEC); auxiliar en el cálculo algunas subrutinas.
- C. Matriz que almacena los vectores que defletan sucesivamente a la matriz original. (Subrutina VACVEC); - auxiliar en el cálculo de algunas subrutinas.
- D. Vector conteniendo los inversos de la raíz cuadrada de los valores característicos. (Subrutina CARACT)

- DIAG1. Vector conteniendo los senos hiperbólicos de los valores característicos. (Subrutina EQPIYT).
- DIAG2. Vector que contiene las tangentes hiperbólicas de los valores característicos. (Subrutina EQPIYT).
- VAC. Vector conteniendo los valores característicos de $Y * Z$ (programa principal); subrutina EQPIY y CARACT
W = VAC; en VACVEC VP = VAC.
- VEC. Matriz cuyas columnas son los vectores característicos correspondientes a VAC (programa principal), en subrutinas EQPYT y CARACT MA = VEC; en VACVEC VEP = VEC.
- VEC1. Matriz conteniendo la inversa de VEC (programa principal), en subrutina EQPYT M1 = VEC1.
- V. Vector auxiliar en el cálculo de VEC (Subrutina VACVEC).
- VI. Vector, primera aproximación al vector característico. (Subrutina VACVEC).
- X. Vector que post-multiplica a una matriz (Subrutina MATVEC); en subrutina VECLN vector cuyo módulo es -

hallado.

- Y. Matriz admitancia Shunt por unidad de longitud; en Subrutina VACVEC es un vector auxiliar en el cálculo.
- YPI. Matriz, admitancia Shunt conectada a cada extremo - del equivalente PI.
- YT. Matriz, admitancia Shunt conectada en el centro del equivalente T.
- YZ. Matriz producto $Y * Z$
- YZU. Matriz $(Y * Z) / \boxed{U} - \boxed{1}$ $\boxed{U} = \boxed{-\omega^2 \nu \epsilon}$
- Z. Matriz impedancia serie por unidad de longitud; auxiliar en algunas subrutinas.
- ZPI. Matriz impedancia serie del equivalente PI.
- ZT. Matriz impedancia serie conectada a cada lado del - equivalente T.

1.2. Reales, Doble Precisión:

B. Parte real de una matriz a escribirse (Subrutina ESCRI)

C. Parte imaginaria de una matriz a escribirse (Subrutina
ESCRI)

1.3. Enteras:

IT Vector conteniendo indicadores en subrutina INVERS.

1.4. Alfa - Numéricas;

COMEN Vector que almacena los títulos que identifican la -
línea.

UNID Vector que contiene las unidades y componentes en que
está la línea.

2. Variables no dimensionadas

2.1. Complejas, Doble Precisión;

XI Primera aproximación al valor característico dominante
(Subrutina VACVEC).

- XF Valor característico dominante, y auxiliar en el cálculo. (Subrutina VACVEC).
- T1 En T1 se guarda, para comparación, los valores de la diagonal de una matriz a ser invertida. (Subrutina INVERS)

2.2. Reales, Doble Precisión:

- XL Longitud de la línea. (millas o kilómetros).
- XLL Longitud de la línea con signo menos, para calcular \sinh y \cosh .
- X1 Parte real de la raíz cuadrada de cada valor característico, por definición, amortiguamiento. (Subrutina CARACT).
- Y1 Parte imaginaria de la raíz de cada valor característico, por definición: velocidad de propagación de la onda. (Subrutina CARACT).
- S Escalar a ser multiplicado por una matriz (Subrutina SCAMAT); auxiliar en otras subrutinas.
- U Escalar = $-4.0919231D-06$; si Y y Z están dadas en millas, y = $-1580576D-06$, si Y y Z están dadas en kilómetros/..

2.3. Enteras:

- N Rango de la matriz
- NP Número de problemas a ser resuelto.
- NTC Número de tarjetas de títulos.
- ICV Indicador de convergencia de valores característicos.
- JCIM Indicador de inversión de una matriz.
- JCI1 Indicador para que se realice, o no, el cálculo de parámetros característicos.
- JCI2 Indicador que ordena el cálculo del equivalente T.
- JCU Indicador de unidades de Y y Z.
- JCU1 Indicador de componentes en que están dadas las matrices de datos.
- JCU2 Indicador para ordenar cambio de componentes.

:

:

2.1. Programa Principal

El Programa Principal se encarga de realizar las siguientes funciones:

1. Lee el número de problemas que se calcularán (NP)
2. Lee los siguientes datos:
rango de las matrices Y y Z (N), longitud (XL), indicador para ordenar el cálculo de las matrices de impedancia y admitancia características (JCI1), indicador para ordenar el cálculo del equivalente T de líneas (JCI2), número de tarjetas para identificar la línea (NTC), indicador de unidades en que están dadas Y y Z (JCU), indicador de componentes en las que están Y y Z (JCU1), indicador de componentes en que se requieren los resultados (JUC2)
3. Lee las tarjetas de identificación de la línea (COMEN), y datos de impedancia y admitancia por unidad de longitud Z, Y
4. Imprime en la salida los datos para identificar cada línea.
(COMEN, N, xl, Y, Z)
5. Llama a la subrutina MULTIP para formar $YZ = Y * Z$, matriz a la cual se hallarán los valores y vectores característicos.

6. Con el objeto de que los valores y vectores característicos sean separados, realiza $(YZ / \boxed{-\omega^2 \vee \epsilon}) - \boxed{1}$, donde $\boxed{-\omega^2 \vee \epsilon}$ se calcula en base al indicador de unidades
7. Llama a la subrutina VACVEC para hallar los valores y vectores característicos (\overline{VAC} , \overline{VEC}).
8. Calcula $\overline{VAC} = \boxed{-\omega^2 \vee \epsilon} (\overline{VAC} + 1)$, siendo estos los valores característicos de YZ, y luego realiza $\overline{VAC} = (\overline{VAC})^{1/2}$.
9. Llama a la subrutina CARACT para hallar impedancia y admitancia características Z_0 , Y_0 .
10. Llama a la subrutina EQPIYT para hallar los equivalentes Pi y T de la línea, Z_{PI} , Y_{PI} , Z_T , Y_T (Figuras 2.1 y 2.2)
11. Imprime resultados según indicadores (llama a COMPON si es solicitado cambiar de componentes)

DOS FORTRAN IV 360N-FO-479 3-8

```
0001     COMPLEX*16 Y,Z,YPI,ZPI,YT,ZT,YZU,YZ,VEC,VEC1,VAC
0002     DIMENSION COMEN(200),YZ(10,10),ZT(10,10),YT(10,10),VEC1(10,10)
0003     DIMENSION ZPI(10,10),YPI(10,10),UNID(6)
0004     COMMON VAC(10),VEC(10,10),YZU(10,10),Z(10,10),Y(10,10)
0005     EQUIVALENCE (Z,ZPI),(Y,YPI)
0006     DOUBLE PRECISION U,XL
0007     READ(1,900)NP
0008 900   FORMAT(9X,I1)
0009     IF(NP.GT.5)GO TO100

C
0010     LEE INDICADORES Y DATOS GENERALES DE LA LINEA
0011     DO 50 KP=1,NP
0012 3     READ(1,3)N,XL,JCI1,JCI2,NTC,JCU,JCU1,JCU2
0013     FORMAT(3X,I2,D10.1,6(4X,I1))
0014     IF(NTC.LT.0.OR.NTC.GT.5)GO TO 100
0015     K=NTC*20
0016     DO 2 J=1,K,20
0017     J1=J+19
0018 2     READ(1,60)(COMEN(I),I=J,J1)
0019 60    FORMAT(20A4)
0020     DATA UNID(1),UNID(2),UNID(3),UNID(4),UNID(5),UNID(6)/'MILL','KLM.'
0021     1,'SEC. ','FASE','SEC. ','FASE'
0022 6     READ(1,5)(Y(I,J),J=1,N)
0023     DO 4 I=1,N
0024 4     READ(1,5)(Z(I,J),J=1,N)
0025 5     FORMAT(4D20.8)

C
0026     DETECTA ERRORES EN LOS DATOS
0027     IF(N.LE.0.OR.N.GT.10)GO TO 100
0028     IF(XL.LE.0)GO TO 100
0029     IF(JCI1.LT.0.OR.JCI1.GT.1)GO TO 100
0030     IF(JCI2.LT.0.OR.JCI2.GT.1)GO TO 100
0031     IF(JCU.LT.0.OR.JCU.GT.1)GO TO 100
0032     IF(JCU1.LT.0.OR.JCU1.GT.1)GO TO 100
0033     IF(JCU2.LT.0.OR.JCU2.GT.1)GO TO 100

C
0033     ESCRIBE DATOS
0034 8     WRITE(3,8)
0035     FORMAT(1H1)
0036     WRITE(3,61)
0037     FORMAT(///30X,'CALCULO DE LOS EQUIVALENTES PI Y T DE LINEAS DE TRA
0038     NSMISION',/30X,60('*'))
0039     WRITE(3,500)
0040 500  FORMAT(/////58X,'ZPI',/56X,7('*'),/46X,11('*'),5X,11('*'),/52X,'*'
0041     1,3X,7('*'),3X,'*',/52X,'*',13X,'*',/51X,'***',11X,'***',/51X,'* *'
0042     1,11X,'* *',/51X,'* *',11X,'* *',/48X,'YPI* *',11X,'* *YPI',/51X,'*'
0043     1,*',11X,'* *',/51X,'* *',11X,'* *',/51X,'***',11X,'***',/52X,'*',1
0044     13X,'*',/52X,'*',13X,'*',/46X,27('*'))
0045     WRITE(3,501)
0046 501  FORMAT(/////51X,'ZT',13X,'ZT',/49X,7('*'),7X,7('*'),/46X,4('*'),5X
0047     1,9('*'),5X,4('*'),/49X,7('*'),3X,'*',3X,7('*'),/59X,'*',/58X,'***'
0048     1,/58X,'* *',/58X,'* *',/56X,'YT* *',/58X,'* *',/58X,'* *',/58X,'**
0049     1*',/59X,'*',/59X,'*',/46X,27('*'))
0050     WRITE(3,8)
0051     IF(JCU.EQ.1)GO TO 200
0052     JK=1
0053     GO TO 203
0054 200  JK=2
0055 203  IF(JCU1.EQ.1)GO TO 201
0056     JK1=3
0057     GO TO 204
0058 201  JK1=4
0059 204  IF(JCU2.EQ.1)GO TO 202
0060     JK2=5
0061     GO TO 205
0062 202  JK2=6
0063 205  CONTINUE
```

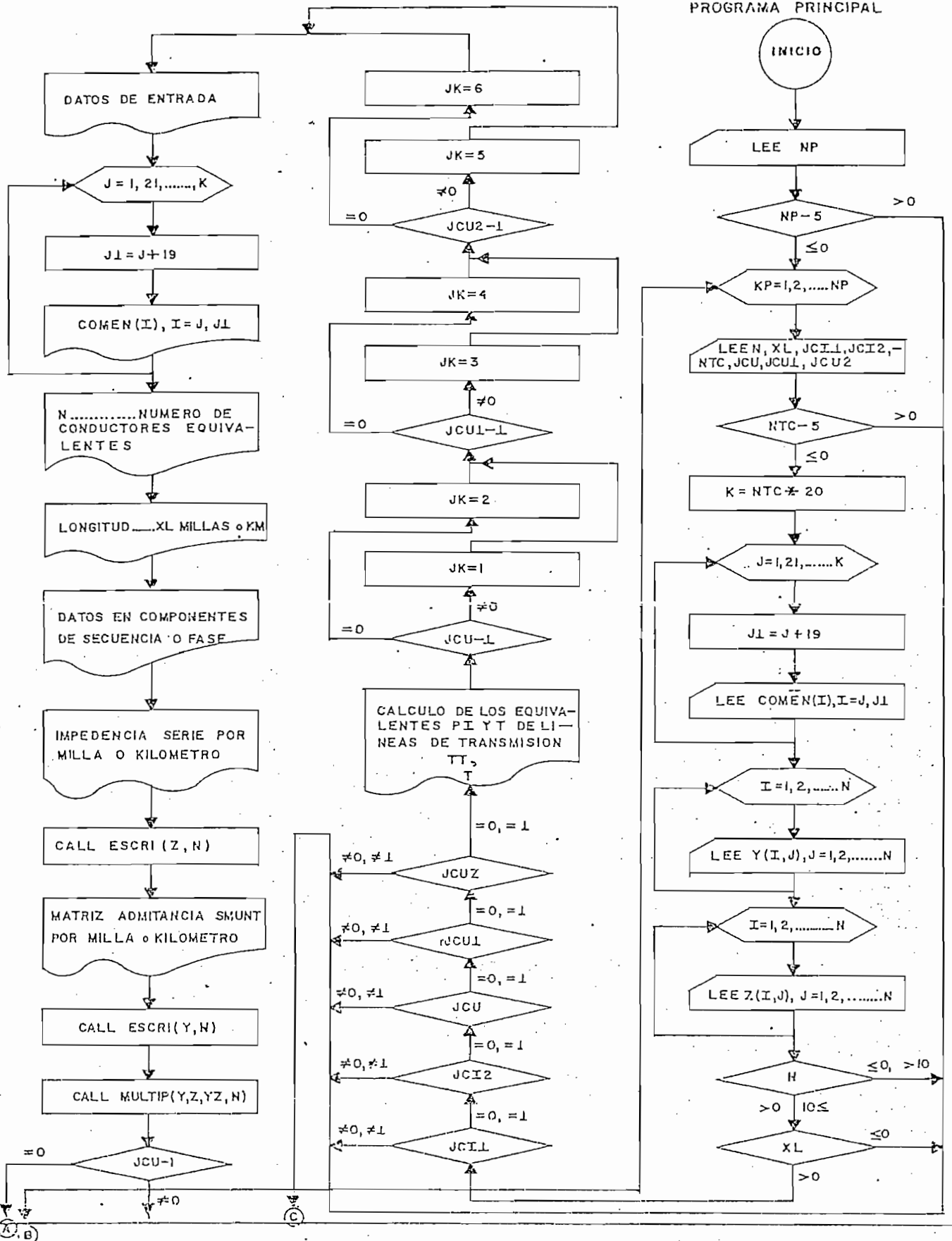
DOS FORTRAN IV 360N-FO-479 3-8

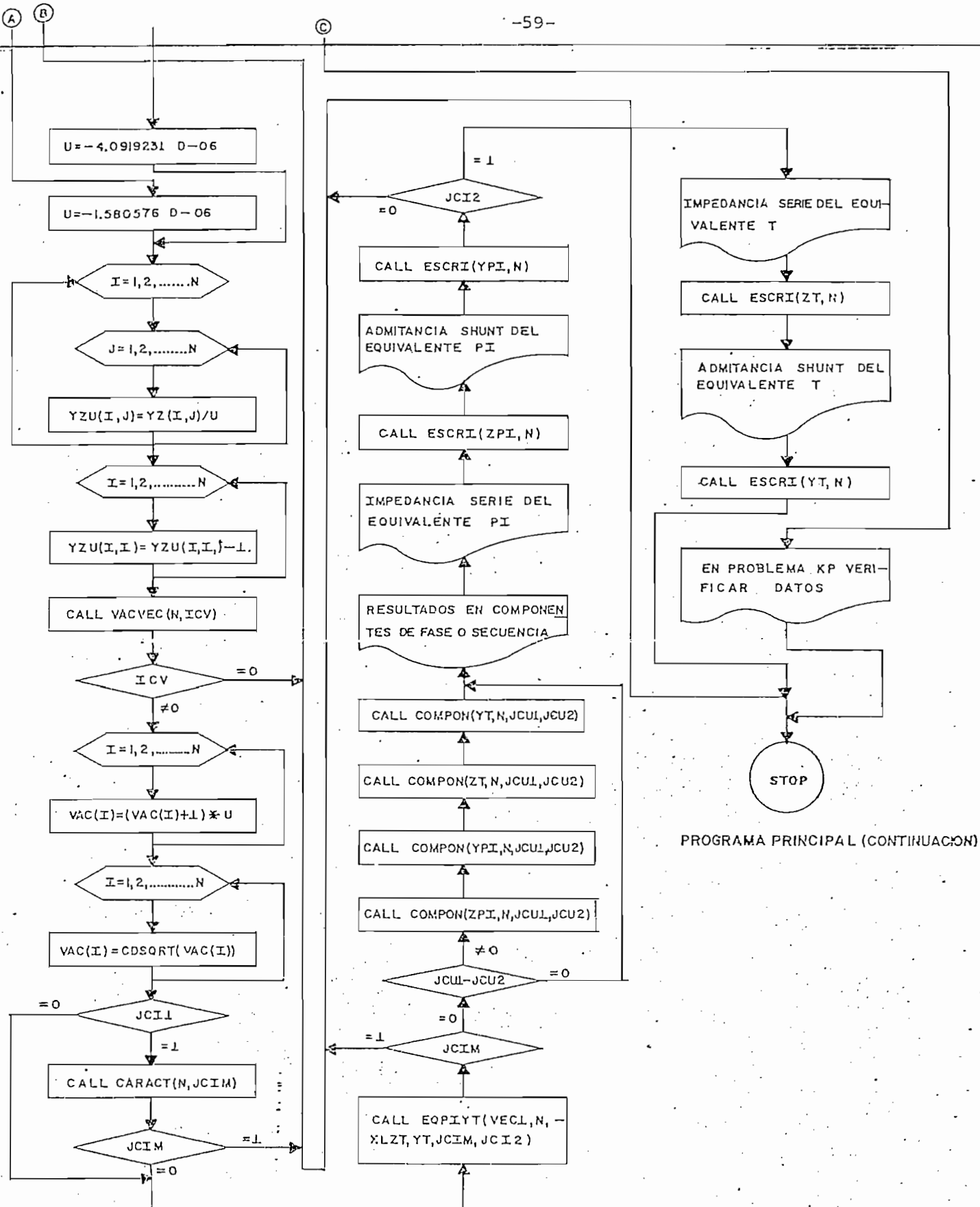
```
0063 WRITE(3,15)
0064 15 FORMAT(/52X,'DATOS DE ENTRADA',/52X,17('*'))
0065 DO 13 J=1,K,20
0066 J1=J+19
0067 13 WRITE(3,41)(COMEN(I),I=J,J1)
0068 41 FORMAT(///20X,20A4)
0069 WRITE(3,12)N
0070 12 FORMAT(/40X,'N: .....',I2,' NUMERO DE CONDUCTORES EQUIVALENT
0071 1ES')
0072 WRITE(3,11)XL,UNID(JK)
0073 11 FORMAT(/40X,'LONGITUD:...',F4.1,1X,3A4)
0074 WRITE(3,17)UNID(JK1)
0075 17 FORMAT(/40X,'DATOS EN COMPONENTES DE',3A4)
0076 WRITE(3,16)UNID(JK)
0077 16 FORMAT(/40X,'LA MATRIZ IMPEDANCIA SERIE POR',3A4,/40X,41('*'))
0078 CALL ESCRI(Z,N)
0079 WRITE(3,18)UNID(JK)
0080 18 FORMAT(/40X,'LA MATRIZ ADMITANCIA SHUNT POR',3A4,/40X,41('*'))
0081 CALL ESCRI(Y,N)
C
C REALIZA EL PRODUCTO Y*Z
0082 CALL MULTIP(Y,Z,YZ,N)
C
C SEPARA LOS VALORES CARACTERISTICOS
0083 IF(JCU,EQ.1)GO TO 101
0084 U=-4.0919231D-06
0085 GO TO 102
0086 101 U=-1.580576D-06
0087 102 CONTINUE
0088 DO 19 I=1,N
0089 DO 19 J=1,N
0090 19 YZU(I,J)=YZ(I,J)/U
0091 DO 20 I=1,20
0092 20 YZU(I,I)=YZU(I,I)-(1.D0,0.D0)
C
C ORDENA HALLAR LOS VALORES Y VECTORES CARACTERISTICOS
0093 CALL VACVEC(N,ICV)
C
C VERIFICA CONVERGENCIA DE VALORES CARACTERISTICOS
0094 IF(ICV,EQ.0)GO TO 50
C
C MODIFICA LOS VALORES CARACTERISTICOS SEGUN TEORIA
0095 DO 108 I=1,N
0096 108 VAC(I)=U*{(1.D0,0.D0)+VAC(I)}
0097 DO 10 I=1,N
0098 10 VAC(I)=CDSQRT(VAC(I))
0099 IF(JCI1,EQ.0)GO TO 110
0100 CALL CARACT(N,JCIM,UNID,JK)
0101 IF(JCIM,EQ.1)GO TO 50
0102 110 CONTINUE
C
C ORDENA HALLAR LOS EQUIVALENTES PI Y T
0103 CALL EQPIYT(VEC1,N,XL,ZT,YT,JCIM,JC12)
0104 IF(JCIM,EQ.1)GO TO 50
C
C CAMBIA DE COMPONENTES SI ES SOLICITADO
0105 IF(JCU1,EQ.JCU2)GO TO 123
0106 CALL COMPON(ZPI,N,JCU1,JCU2)
0107 CALL COMPON(YPI,N,JCU1,JCU2)
0108 IF(JCI2,EQ.0)GO TO 123
0109 CALL COMPON(ZT,N,JCU1,JCU2)
0110 CALL COMPON(YT,N,JCU1,JCU2)
0111 123 CONTINUE
0112 WRITE(3,124)UNID(JK2)
0113 124 FORMAT(/40X,'RESULTADOS EN COMPONENTES DE',3A4,/40X,38('*'))
C
C IMPRIME RESULTADOS SEGUN INDICADORES
0114 WRITE(3,33)
```


DOS FORTRAN IV 360N-FO-479 3-8

```
0115 33  FORMAT(/30X,'LA MATRIZ IMPEDANCIA SERIE DEL EQUIVALENTE PI ES:'/3
0116      10X,49('X'))
0117      CALL ESCRI(ZPI,N)
0118      WRITE(3,34)
0119 34  FORMAT(/30X,'LA MATRIZ DE ADMITANCIA SHUNT DEL EQUIVALENTE PI ES:
0120      1',/31X,52('X'))
0121      CALL ESCRI(YPI,N)
0122      IF(JCI2.EQ.0)GO TO 50
0123      WRITE(3,121)
0124 121  FORMAT(/40X,'MATRIZ IMPEDANCIA SERIE DEL EQUIVALENTE T',/40X,41('
0125      1X'))
0126      CALL ESCRI(ZT,N)
0127      WRITE(3,122)
0128 122  FORMAT(/40X,'MATRIZ ADMITANCIA SHUNT DEL EQUIVALENTE T',/40X,41('
0129      1X'))
0130      CALL ESCRI(YT,N)
0131      GO TO 50
0132 100  WRITE(3,109)KP
0133 109  FORMAT(/30X,'EN PROBLEMA:',I2,'VERIFICAR DATOS')
0134      GO TO 83
0135 50   CONTINUE
0136 83   CONTINUE
0137      STOP
0138      END
```

DIAGRAMA DE FLUJO





PROGRAMA PRINCIPAL (CONTINUACION)

2.2. Subrutinas Empleadas

El programa tiene como auxiliares a once subrutinas que realizan procesos específicos, Estas son;

1. VACVEC ; Halla los valores y vectores característicos $Y*Z$
2. EQPIYT ; Calcula los elementos de los modelos PI y T
3. INVERS ; Invierte una matriz compleja
4. CARACT ; Halla los parámetros característicos de una línea
5. ESCRI ; Escribe matrices complejas
6. COMPON ; Cambia de componentes a los equivalentes
7. MULTIP ; Multiplica dos matrices complejas
8. MATEQ ; Iguala dos matrices complejas
9. MATVEC ; Multiplica una matriz por un vector
10. SCAMAT ; Multiplica una matriz por un escalar
11. VECLEN ; Halla el módulo de un vector complejo.

SUBRUTINA VACVEC

Mediante esta subrutina se calculan los valores y vectores característicos de matrices complejas, usando aritmética en doble precisión.

El método usado es el de la potencia, similar al de Bernoulli para calcular las raíces de un polinomio, debido a la semejanza

que existe entre hallar los valores característicos de una matriz y hallar las raíces de un polinomio. (Referencia N° 2)

Por el método de la potencia se halla el valor característico dominante de la matriz, y luego, mediante la deflación de Wielandt se modifica la matriz original, con el propósito de tener como valor característico dominante el menor en magnitud, y así sucesivamente. (Referencia N° 2)

Método de la Potencia (MISES)

Sea λ_n el módulo del n éximo valor característico y

$$\lambda_1 > \lambda^2 > \dots > \lambda_n$$

Sea A la matriz a la cual se van a hallar los valores y vectores característicos, y \bar{v}_0 el vector inicial. Como los vectores característicos forman una base en el espacio n dimensional, y asumiendo que $\bar{x}_1, \bar{x}_2, \dots, \bar{x}_n$ son vectores característicos.

entonces:

$$\bar{v}_0 = c_1 \bar{x}_1 + c_2 \bar{x}_2 + \dots + c_n \bar{x}_n$$

y, por otro lado:

$$|\bar{x}_1| = |\bar{x}_2| = \dots = |\bar{x}_n| = 1$$

Luego si se realiza:

..//...

$$\bar{v}_1 = \frac{A\bar{v}_0}{|A\bar{v}_0|}$$

$$\bar{v}_2 = \frac{A\bar{v}_1}{|A\bar{v}_1|}$$

En general:
$$\bar{v}_m = \frac{A\bar{v}_{m-1}}{|A\bar{v}_{m-1}|}$$

SV.1

Desarrollando esta última ecuación:

$$\bar{v}_m = \frac{A^m \bar{v}_0}{|A^m \bar{v}_0|}$$

$$\frac{A^m \bar{v}_0}{|A^m \bar{v}_0|} = \frac{A^m (c_1 \bar{x}_1 + c_2 \bar{x}_2 + \dots + c_n \bar{x}_n)}{|A^m (c_1 \bar{x}_1 + c_2 \bar{x}_2 + \dots + c_n \bar{x}_n)|}$$

$$\frac{A^m \bar{v}_0}{|A^m \bar{v}_0|} = \frac{c_1 A^m \bar{x}_1 + c_2 A^m \bar{x}_2 + \dots + c_n A^m \bar{x}_n}{|c_1 A^m \bar{x}_1 + c_2 A^m \bar{x}_2 + \dots + c_n A^m \bar{x}_n|}$$

Pero en general $A^m \bar{x} = \lambda^m \bar{x}$ (ver Anexo N° 1)

$$\frac{A^m \bar{v}_0}{|A^m \bar{v}_0|} = \frac{c_1 \lambda_1^m \bar{x}_1 + c_2 \lambda_2^m \bar{x}_2 + \dots + c_n \lambda_n^m \bar{x}_n}{|c_1 \lambda_1^m \bar{x}_1 + c_2 \lambda_2^m \bar{x}_2 + \dots + c_n \lambda_n^m \bar{x}_n|}$$

$$\frac{A^m \bar{v}_0}{|A^m \bar{v}_0|} = \frac{c_1 \lambda_1^m (\bar{x}_1 + \frac{c_2}{c_1} (\frac{\lambda_2}{\lambda_1})^m \bar{x}_2 + \dots + \frac{c_n}{c_1} (\frac{\lambda_n}{\lambda_1})^m \bar{x}_n)}{|c_1 \lambda_1^m (\bar{x}_1 + \frac{c_2}{c_1} (\frac{\lambda_2}{\lambda_1})^m \bar{x}_2 + \dots + \frac{c_n}{c_1} (\frac{\lambda_n}{\lambda_1})^m \bar{x}_n)|}$$

$$\frac{A^m \bar{v}_0}{|A^m \bar{v}_0|} = \frac{c_1 \lambda_1^m (1 + \frac{c_2}{c_1} (\frac{\lambda_2}{\lambda_1})^m + \dots + \frac{c_n}{c_1} (\frac{\lambda_n}{\lambda_1})^m)}{|c_1 \lambda_1^m (1 + \frac{c_2}{c_1} (\frac{\lambda_2}{\lambda_1})^m + \dots + \frac{c_n}{c_1} (\frac{\lambda_n}{\lambda_1})^m)|}$$

$$\lim_{m \rightarrow \infty} \frac{A^m \bar{v}_0}{|A^m \bar{v}_0|} = \frac{c_1 \lambda_1^m \bar{x}_1}{|c_1 \lambda_1^m|}$$

$$\lim_{m \rightarrow \infty} \frac{A^m \bar{v}_0}{|A^m \bar{v}_0|} = \bar{x}_1$$

.../...

Luego;

$$\lim_{m \rightarrow \infty} \bar{v}_m = \lim_{m \rightarrow \infty} \frac{A \bar{v}_0^{m-1}}{|A \bar{v}_0^{m-1}|} = \bar{x}_1 \text{ L.q.q.d.}$$

(ver Referencia N° 6)

En la ecuación SV.1

$$\begin{aligned} |A \bar{v}_{m-1}| \bar{v}_m &= A \bar{v}_{m-1} = A \frac{A \bar{v}_{m-2}}{|A \bar{v}_{m-2}|} \\ |A \bar{v}_{m-1}| \bar{v}_m &= \frac{A(c_1 \lambda_1^{m-1} \bar{x}_1 + c_2 \lambda_2^{m-1} \bar{x}_2 + \dots + c_n \lambda_n^{m-1} \bar{x}_n)}{|c_1 \lambda_1^{m-1} \bar{x}_1 + c_2 \lambda_2^{m-1} \bar{x}_2 + \dots + c_n \lambda_n^{m-1} \bar{x}_n|} \\ |A \bar{v}_{m-1}| \bar{v}_m &= \frac{c_1 \lambda_1^m \bar{x}_1 + c_2 \lambda_2^m \bar{x}_2 + \dots + c_n \lambda_n^m \bar{x}_n}{|c_1 \lambda_1^{m-1} \bar{x}_1 + c_2 \lambda_2^{m-1} \bar{x}_2 + \dots + c_n \lambda_n^{m-1} \bar{x}_n|} \\ |A \bar{v}_{m-1}| \bar{v}_m &= \frac{c_1 \lambda_1^m \bar{x}_1 (1 + \frac{c_2}{c_1} (\frac{\lambda_2}{\lambda_1})^{m-1} \bar{x}_2 + \dots + \frac{c_n}{c_1} (\frac{\lambda_n}{\lambda_1})^{m-1} \bar{x}_n)}{|c_1| |\lambda_1^{m-1}| (1 + \frac{c_2}{c_1} (\frac{\lambda_2}{\lambda_1})^{m-1} + \dots + \frac{c_n}{c_1} (\frac{\lambda_n}{\lambda_1})^{m-1})} \\ \lim_{m \rightarrow \infty} (|A \bar{v}_{m-1}| \bar{v}_m) &= \frac{c_1 \lambda_1^m \bar{x}_1}{|c_1 \lambda_1^{m-1}|} \times \frac{|\lambda_1|}{|\lambda_1|} \end{aligned}$$

$$\lim_{m \rightarrow \infty} (|A \bar{v}_{m-1}| \bar{v}_m) = \frac{c_1 \lambda_1^m}{|c_1| |\lambda_1^m|} |\lambda_1| \bar{x}_1 = |\lambda_1| \bar{x}_1$$

$$\lim_{m \rightarrow \infty} |A \bar{v}_{m-1}| \cdot \lim_{m \rightarrow \infty} \bar{v}_m = |\lambda_1| \bar{x}_1$$

Pero por la demostración anterior

$$\lim_{m \rightarrow \infty} \bar{v}_m = \bar{x}_1$$

.../...

Por lo tanto;

$$\lim_{m \rightarrow \infty} |A \bar{v}_{m-1}| = |\lambda_1| \quad \text{L.q.q.d.}$$

(ver Referencia N° 6)

Una vez hallados de esta manera \bar{x} y $|\lambda_1|$, se modificará la matriz original mediante la deflación de Wielandt para hallar \bar{x}_2 y $|\lambda_2|$.

La deflación de Wielandt usa;

$$A_1 = A - \lambda_1 \bar{x}_1 \bar{v}_1^{-T}$$

En esta clase de deflación $\bar{v}_1^{-T} = \frac{1}{\lambda_1 x_1} A_{1j}$

Donde λ_1 es el valor característico calculado;

x_1 es el primer elemento del vector característico.

A_{1j} es la primera fila de A

$$A_1 = A - \lambda_1 \frac{1}{\lambda_1 x_1} \bar{x}_1 A_{1j}$$

$$A_1 = A - \frac{1}{x_1} \bar{x}_1 A_{1j}$$

SV.2

A_1 tiene ceros en la primera fila y tiene los mismos valores característicos que A a excepción de λ_1 que está substituída por cero.

Demostración:

Para comprensión se analizará en forma desarrollada,

$$A_1 = \begin{bmatrix} a_{11} & a_{12} & a_{13} \\ a_{21} & a_{22} & a_{23} \\ a_{31} & a_{32} & a_{33} \end{bmatrix} \begin{bmatrix} \frac{a_{11}x_1}{x_1} & \frac{a_{12}x_1}{x_1} & \frac{a_{13}x_1}{x_1} \\ \frac{a_{11}x_2}{x_1} & \frac{a_{12}x_2}{x_1} & \frac{a_{13}x_2}{x_1} \\ \frac{a_{11}x_3}{x_1} & \frac{a_{12}x_3}{x_1} & \frac{a_{13}x_3}{x_1} \end{bmatrix}$$

Si al segundo elemento del segundo miembro de la ecuación se lo designa con A_R :

$$A_R = \begin{bmatrix} a_{11} & a_{12} & a_{13} \\ \frac{a_{11}x_2}{x_1} & \frac{a_{12}x_2}{x_1} & \frac{a_{13}x_2}{x_1} \\ \frac{a_{11}x_3}{x_1} & \frac{a_{12}x_3}{x_1} & \frac{a_{13}x_3}{x_1} \end{bmatrix}$$

Esta es una matriz que tiene sus filas linealmente dependientes, y tiene como único valor característico λ_1 y su correspondiente vector característico \bar{x}_1 ; o sea $A_R \bar{x}_1 = \lambda_1 \bar{x}_1$

Con el objeto de ver la influencia que tiene el restar A_R de la matriz original, se hallará el valor característico dominante de la matriz transformada. Suponiendo que \bar{x}_1 sea un vector característico correspondiente λ_1 , entonces:

$$(A - A_R) \bar{x}_1 = A \bar{x}_1 - A_R \bar{x}_1$$

Pero $A \bar{x}_1 = \lambda_1 \bar{x}_1$

y también $A_R \bar{x}_1 = \lambda_1 \bar{x}_1$

De ahí que:

∴/∴

$$(A - A_R) \bar{x}_1 = \bar{0}$$

Esto quiere decir que la matriz transformada no tendrá componente en la dirección de \bar{x}_1 . Será ortogonal a \bar{x}_1 .

Si a esta matriz transformada se aplica nuevamente el método de la potencia, el método convergerá hacia λ_2 y \bar{x}_2 respectivamente, se procede de igual manera hasta obtener todos los valores y vectores característicos de la matriz.

Los vectores característicos de la matriz original se relacionan con los de las matrices defletadas mediante:

$$\bar{x}_k = (\lambda_j - \lambda_1) \bar{w}_j + \lambda_1 (\bar{v}^T \bar{w}_j) \bar{x}_1 \quad ; \quad k = 2, \dots, N$$

(ver Referencia N° 2)

Donde:

λ_j Valor característico dominante de la matriz defletada.

λ_1 Valor característico dominante de la matriz original.

\bar{w}_j Vector característico correspondiente a λ_j

\bar{v}^T Vector que defleta la matriz original

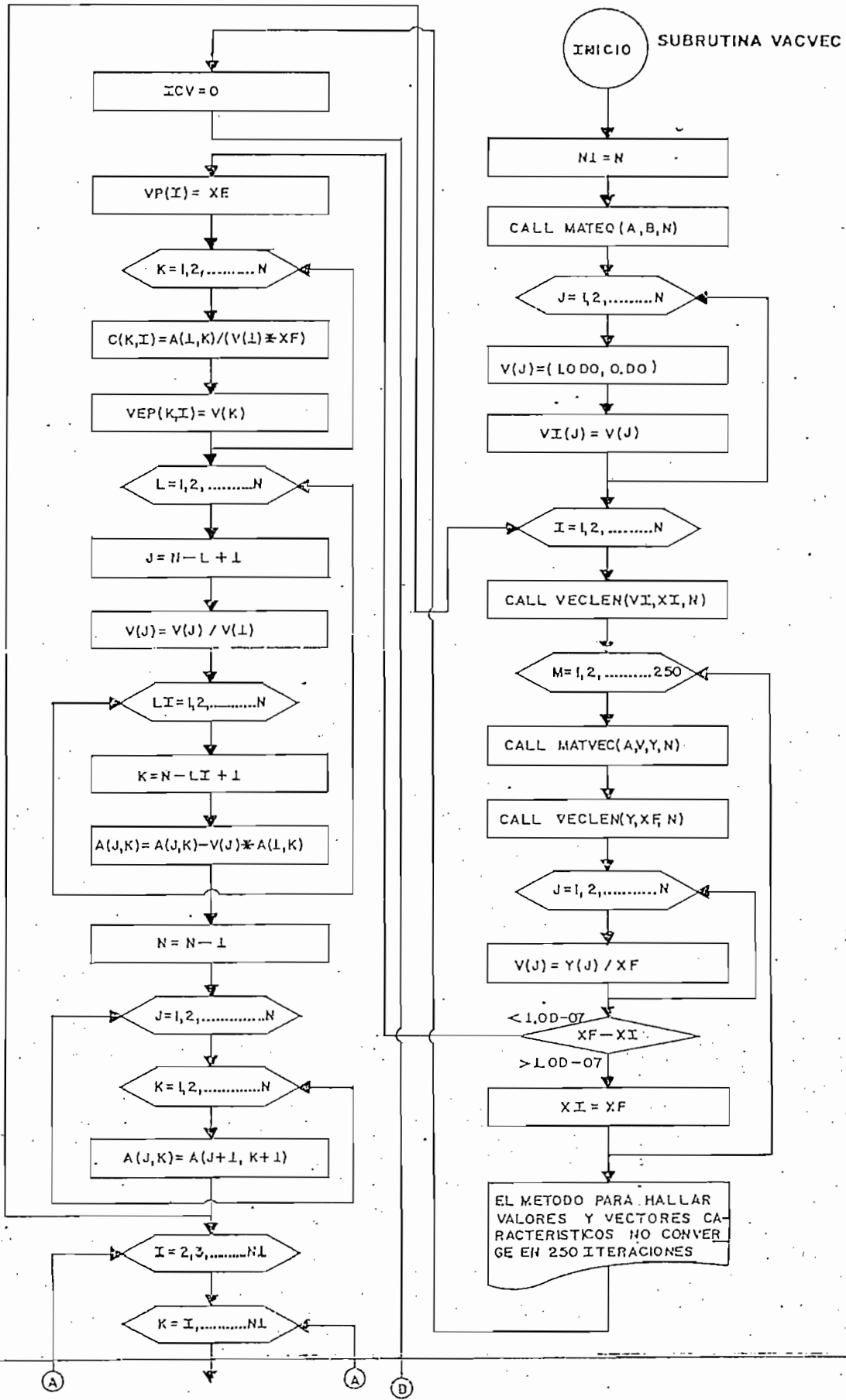
\bar{x}_1 Vector característico correspondiente λ_1

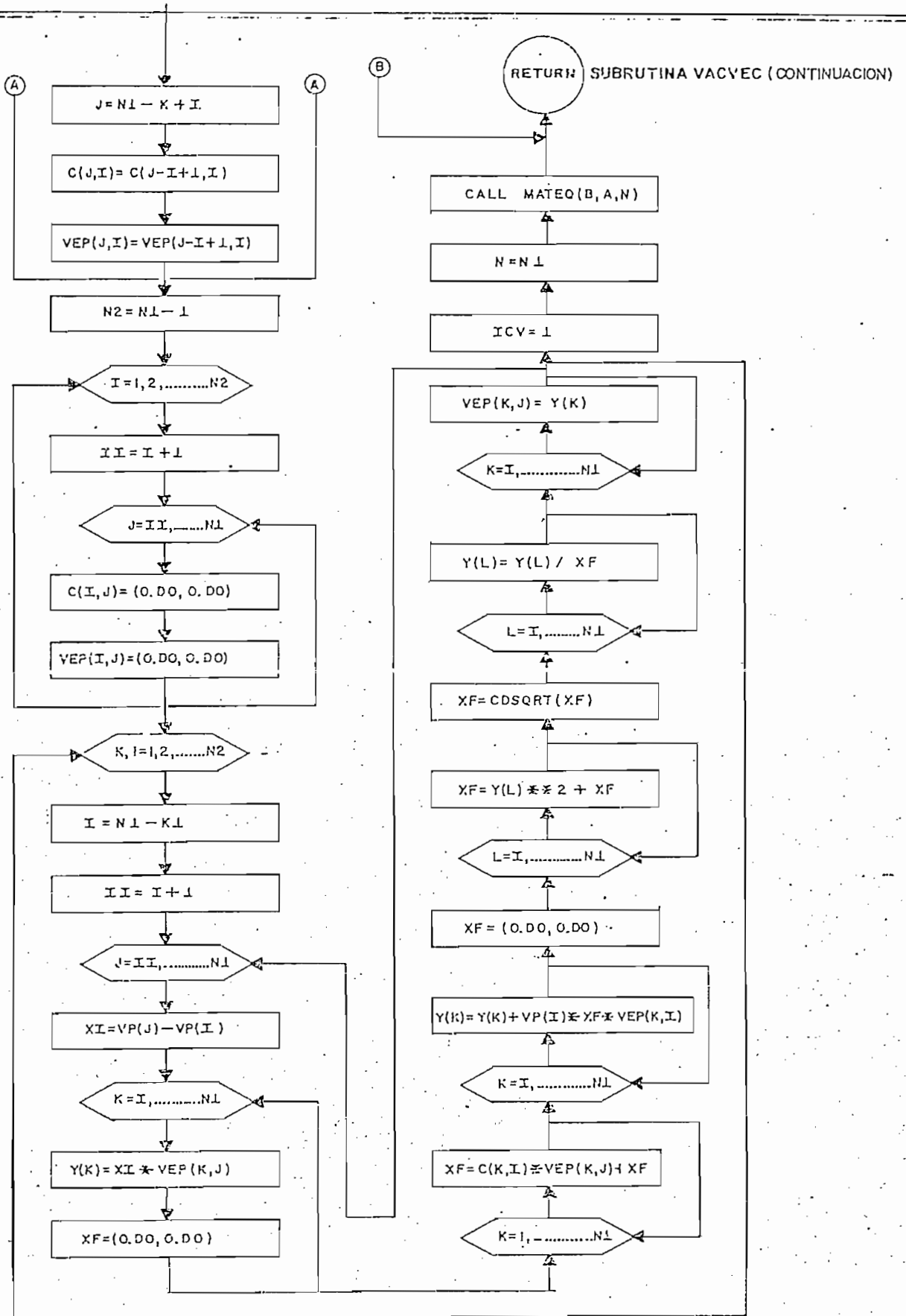
DOS FORTRAN IV 360N-FD-479 3-8

```
0001 SUBROUTINE VACVEC(N,ICV)
0002 COMPLEX*16 A,B,C,VEP,VP,U,VI,Y,XI,XF
0003 DIMENSION B(10,10),C(10,10),U(10),VI(10),Y(10)
0004 COMMON VP(10),VEP(10,10),A(10,10)
0005 N1=N
0006 CALL MATEQ(A,B,N)
C
C INICIALIZA EL VECTOR CARACTERISTICO CON UNO
0007 DO 1 J=1,N
0008 V(J)=(1.D0,0.D0)
0009 1 VI(J)=V(J)
0010 DO 11 I=1,N1
C
C COMIENZA EL PROCESO DE HALLAR LOS VALORES CARACTERISTICOS POR EL METODO DE
C LA POTENCIA
0011 CALL VECLN(VI,XI,N)
0012 DO 5 M=1,999
0013 CALL MATVEC(A,V,Y,N)
0014 CALL VECLN(Y,XF,N)
0015 DO 19 J=1,N
0016 19 V(J)=Y(J)/XF
0017 IF(CDABS(XF-XI).LT.1.D-07)GO TO 7
0018 5 XI=XF
0019 WRITE(3,8)M
0020 8 FORMAT(/30X,'EL METODO PARA HALLAR VALORES Y VECTORES CARACTERIST
0021 *ICOS NO CONVERGE EN',I5,' ITERACIONES',/30X,88('*'))
0022 ICV=0
0023 GO TO 50
0024 7 CONTINUE
C
C LOS VALORES CARACTERISTICOS LOS GUARDA EN EL ARREGLO VP
0025 VP(I)=XF
C
C LOS VECTORES CARACTERISTICOS LOS GUARDA EN EL ARREGLO VEP
C EN C SE GUARDAN LOS VECTORES QUE DEFLETAN SUCEATIVAMENTE A LA MATRIZ
0026 DO 10 K=1,N
0027 C(K,I)=A(I,K)/(V(1)*XF)
0028 10 VEP(K,I)=V(K)
C
C DEFLETA LA MATRIZ POR EL METODO DE WIELANDT
0029 DO 12 L=1,N
0030 J=N-L+1
0031 V(J)=V(J)/V(1)
0032 DO 12 LI=1,N
0033 K=N-LI+1
0034 12 A(J,K)=A(J,K)-V(J)*A(1,K)
C
C POR ESTA DEFLECCION SE REDUCE EL ORDEN DE LA MATRIZ
0035 N=N-1
0036 DO 13 J=1,N
0037 DO 13 K=1,N
0038 13 A(J,K)=A(J+1,K+1)
0039 11 CONTINUE
C
C CALCULA LOS VECTORES CARACTERISTICOS DE LA MATRIZ ORIGINAL A PARTIR DE LOS
C VECTORES DE LA MATRIZ DEFLETADA
0040 DO 14 I=2,N1
0041 DO 14 K=I,N1
0042 J=N1-K+I
0043 C(J,I)=C(J-I+1,I)
0044 14 VEP(J,I)=VEP(J-I+1,I)
0045 N2=N1-1
0046 DO 15 I=1,N2
0047 II=I+1
0048 DO 15 J=II,N1
0049 C(I,J)=(0.D0,0.D0)
0050 15 VEP(I,J)=(0.D0,0.D0)
0051 DO 16 K1=1,N2
```

DOS FORTRAN IV 360N-FO-479 3-8

```
0052      I=N1-K1
0053      II=I+1
0054      DO 16 J=II,N1
0055      XI=VP(J)-VP(I)
0056      DO 17 K=I,N1
0057  17    Y(K)=XI*VEP(K,J)
0058      XF=(0.D0,0.D0)
0059      DO 18 K=1,N1
0060  18    XF=C(K,I)*VEP(K,J)+XF
0061      DO 2 K=I,N1
0062  2    Y(K)=Y(K)+VP(I)*XF*VEP(K,I)
0063      XF=(0.D0,0.D0)
0064      DO 20 L=I,N1
0065  20    XF=Y(L)**2+XF
0066      XF=CDSQRT(XF)
0067      DO 21 L=I,N1
0068  21    Y(L)=Y(L)/XF
0069      DO 16 K=I,N1
0070      VEP(K,J)=Y(K)
0071  16    CONTINUE
0072      ICV=1
0073      N=N1
0074      CALL MATEQ(B,A,N)
0075  50    RETURN
0076      END
```





SUBROUTINA EQPIYT

Mediante esta subrutina se calcula las matrices de los equivalentes P_i y T de líneas de transmisión,

Los datos que se introducen son: impedancia serie por unidad de longitud, admitancia shunt por unidad de longitud, valores y vectores característicos.

Para hallar las mencionadas matrices se usa las siguientes fórmulas halladas en el CAPITULO I, (ver Resumen de Fórmulas)

$$\frac{Z_t}{2} = \frac{x_l}{2} Z_M \frac{\tanh(Y_j x_l / 2)}{Y_j x_l / 2} M^{-1}$$

$$Y_t = x_l M \frac{\sinh(Y_j x_l)}{Y_j x_l} M^{-1} Y$$

$$Z_{\pi} = x_l Z_M \frac{\sinh(Y_j x_l)}{Y_j x_l} M^{-1}$$

$$\frac{Y_{\pi}}{2} = \frac{x_l}{2} M \frac{\tanh(Y_j x_l / 2)}{Y_j x_l / 2} M^{-1} Y$$

Donde:

$$\frac{Z_t}{2} = \text{Impedancia serie del equivalente } T$$

$$Y_t = \text{Admitancia shunt del equivalente } T$$

$$Z_{\pi} = \text{Impedancia serie del equivalente } P_i$$

..//..

$\frac{Y\pi}{2}$ = Admitancia shunt del equivalente Pi

Z = Impedancia serie por unidad de longitud

Y = Admitancia shunt por unidad de longitud

x_l = Longitud total de la línea

$\frac{\sinh(\gamma_j x_l)}{\gamma_j x_l}$ = Matriz diagonal de: (senos hiperbólicos de $\gamma_j x_l$)
/ $\gamma_j x_l$.

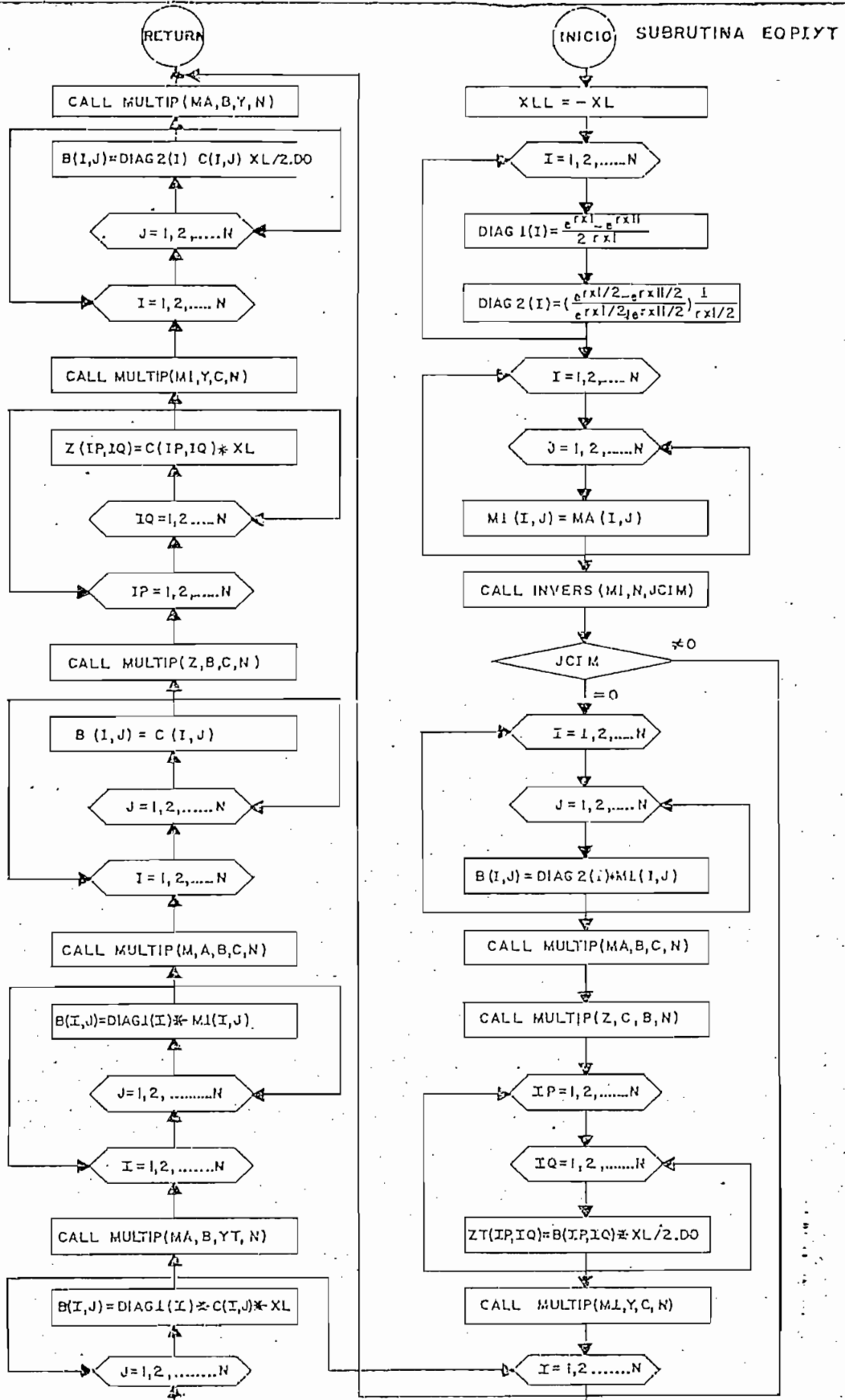
$\frac{\tanh(\gamma_j x_l/2)}{\gamma_j x_l/2}$ = Matriz diagonal de: (tangentes hiperbólicas
de $\frac{\gamma_j x_l}{2}$) / $\gamma_j x_l/2$

M = Matriz cuyas columnas son los vectores característicos.

DOS FORTRAN IV 360N-FO-479 3-8

```
0001 SUBROUTINE EQPIYT(M1,N,XL,ZT,YT,JCIM,JC12)
0002 COMPLEX*16 MA,M1,ZY,DIAG1,DIAG2,B,C,W,YT,ZT
0003 DIMENSION M1(10,10),ZT(10,10),YT(10,10),DIAG1(10),DIAG2(10),B(10,1
0004 *0)
0005 COMMON W(10),MA(10,10),C(10,10),Z(10,10),Y(10,10)
0006 DOUBLE PRECISION XL,XLL
0007 XLL=-XL
C
C CALCULA SENH Y TANH
0008 DO 21 I=1,N
0009 DIAG1(I)=(CDEXP(W(I)*XL)-CDEXP(W(I)*XLL))/(2.DO*W(I)*XL)
0010 21 DIAG2(I)=(CDEXP(W(I)*XL/2.DO)-CDEXP(W(I)*XLL/2.DO))/((CDEXP(W(I)*X
0011 *XL/2.DO)+CDEXP(W(I)*XLL/2.DO))*(W(I)*XL/2.DO))
C
C GUARDA EN M1 LOS VECTORES CARACTERISTICOS PARA INVERTIRLOS
0012 DO 10 I=1,N
0013 DO 10 J=1,N
0014 10 M1(I,J)=MA(I,J)
0015 CALL INVERS(M1,N,JCIM)
0016 IF(JCIM)30,31,30
0017 31 CONTINUE
C
C CALCULA MEDIANTE LAS FORMULAS ZT;YT;ZPI;YPI
0018 IF(JC12,EQ,0)GO TO 36
0019 DO 210 I=1,N
0020 DO 210 J=1,N
0021 210 R(I,J)=DIAG2(I)*M1(I,J)
0022 CALL MULTIP(MA,B,C,N)
0023 CALL MULTIP(Z,C,B,N)
0024 DO 212 IP=1,N
0025 DO 212 IQ=1,N
0026 212 ZT(IP,IQ)=R(IP,IQ)*XL/2.DO
0027 CALL MULTIP(M1,Y,C,N)
0028 DO 214 I=1,N
0029 DO 214 J=1,N
0030 214 R(I,J)=DIAG1(I)*C(I,J)*XL
0031 CALL MULTIP(MA,B,YT,N)
0032 36 CONTINUE
0033 DO 32 I=1,N
0034 DO 32 J=1,N
0035 32 R(I,J)=DIAG1(I)*M1(I,J)
0036 CALL MULTIP(MA,B,C,N)
0037 DO 33 I=1,N
0038 DO 33 J=1,N
0039 33 R(I,J)=C(I,J)
0040 CALL MULTIP(Z,B,C,N)
0041 DO 34 IP=1,N
0042 DO 34 IQ=1,N
0043 34 Z(IP,IQ)=C(IP,IQ)*XL
0044 CALL MULTIP(M1,Y,C,N)
0045 DO 35 I=1,N
0046 DO 35 J=1,N
0047 35 R(I,J)=DIAG2(I)*C(I,J)*XL/2.DO
0048 CALL MULTIP(MA,B,Y,N)
0049 30 CONTINUE
0050 RETURN
0051 END
```

DIAGRAMA DE FLUJO



SUBROUTINA INVERSA

Mediante esta subrutina se invierte matrices complejas:

El método seguido se basa en el siguiente principio:

Si se tiene una matriz no singular A

$$A = \begin{bmatrix} a_{11} & a_{12} & \dots & a_{1j} & \dots & a_{1n} \\ a_{21} & a_{22} & \dots & a_{2j} & \dots & a_{2n} \\ \dots & \dots & \dots & \dots & \dots & \dots \\ a_{i1} & a_{i2} & \dots & a_{ij} & \dots & a_{in} \\ \dots & \dots & \dots & \dots & \dots & \dots \\ a_{n1} & a_{n2} & \dots & a_{nj} & \dots & a_{nn} \end{bmatrix}$$

El primer paso es determinar en la diagonal el elemento mayor en valor absoluto y su ubicación (k, k)

A los elementos de la matriz fuera de la fila k, y de la columna k se los modifica de la siguiente manera:

$$a_{ij} = a_{ij} - \frac{a_{ik} a_{kj}}{a_{kk}}$$

A los elementos dentro de la fila k:

$$a_{kj} = - \frac{a_{kj}}{a_{kk}} ; j \neq k$$

A los elementos dentro de la columna k:

.../...

$$\begin{bmatrix} \frac{1}{B} & -\frac{C}{B} \\ -\frac{D}{B} & E - \frac{CD}{B} \end{bmatrix}$$

Tomando ahora el siguiente elemento de la diagonal y luego cambiando de signo:

$$\begin{bmatrix} \frac{1}{B} + \frac{\frac{CD}{BB}}{E - \frac{CD}{B}} & -\frac{C}{B} \times \frac{1}{E - \frac{CD}{B}} \\ -\frac{D}{B} \times \frac{1}{E - \frac{CD}{B}} & \frac{1}{E - \frac{CD}{B}} \end{bmatrix}$$

De ahí que:

$$B^{-1} = \frac{BE}{B(BE - CD)} = \frac{E}{BE - CD}$$

$$B = \left(\frac{BE - CD}{E} \right)^{-1} = \left(B - \frac{CD}{E} \right)^{-1}$$

$$C = \frac{-C}{BE - CD} = \frac{-E}{BE - CD} \times \frac{C}{E}$$

$$C = -B \frac{C}{E}$$

$$D = \frac{-D}{BE - CD} = -\frac{E}{BE - CD} \times \frac{D}{E}$$

$$D' = -B' \frac{D}{E}$$

$$E' = \frac{1}{E - \frac{CD}{B}} = \frac{B}{BE - CD} = \frac{E}{BE - CD} \times \frac{B}{E}$$

$$E' = B' \frac{B}{E}$$

Comprobación:

Si F es la inversa de A, entonces:

$$FA = \begin{bmatrix} 1 & 0 \\ 0 & 1 \end{bmatrix}$$

o sea:

$$\begin{bmatrix} E & C \\ BE - CD & BE - CD \\ -D & B \\ BE - CD & BE - CD \end{bmatrix} \begin{bmatrix} B & C \\ D & E \end{bmatrix} = \begin{bmatrix} 1 & 0 \\ 0 & 1 \end{bmatrix}$$

el elemento 1, 1:

$$\frac{BE}{BE - CD} - \frac{CD}{BE - CD} = \frac{BE - CD}{BE - CD} = 1$$

el elemento 1, 2:

$$\frac{CE}{BE - CD} - \frac{CE}{BE - CD} = \frac{CE - CE}{BE - CD} = 0$$

el elemento 2, 1:

$$\frac{-DB}{BE - CD} + \frac{DB}{BC - CD} = \frac{-DB + DB}{BE - CD} = \boxed{0}$$

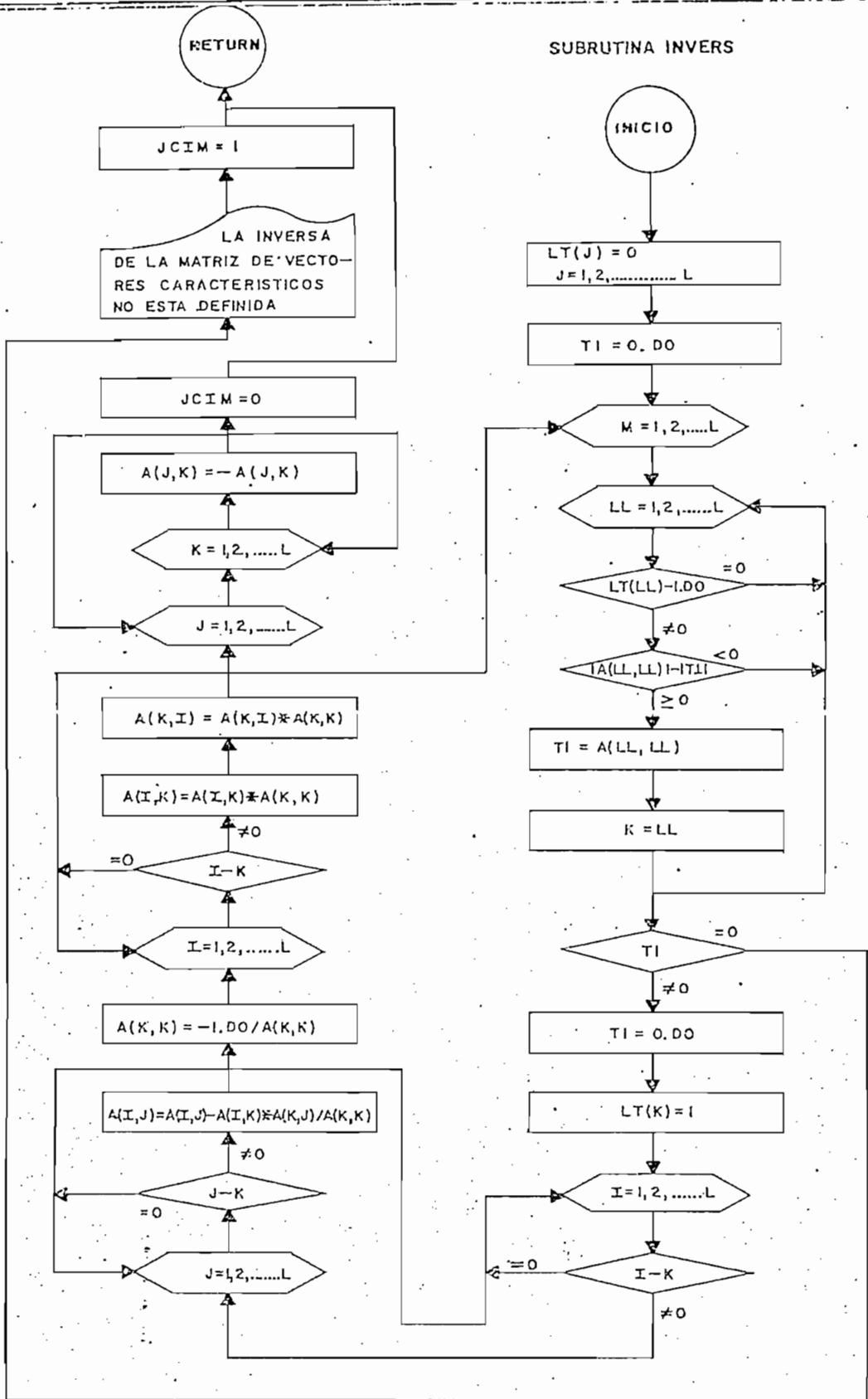
el elemento 2, 2:

$$\frac{-CD}{BE - CD} + \frac{BE}{BE - CD} = \frac{BE - CD}{BE - CD} = \boxed{1} \quad \text{L.q.q.d.}$$

DOS FORTRAN IV 360N-FO-479 3-8

```
0001      SUBROUTINE INVERS(A,L,JCIM)
0002      COMPLEX*16 A,T1
0003      DIMENSION A(10,10),LT(10)
      C
      C      INICIALIZA LT CON CEROS
0004      DO 12 J=1,L
0005      12  LT(J)=0
0006      T1=(0.D0,0.D0)
0007      DO 2 M=1,L
      C
      C      ESCOGE EL MAYOR ELEMENTO DE LA DIAGONAL Y UBICA SU POSICION
0008      DO 1 LL=1,L
0009      IF(LT(LL).EQ.1)GO TO 1
0010      IF(CDABS(A(LL,LL))-CDABS(T1).LE.0.D0)GO TO 1
0011      T1=A(LL,LL)
0012      K=LL
0013      1  CONTINUE
0014      IF(CDABS(T1).EQ.0.D0)GO TO 100
0015      T1=(0.D0,0.D0)
0016      LT(K)=1
      C
      C      MODIFICA LOS ELEMENTOS FUERA DE LA COLUMNA K Y FILA K
0017      DO 4 I=1,L
0018      IF(I.EQ.K)GO TO 4
0019      DO 3 J=1,L
0020      IF(J.EQ.K)GO TO 3
0021      A(I,J)=A(I,J)-A(I,K)*A(K,J)/A(K,K)
0022      3  CONTINUE
0023      4  CONTINUE
      C
      C      MODIFICA EL ELEMENTO K;K
0024      A(K,K)=-1.D0/A(K,K)
      C
      C      MODIFICA LOS ELEMENTOS DE LA FILA K Y LA COLUMNA K
0025      DO 2 I=1,L
0026      IF(I.EQ.K)GO TO 2
0027      A(I,K)=A(I,K)*A(K,K)
0028      A(K,I)=A(K,I)*A(K,K)
0029      2  CONTINUE
      C
      C      CAMBIA DE SIGNO LA MATRIZ
0030      DO 13 J=1,L
0031      DO 13 K=1,L
0032      A(J,K)=-A(J,K)
0033      13  CONTINUE
0034      JCIM=0
0035      GO TO 21
0036      100 WRITE(3,10)
0037      FORMAT(/////20X,'LA INVERSA DE LA MATRIZ DE VECTORES CARACTERISTI
0038      1COS NO ESTA DEFINIDA',/20X,&0('*'))
0039      JCIM=1
0040      21  CONTINUE
0041      RETURN
0042      END
```

DIAGRAMA DE FLUJO



SUBROUTINA CARACT

El propósito de esta subrutina es el proporcionar las matrices de impedancia y admitancia características, así como la matriz de constantes de propagación.

El método utiliza las ecuaciones determinadas en el anexo N° 4.

$$Z_0 = M \boxed{\gamma_j^{-1}} M^{-1} Z$$

$$Y_0 = YM \boxed{\gamma_j^{-1}} M^{-1}$$

Donde:

Z_0 = Impedancia característica de la línea

Y_0 = Admitancia característica de la línea

M = Matriz de vectores característicos de YZ ó ZY

$\boxed{\gamma_j}$ = Matriz de constantes de propagación, raíz cuadrada de la matriz diagonal de valores característicos

Z = Impedancia serie por unidad de longitud

Y = Admitancia shunt por unidad de longitud

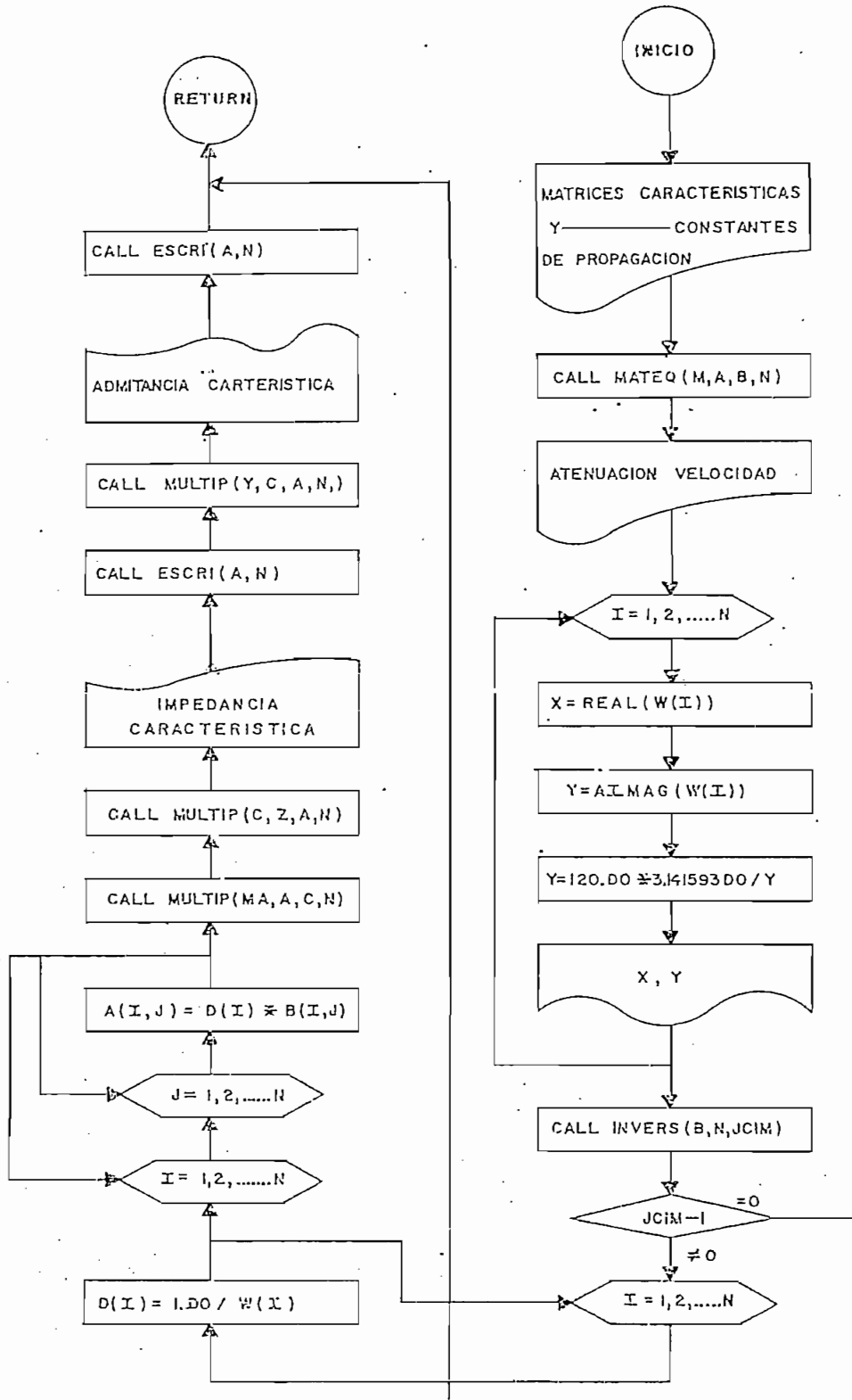
Z y Y = Pueden estar en componentes de secuencia o de fase.

LISTADO FORTRAN

DOS FORTRAN IV 360N-FO-479 3-8

```
0001      SUBROUTINE CARACT(N,JCIM,UNID,JK)
0002      COMPLEX*16 Z,Y,W,MA,A,C,D
0003      DIMENSION A(10,10),D(10)
0004      COMMON W(10),MA(10,10),C(10,10),Z(10,10),Y(10,10)
0005      DOUBLE PRECISION X1,Y1
0006      WRITE(3,1)
0007      1  FORMAT(///20X,'PARAMETROS CARACTERISTICOS DE LA LINEA',/20X,38('*'
0008      1))
      C
      C  ESCRIBE VALORES Y VECTORES CARACTERISTICOS
0009      WRITE(3,2)
0010      2  FORMAT(/20X,'VALORES CARACTERISTICOS')
0011      DO 3 I=1,N
0012      A(1,I)=W(I)**2
0013      3  WRITE(3,12)A(1,I)
0014      12 FORMAT(/20X,2D20.8)
0015      WRITE(3,13)
0016      13 FORMAT(/20X,'VECTORES CARACTERISTICOS')
0017      CALL ESCRI(MA,N)
      C
      C  ESCRIBE LAS CONSTANTES DE PROPAGACION DE LA LINEA (LA FREQ.=60HZ)
0018      WRITE(3,14)
0019      14 FORMAT(/20X,'CONSTANTES DE PROPAGACION')
0020      WRITE(3,4)UNID(JK),UNID(JK)
0021      4  FORMAT(///30X,'ATENUACION',5X,'VELOCIDAD',//25X,'NEPERS POR ',1A4,
0022      *8X,1A4,' POR SEG.')
0023      DO 5 I=1,N
0024      X1=REAL(W(I))
0025      Y1=AIMAG(W(I))
0026      Y1=120.D0*3.141593/Y1
0027      5  WRITE(3,6)X1,Y1
0028      6  FORMAT(/20X,2(D20.8))
      C
      C  CALCULA Y ESCRIBE IMPEDANCIA CARACTERISTICA Y ADMITANCIA CARACTERISTICA
0029      CALL MATEQ(MA,A,N)
0030      CALL INVERS(A,N,JCIM)
0031      IF(JCIM,EQ.1)GO TO 11
0032      DO 7 I=1,N
0033      D(I)=1.D0/W(I)
0034      DO 8 I=1,N
0035      DO 8 J=1,N
0036      A(I,J)=D(I)*A(I,J)
0037      CALL MULTIP(MA,A,C,N)
0038      CALL MULTIP(C,Z,A,N)
0039      WRITE(3,9)
0040      9  FORMAT(///20X,'IMPEDANCIA CARACTERISTICA ',/20X,25('*'))
0041      CALL ESCRI(A,N)
0042      CALL MULTIP(Y,C,A,N)
0043      WRITE(3,10)
0044      10 FORMAT(///20X,'ADMITANCIA CARACTERISTICA ',/20X,25('*'))
0045      CALL ESCRI(A,N)
0046      11 RETURN
0047      END
```

SUBROUTINA CARACT



SUBROUTINA ESCRI

La subrutina tiene como función el imprimir matrices complejas. El método es separar la matriz compleja original en dos matrices reales y se escribe la parte real encima de la imaginaria, o sea la matriz:

$$A = \begin{bmatrix} a_{11} + jb_{11} & a_{12} + jb_{12} & + & \dots\dots \\ a_{21} + jb_{21} & a_{22} + jb_{22} & + & \dots\dots \\ \cdot & & & \\ \cdot & & & \\ \cdot & & & \end{bmatrix}$$

$$C = \begin{bmatrix} a_{11} & a_{12} & \dots \\ a_{21} & a_{22} & \dots \\ \cdot & & \\ \cdot & & \\ \cdot & & \end{bmatrix}$$

$$D = \begin{bmatrix} b_{11} & b_{12} & \dots \\ b_{21} & b_{22} & \dots \\ \cdot & & \\ \cdot & & \\ \cdot & & \end{bmatrix}$$

Imprime en la salida de la siguiente forma:

a₁₁ a₁₂ ...

b₁₁ b₁₂

a₂₁ a₂₂ ...

b₂₁ b₂₂

.

.

.

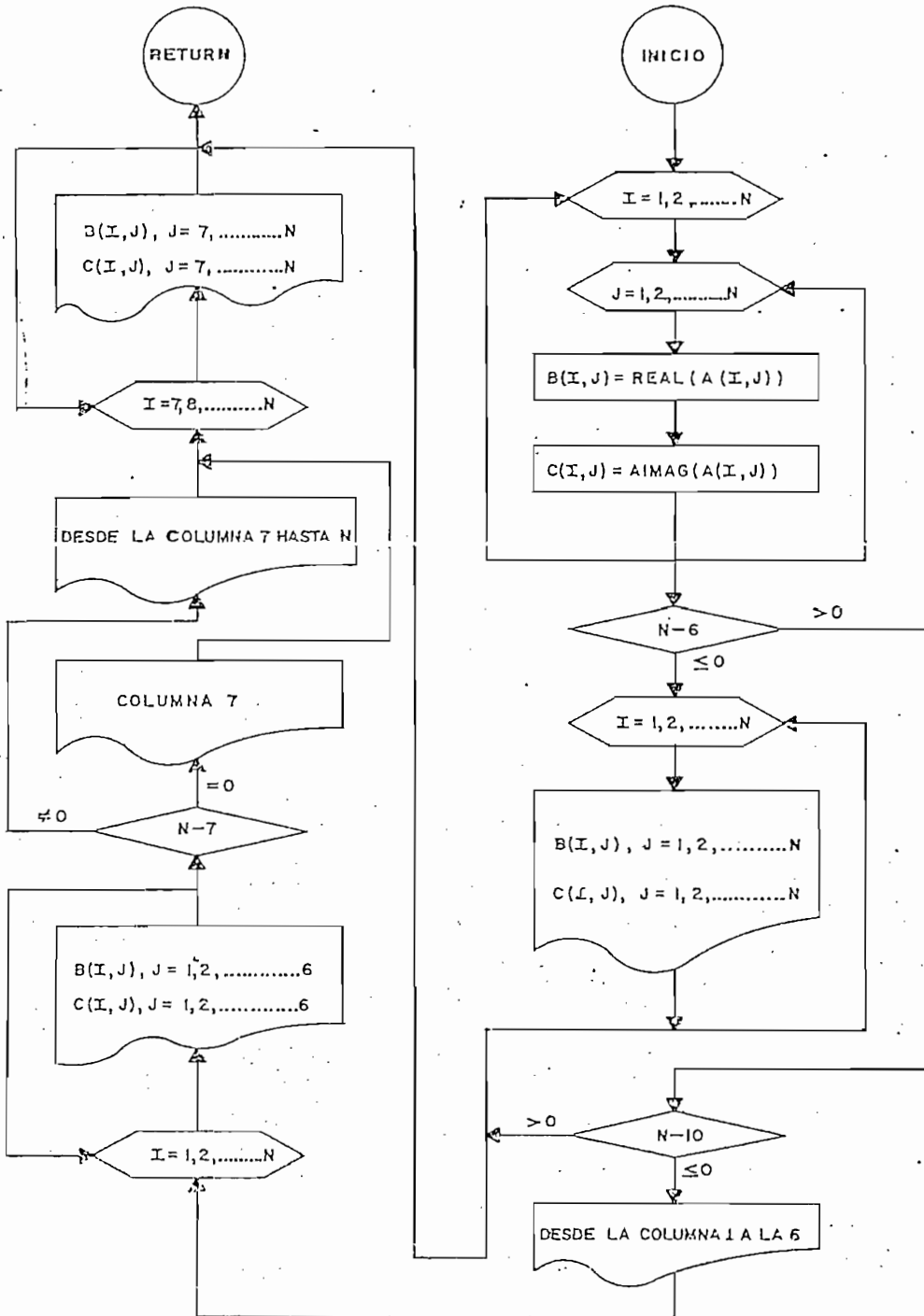
Usa aritmética en doble precisión.

Si el rango de la matriz es mayor que 6, imprime las 6 primeras columnas y luego las demás.

DOS FORTRAN IV 360N-FO-479 3-8

```
0001     SUBROUTINE ESCRI(A,N)
0002     COMPLEX*16 A
0003     DIMENSION A(10,10),B(10,10),C(10,10)
0004     DOUBLE PRECISION B,C
      C
0005     SEPARA DE LA MATRIZ LA PARTE REAL Y LA IMAGINARIA
0006     DO 1 I=1,N
0007     DO 1 J=1,N
0008     1   B(I,J)=REAL(A(I,J))
      C
0009     SEPARA LAS PRIMERAS 6 COLUMNAS PARA ESCRIBIR; CUANDO N MAYOR QUE 6
0010     IF(N-6)2,2,3
0011     WRITE(3,6)
0012     4   WRITE(3,5)(B(I,J),J=1,N)
0013     5   WRITE(3,5)(C(I,J),J=1,N)
0014     5   FORMAT(6D20.8)
0015     6   WRITE(3,6)
0016     6   FORMAT(1H0)
0017     3   GO TO 7
0018     8   IF(N-10)8,8,7
0019     8   WRITE(3,10)
0020     10  FORMAT(/10X,'DESDE LA COLUMNA 1 HATA LA COLUMNA 6')
0021     DO 11 I=1,N
0022     WRITE(3,6)
0023     11  WRITE(3,5)(B(I,J),J=1,6)
0024     11  WRITE(3,5)(C(I,J),J=1,6)
0025     12  WRITE(3,12)
0026     12  FORMAT(1H1)
0027     14  IF(N-7)13,14,13
0028     14  WRITE(3,15)
0029     15  FORMAT(/10X,'COLUMNA 7')
0030     GO TO 16
0031     13  WRITE(3,17)N
0032     17  FORMAT(/10X,'DESDE COLUMNA 7 HATA COLUMNA ',I2)
0033     DO 18 I=1,N
0034     WRITE(3,6)
0035     18  WRITE(3,5)(B(I,J),J=7,N)
0036     18  WRITE(3,5)(C(I,J),J=7,N)
0037     7   WRITE(3,12)
0038     RETURN
      END
```

SUBROUTINA ESCRI



SUBROUTINA COMPON

Por medio de esta subrutina se transforman matrices de impedancia y admitancia de componentes de fase a componentes de secuencia o viceversa.

El método es hallar la matriz de transformación y su inversa y utiliza las siguientes relaciones, T según el anexo N° 2 .

$$Z_{012} = T^{-1} Z_{abc}$$

Despejando Z_{abc}

$$Z_{abc} = T Z_{012} T^{-1}$$

donde;

Z_{012} = matriz impedancia en componentes de secuencia

Z_{abc} = matriz impedancia en componentes de fase

T = matriz de transformación, referencia anexo N° 2...

Y también:

$$Y_{012} = T^{-1} Y_{abc} T$$

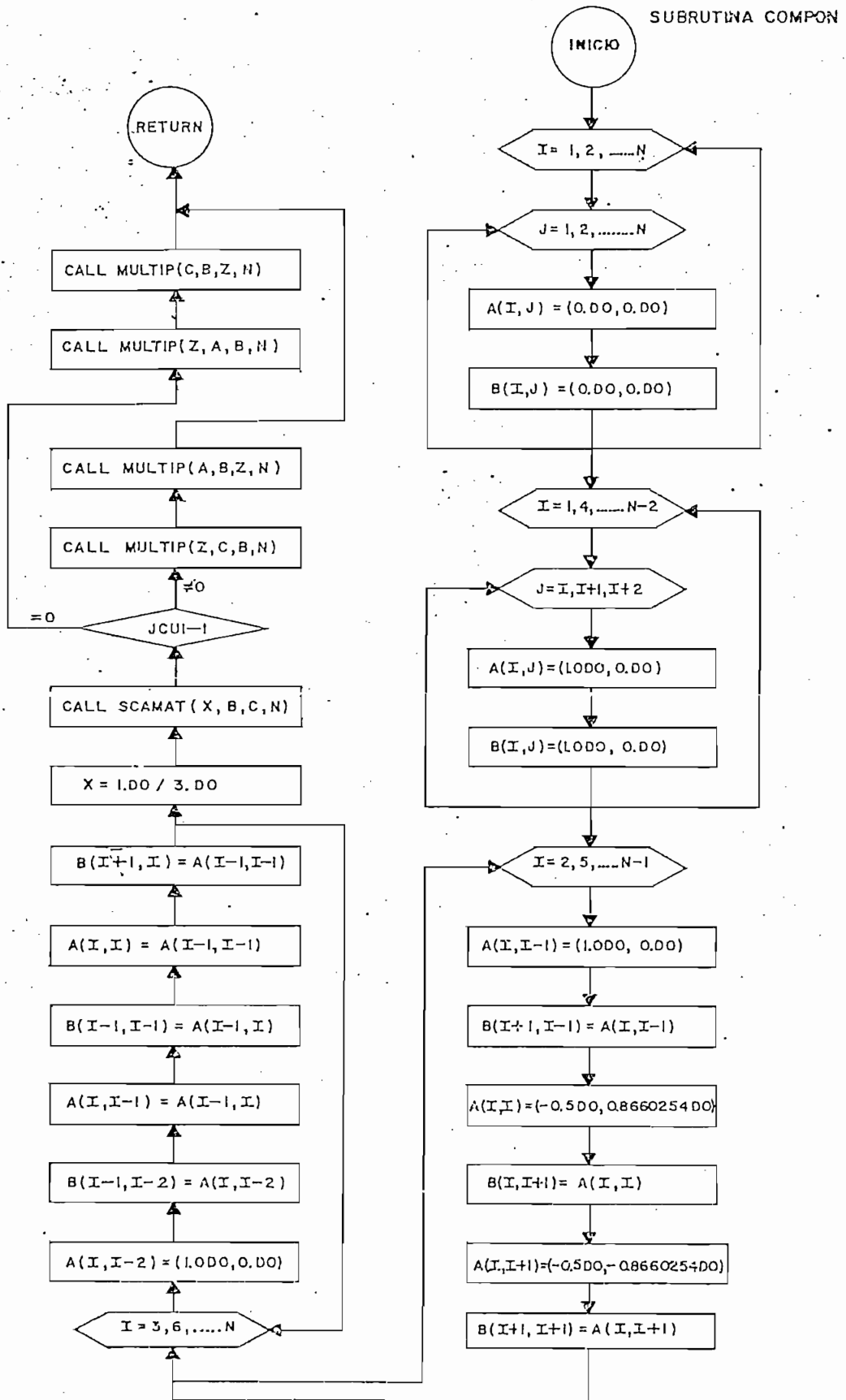
$$Y_{abc} = T Y_{012} T^{-1}$$

DOS FORTRAN IV 360N-FO-479 3-8

```

0001      SUBROUTINE COMCON(Z,N,JCU1,JCU2)
0002      COMPLEX*16 A,B,Z,C
0003      DIMENSION A(10,10),B(10,10),C(10,10),Z(10,10)
0004      DOUBLE PRECISION X
      C
0005      INICIALIZA LA MATRICES A Y B
      DO 1 I=1,N
0006      DO 1 J=1,N
0007      A(I,J)=(0.D0,0.D0)
0008      1 B(I,J)=(0.D0,0.D0)
      C
0009      LA MATRIZ A ES LA DE TRANSFORMACION DE COMPONENTES.Y C SU INVERSA
      N2=N-2
0010      DO 2 I=1,N2,3
0011      I2=I+2
0012      DO 2 J=I,I2
0013      A(I,J)=(1.D0,0.D0)
0014      2 B(I,J)=(1.D0,0.D0)
0015      N1=N-1
0016      DO 3 I=2,N1,3
0017      A(I,I-1)=(1.D0,0.D0)
0018      B(I+1,I-1)=(1.D0,0.D0)
0019      A(I,I)=(-0.5D0,-0.8660254D0)
0020      B(I+1,I)=(-0.5D0,-0.8660254D0)
0021      A(I,I+1)=(-0.5D0,0.8660254D0)
0022      3 B(I+1,I+1)=(-0.5D0,0.8660254D0)
0023      DO 4 I=3,N,3
0024      A(I,I-2)=(1.D0,0.D0)
0025      B(I-1,I-2)=(1.D0,0.D0)
0026      A(I,I-1)=A(I-1,I)
0027      B(I-1,I-1)=A(I-1,I)
0028      A(I,I)=A(I-1,I-1)
0029      4 B(I-1,I)=A(I-1,I-1)
0030      X=1.D0/3.D0
0031      CALL SCAMAT(X,B,C,N)
0032      IF(JCU1.EQ.1)GO TO 5
      C
0033      CALCULA Z DE SECUENCIA COMO ZSEC=T*ZFASE*T-1
0034      CALL MULTIP(Z,C,B,N)
0035      CALL MULTIP(A,B,Z,N)
0036      5 GO TO 6
      C
0037      CALCULA Z DE FASE COMO ZFASE=T-1*ZSEC*T
0038      CALL MULTIP(Z,A,B,N)
0039      CALL MULTIP(C,B,Z,N)
0040      6 CONTINUE
0041      RETURN
      END

```



SUBROUTINA MULTIP

La función de esta subrutina es realizar el producto de matrices complejas,

El método utiliza la siguiente fórmula:

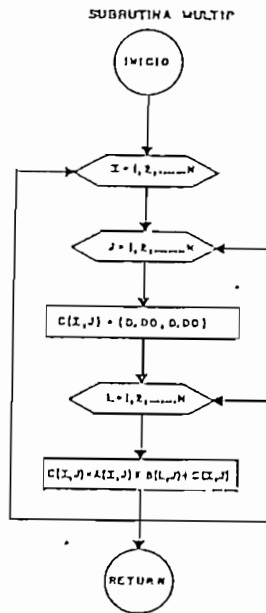
$$c_{ij} = \sum_{l=1}^n a_{il} * b_{lj} \quad i= 1, 2, \dots n; j= 1, 2, \dots n$$

LISTADO FORTRAN

DOS FORTRAN IV 360N-FO-479 3-8

```
0001      SUBROUTINE MULTIP(A,B,C,N)
0002      COMPLEX*16 A,B,C
0003      DIMENSION A(10,10),B(10,10),C(10,10)
0004      DO 1 I=1,N
0005      DO 1 J=1,N
0006      C(I,J)=(0.D0,0.D0)
0007      DO 1 L=1,N
0008      1 C(I,J)=A(I,L)*B(L,J)+C(I,J)
0009      RETURN
0010      END
```

DIAGRAMA DE FLUJO



SUBROUTINA MATEQ

Esta subrutina tiene por objeto igualar dos matrices complejas. El método es aplicar la fórmula:

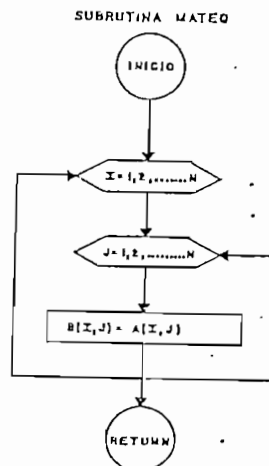
$$b_{ij} = a_{ij} \quad i = 1, 2, \dots, n; \quad j = 1, 2, \dots, n$$

LISTADO FORTRAN

DOS FORTRAN IV 360N-FO-479 3-8

```
0001      SUBROUTINE MATEQ(A,B,N)
0002      COMPLEX*16 A,B
0003      DIMENSION A(10,10),B(10,10)
0004      DO 11 I=1,N
0005      DO 11 J=1,N
0006 11     B(I,J)=A(I,J)
0007      RETURN
0008      END
```

DIAGRAMA DE FLUJO



SUBROUTINA MATVEC

MATVEC calcula la multiplicación de una matriz compleja con un vector mediante aritmética en doble precisión.

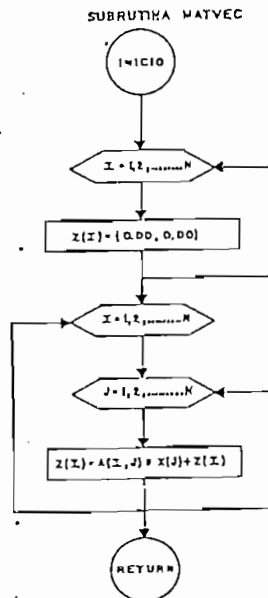
$$z_i = \sum_{j=1}^n a_{ij} * x_j \quad i= 1, 2, \dots n$$

LISTADO FORTRAN

DOS FORTRAN IV 360N-FD-479 3-8

```
0001 SUBROUTINE MATVEC(A,X,Z,N)
0002 COMPLEX*16 A,X,Z
0003 DIMENSION A(10,10),X(10),Z(10)
0004 DO 5 I=1,N
0005   5 Z(I)=(0.D0,0.D0)
0006   DO 6 I=1,N
0007     DO 6 J=1,N
0008     6 Z(I)=A(I,J)*X(J)+Z(I)
0009   RETURN
0010 END
```

DIAGRAMA DE FLUJO



SUBROUTINA SCAMAT

Mediante esta subrutina se multiplica un escalar complejo por una matriz compleja.

Utiliza la siguiente fórmula:

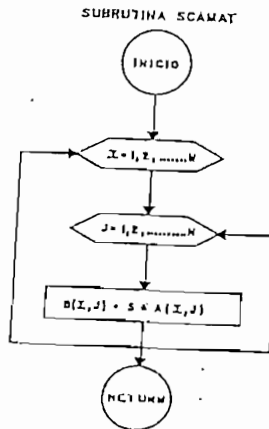
$$b_{ij} = s * a_{ij}$$

LISTADO FORTRAN

- DOS FORTRAN IV 360N-FO-479 3-8

```
0001      SUBROUTINE SCAMAT(S,A,B,N)
0002      COMPLEX*16 S,A,B
0003      DIMENSION A(10,10),B(10,10)
0004      DO 8 I=1,N
0005      DO 8 J=1,N
0006      8   B(I,J)=S*A(I,J)
0007      RETURN
0008      END
```

DIAGRAMA DE FLUJO



SUBROUTINA VECLN

Mediante esta subrutina se halla el módulo de un vector n dimensional,

La subrutina emplea la siguiente fórmula:

$$\bar{x} = \sqrt{x_1^2 + x_2^2 + \dots + x_n^2} = s$$

donde:

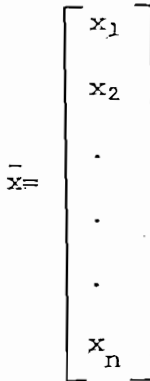
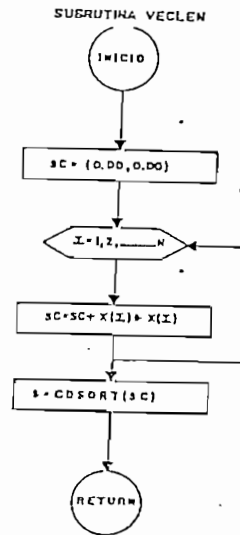


DIAGRAMA DE FLUJO



LISTADO FORTRAN

DOS FORTRAN IV 360N-FO-479 3-8

```

0001      SUBROUTINE VECLN(X,S,N)
0002      COMPLEX*16 X,S,SC
0003      DIMENSION X(10)
0004      SC={0.00,0.00}
0005      DO 12 I=1,N
0006      12 SC=SC+X(I)*X(I)
0007      S=CDSQRT(SC)
0008      RETURN
0009      END
  
```

2.3. MANUAL DE USO DEL PROGRAMA

2.3.1. Propósito del Programa

2.3.2. Descripción del Programa

2.3.3. Restricciones, Modificaciones

2.3.4. Curva Estimativa del tiempo de Computación

2.3.5. Preparación de Datos, Aplicación caso de Prueba

2.3.6. Salida

2.3. MANUAL DE USO DEL PROGRAMA

2.3.1. Propósito del Programa

"Cálculo de los Equivalentes PI, T y Parámetros Característicos de una Línea de Transmisión", determina los parámetros de los modelos PI y T de una línea, y además mediante instrucción previa está en capacidad de hallar los parámetros característicos de una línea, como son valores característicos de una línea, vectores característicos, impedancia y admitancia características y constantes de propagación.

2.3.2. Descripción del Programa

El programa está escrito para un computador que acepte lenguaje FORTRAN IV, usando aritmética compleja en doble precisión.

Este diseñado para aceptar las matrices de datos Z, Y - en ohms y mhos por milla o kilómetro, dependiendo de ello la longitud (XL), deberá estar dado en millas o kilómetros, con el fin de que haya consistencia de datos.

El programa consiste de un programa principal y once (11) subrutinas.

../..

1. PROGRAMA PRINCIPAL.- Maneja toda entrada de datos y controla el flujo lógico del problema llamando a las subrutinas en orden apropiado.
2. SUBROUTINA VACVEC.- Calcula los valores y vectores característicos de matrices complejas.
3. SUBROUTINA EQPIYT.- Forma las matrices de los equivalentes.
4. SUBROUTINA INVERS.- Halla la inversa de una matriz compleja.
5. SUBROUTINA CARACT.- Forma las matrices características y escribe los valores y vectores característicos.
6. SUBROUTINA ESCRI.- Escribe en la salida matrices complejas.
7. SUBROUTINA COMPON.- Transforma matrices dadas en componentes de fase a componentes de secuencia o viceversa.

8. SUBROUTINA MULTIP.- Multiplica dos matrices complejas cuadradas.
9. SUBROUTINA MATEQ.- Iguala dos matrices complejas cuadradas.
10. SUBROUTINA MATVEC.- Multiplica una matriz cuadrada de orden n por un vector del mismo grado.
11. SUBROUTINA SCAMAT.- Multiplica un escalar por una matriz compleja cuadrada.
12. SUBROUTINA VECLLEN.- Halla el módulo de un vector complejo de orden n.

2.3.3. Restricciones

1. $N \leq 10$
2. Frecuencia = 60 Hz.
3. La permeabilidad ϵ y permitividad del medio en que trabaja la línea es aproximadamente igual a los del espacio libre (esto es verdadero para líneas de transmisión aéreas)

4. La matriz conteniendo los vectores característicos de Y Z puede ser no singular, si esto ocurre el programa escribe el siguiente mensaje "La matriz de vectores característicos no está definida" y para.

- Modificaciones:

Para condiciones no satisfechas por los numerales 1, 2 y 3 se pueden realizar las siguientes modificaciones al programa.

1. Incremento de la dimensión.- Este requerimiento se consigue cambiando al orden deseado todas las instrucciones DIMENSION y COMMON, usadas en el programa, sin embargo, la subrutina ESCRI debe ser ampliada.
2. Cambio de la frecuencia, permeabilidad o permitividad. En el Programa Principal se tiene:

$$U = -\omega^2 U \epsilon$$

Donde:

$$\omega = 2\pi f \quad (1/\text{seg})$$

$$U = 4\pi \times 10^{-17} \quad (\text{Henry/m})$$

$$\epsilon = 8.85 \times 10^{-12} \quad (\text{Farad/m})$$

Si hay cambios de cualquiera de los parámetros, de-

berá calcularse los valores de γ con estas modificaciones.

2.3.4. Curva Estimativa del Tiempo de Computación

El tiempo de computación dependerá, además, del rango de las matrices, del factor de convergencia usado en la subrutina VACVEC (1×10^{-7}), así:

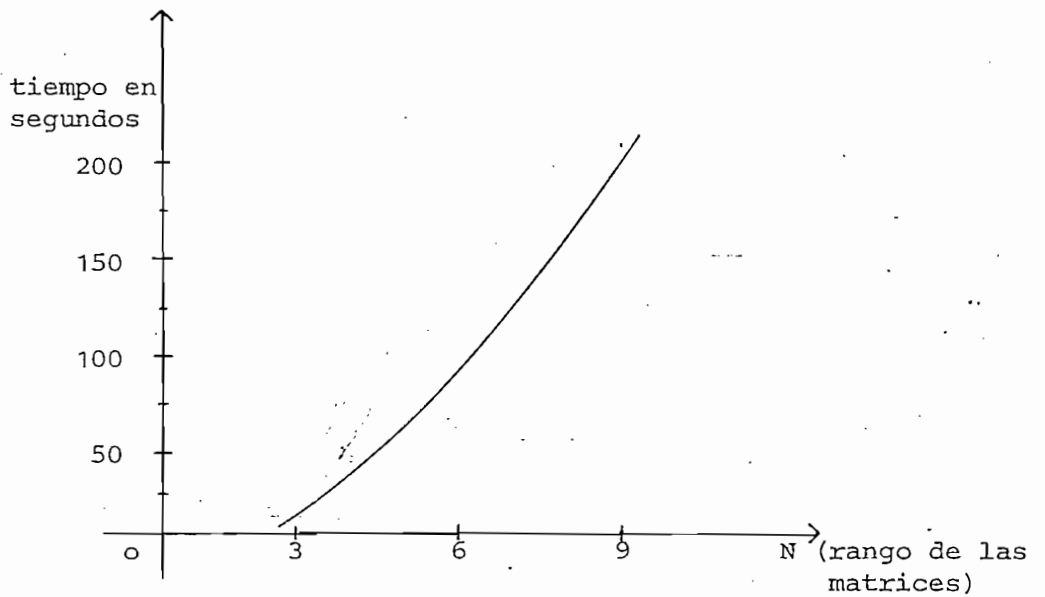


FIGURA 1.6. TIEMPO ESTIMADO DE COMPUTACION

2.3.5. Preparación de Datos, Aplicación Caso de Prueba

En el programa se tiene cuatro tipos de tarjetas de datos:

1. Tarjetas de información de número de problemas a correrse:

..../..

1. Una tarjeta indica el número de problemas que se corren (NP), el dato deberá ser perforado en las columnas 9 y 10 (ver hoja de codificación)

2. Tarjetas conteniendo indicadores:
 2. Con el fin de escoger los cálculos requeridos se introducirán los siguientes datos, en una tarjeta:

N Variable entera que indicará el orden de las matrices, debe ser perforada en las columnas 4 y 5.

XL Variable real que indica la longitud de la línea, debe ser perforada de la columna 6 a la 15.

JCI1 Variable entera que ordenará que se realice o no el cálculo de las matrices de impedancia y admitancia características, debe ser perforada en la columna 20.

JCI1 = 1 realiza el cálculo de Z_0 y Y_0

JCI1 = 0 no lo realiza.

.../...

JCI2 Variable entera que ordena el cálculo del equivalente T, debe ser perforada en la columna 25.

JCI2 = 1 calcula el equivalente T

JCI2 = 0 no lo calcula.

NTC Variable entera que indicará el número de tarjetas correspondientes a títulos, deberá perforarse en la columna 30.

JCU Variable entera que indica las unidades en que están dadas Y y Z, perforada en la columna 35.

JCU = 1 mhos/Klm., ohms/Klm.

JCU = 0 mhos/Mill., ohms/Mill.

JCU1 Variable entera que indicará las componentes en las que están las matrices Y y Z, debe perforarse en la columna 40.

JCU1 = 1 componentes de fase

JCU1 = 0 componentes de secuencia

JCU2 Variable entera que indicará las componentes en que se requieren los resultados, debe perforarse en la columna 45.

../..

JCU2 = 1 componentes de fase

JCU2 = 0 componentes de secuencia

Ver hoja de codificación.

3. Tarjetas de Títulos de cada Línea:

3. El número de tarjetas de títulos vendrá dado por NTC. Los títulos podrán ser escritos en cualquier parte de la tarjeta. Ver hoja de codificación.

4. Impedancia y Admitancia por Unidad de Longitud:

4. La Impedancia y Admitancia por unidad de longitud, son matrices complejas cuadradas, se introducirán escribiendo primeramente las componentes de Y, comenzando por la parte real y luego la compleja del primer elemento de la primera fila, luego el segundo elemento hasta acabar la fila, después, comenzando en la siguiente tarjeta se introducirá de la misma forma la segunda fila, y así sucesivamente. Cada tarjeta podrá contener cuatro números, debido a que el formato de lectura es: 4D20.8 (ver hoja de codificación):

-106-
 ESCUELA POLITECNICA NACIONAL

DEPARTAMENTO DE SISTEMAS DE POTENCIA. PAGINA 1 DE 4
 PROGRAMAADO POR EDISON VALLEJO
 GRAMA EQUIVALENTES PIY Y PARAM. CARACT. VERIFICADO POR _____ FECHA 30 AGOSTO 1971
 A DE COODIFACION FORTRAN IV

| | | | | | | | |
|----|--------|----|-----------|------|----|-----------|---------|
| 0. | 1 | 0. | 118045723 | D-03 | 0. | 101291210 | 411D-03 |
| 0. | 200.00 | 0. | 46402673 | D-03 | 0. | 250923114 | D-03 |
| 0. | | 0. | 18576779 | D-04 | 0. | 112175810 | D-04 |
| 0. | | 0. | 72335654 | D-05 | 0. | 110512042 | D-04 |
| 0. | | 0. | 145961299 | D-04 | | | |
| 0. | | 0. | 29191591 | D-02 | 0. | 118233733 | D-01 |
| 0. | | 0. | 27615823 | D-02 | 0. | 46340513 | D-04 |
| 0. | | 0. | 37522779 | D-04 | 0. | 12552285 | D-04 |
| 0. | | 0. | 11801914 | D-04 | 0. | 116011524 | D-04 |
| 0. | | 0. | 25020906 | D-04 | | | |
| 0. | | 0. | 96402673 | D-03 | 0. | 128615823 | D-02 |
| 0. | | 0. | 118230168 | D-01 | 0. | 131461657 | D-03 |
| 0. | | 0. | 11348919 | D-03 | 0. | 77870604 | D-04 |
| 0. | | 0. | 291645076 | D-04 | 0. | 37376932 | D-04 |
| 0. | | 0. | 57495252 | D-04 | | | |
| 0. | | 0. | 25092314 | D-04 | 0. | 46340513 | D-04 |
| 0. | | 0. | 11348919 | D-03 | 0. | 92317120 | D-03 |

ESCUELA POLITECNICA NACIONAL

DEPARTAMENTO DE SISTEMAS DE POTENCIA PAGINA 2 DE 4
 PROGRAMAADO POR EDISON VALLEJO
 GRAMA EQUIVALENTES PIY Y PARAM. CARACT. VERIFICADO POR _____ FECHA 30 AGOSTO 81
 A DE COODIFACION FORTRAN IV

| | | | | | | | |
|----|--|----|----------|------|----|----------|------|
| 0. | | 0. | 17316823 | D-03 | 0. | 7225304 | D-04 |
| 0. | | 0. | 39015154 | D-04 | 0. | 52547025 | D-04 |
| 0. | | 0. | 80517240 | D-04 | | | |
| 0. | | 0. | 18576779 | D-04 | 0. | 37522879 | D-04 |
| 0. | | 0. | 11348919 | D-03 | 0. | 17316823 | D-03 |
| 0. | | 0. | 39189154 | D-03 | 0. | 14884089 | D-03 |
| 0. | | 0. | 48886009 | D-04 | 0. | 47363177 | D-04 |
| 0. | | 0. | 52339470 | D-04 | | | |
| 0. | | 0. | 12173880 | D-04 | 0. | 25528750 | D-04 |
| 0. | | 0. | 77870604 | D-04 | 0. | 72254047 | D-04 |
| 0. | | 0. | 16984089 | D-03 | 0. | 93158700 | D-03 |
| 0. | | 0. | 72376268 | D-04 | 0. | 48936602 | D-04 |
| 0. | | 0. | 38934685 | D-04 | | | |
| 0. | | 0. | 72335654 | D-05 | 0. | 11801914 | D-04 |
| 0. | | 0. | 29645076 | D-04 | 0. | 39015154 | D-04 |
| 0. | | 0. | 48886009 | D-04 | 0. | 72776268 | D-04 |
| 0. | | 0. | 93097971 | D-03 | 0. | 16975875 | D-03 |
| 0. | | 0. | 73294520 | D-04 | | | |
| 0. | | 0. | 10520422 | D-04 | 0. | 16011514 | D-04 |
| 0. | | 0. | 37386992 | D-04 | 0. | 52547025 | D-04 |
| 0. | | 0. | 47863177 | D-04 | 0. | 48936602 | D-04 |
| 0. | | 0. | 16975875 | D-03 | 0. | 94046725 | D-03 |
| 0. | | 0. | 17473549 | D-03 | | | |
| 0. | | 0. | 16596899 | D-04 | 0. | 25020806 | D-04 |

ESCUELA POLITECNICA NACIONAL

DEPARTAMENTO DE SISTEMAS DE POTENCIA
PROGRAMADO POR EDISON VALLEJO
VERIFICADO POR

PAGINA 3 DE 4
FECHA 30 AGOSTO 1981

HOJA DE CODIFICACION FORTRAN IV
PROGRAMA EQUIVALENTES TILY Y PARAM. CARACT.

Table with columns 1-78 and rows 1-30. Each row contains a sequence of numbers and letters (e.g., 0., 0.57495252D-04) representing Fortran IV code. The table is organized into three columns of 26 columns each.

ESCUELA POLITECNICA NACIONAL

DEPARTAMENTO DE SISTEMAS DE POTENCIA
PROGRAMADO POR EDISON VALLEJO
VERIFICADO POR

PAGINA 4 DE 4
FECHA 30 AGOSTO 1981

HOJA DE CODIFICACION FORTRAN IV
PROGRAMA EQUIVALENTES PEYT Y PARAM. CARACT.

Table with columns 1-78 and rows 1-30. Each row contains a sequence of numbers and letters (e.g., 0.19349116D-03) representing Fortran IV code. The table is organized into three columns of 26 columns each.

LA MATRIZ IMPEDANCIA SERIE PORHILL

| DESDE COLUMNA 1 | HASTA COLUMNA 6 | DESDE COLUMNA 7 | HASTA COLUMNA 9 |
|-----------------|-----------------|-----------------|-----------------|
| 0.836700783-04 | 0.655489420-04 | 0.625723130-04 | 0.200244190-03 |
| 0.314357690-03 | 0.110846220-03 | 0.785283770-04 | 0.185054990-03 |
| 0.655489420-04 | 0.837471740-04 | 0.666986020-04 | 0.200244190-03 |
| 0.110846220-03 | 0.3097717610-03 | 0.1066873650-03 | 0.185054990-03 |
| 0.625723130-04 | 0.1666936020-04 | 0.861913560-04 | 0.200244190-03 |
| 0.785283770-04 | 0.1066873650-03 | 0.306282430-03 | 0.185054990-03 |
| 0.200244190-03 | 0.210463420-03 | 0.221183230-03 | 0.200244190-03 |
| 0.185054990-03 | 0.215185430-03 | 0.265941020-03 | 0.185054990-03 |
| 0.197481150-03 | 0.206880840-03 | 0.216176880-03 | 0.197481150-03 |
| 0.195975420-03 | 0.2226784670-03 | 0.277717600-03 | 0.195975420-03 |
| 0.194204650-03 | 0.202888990-03 | 0.211208100-03 | 0.194204650-03 |
| 0.199408960-03 | 0.228466830-03 | 0.274927360-03 | 0.199408960-03 |
| 0.189001160-03 | 0.197241420-03 | 0.205537570-03 | 0.189001160-03 |
| 0.183025670-03 | 0.206354600-03 | 0.243365990-03 | 0.183025670-03 |
| 0.190824950-03 | 0.199578670-03 | 0.299740560-03 | 0.190824950-03 |
| 0.176093500-03 | 0.199229460-03 | 0.236679550-03 | 0.176093500-03 |
| 0.194398980-03 | 0.203962930-03 | 0.214404540-03 | 0.194398980-03 |
| 0.168736140-03 | 0.1922273760-03 | 0.230765970-03 | 0.168736140-03 |
| 0.189001160-03 | 0.190824950-03 | 0.194398980-03 | 0.189001160-03 |
| 0.183025670-03 | 0.176093500-03 | 0.168736140-03 | 0.183025670-03 |
| 0.197241420-03 | 0.199578670-03 | 0.203962930-03 | 0.197241420-03 |
| 0.206354600-03 | 0.199229460-03 | 0.1922273760-03 | 0.206354600-03 |
| 0.205537570-03 | 0.2087740560-03 | 0.214404540-03 | 0.205537570-03 |
| 0.243365990-03 | 0.238678550-03 | 0.230765970-03 | 0.243365990-03 |
| 0.818791550-03 | 0.846623090-03 | 0.896692220-03 | 0.818791550-03 |
| 0.163171070-02 | 0.168545780-02 | 0.174323960-02 | 0.163171070-02 |
| 0.783991530-03 | 0.808536770-03 | 0.846950100-03 | 0.783991530-03 |
| 0.177297250-02 | 0.173678110-02 | 0.168142510-02 | 0.177297250-02 |
| 0.759391350-03 | 0.781990040-03 | 0.817472120-03 | 0.759391350-03 |
| 0.193090150-02 | 0.177922940-02 | 0.163393880-02 | 0.193090150-02 |
| 0.153142070-02 | 0.777936540-03 | 0.814820690-03 | 0.153142070-02 |
| 0.627266990-02 | 0.236902620-02 | 0.188735730-02 | 0.627266990-02 |
| 0.777936540-03 | 0.158136150-02 | 0.841995260-03 | 0.777936540-03 |
| 0.236902620-02 | 0.620365520-02 | 0.227615380-02 | 0.236902620-02 |
| 0.814820690-03 | 0.841995260-03 | 0.166875400-02 | 0.814820690-03 |
| 0.188735730-02 | 0.227615380-02 | 0.808427820-02 | 0.188735730-02 |

LA MATRIZ ADKITANCIA SHUNT PORWILL

DESDE COLUMNA 1 HASTA COLUMNA 6

| | | | | | |
|------------------|-----------------|-----------------|-----------------|-----------------|-----------------|
| 0.0 | 0.0 | 0.0 | 0.0 | 0.0 | 0.0 |
| 0.18045720J-01 | -0.29191340D-02 | -0.86402660D-03 | -0.25092304D-04 | -0.18576771D-04 | -0.12175879D-04 |
| 0.0 | 0.0 | 0.0 | 0.0 | 0.0 | 0.0 |
| -0.29191340D-02 | 0.18239733D-01 | -0.28615822D-02 | -0.46340574D-04 | -0.37522870D-04 | -0.25528498D-04 |
| 0.0 | 0.0 | 0.0 | 0.0 | 0.0 | 0.0 |
| -0.56402660D-03 | -0.28615822D-02 | 0.18230166D-01 | -0.13146656D-03 | -0.11340918D-03 | -0.16884088D-03 |
| 0.0 | 0.0 | 0.0 | 0.0 | 0.0 | 0.0 |
| -0.25092304D-04 | -0.46340574D-04 | 0.13146656D-03 | 0.92317164D-03 | -0.17316823D-03 | 0.72259034D-04 |
| 0.0 | 0.0 | 0.0 | 0.0 | 0.0 | 0.0 |
| -0.18576771D-04 | -0.37522870D-04 | -0.11340918D-03 | -0.17316823D-03 | 0.94184740D-03 | -0.16884088D-03 |
| 0.0 | 0.0 | 0.0 | 0.0 | 0.0 | 0.0 |
| -0.12175879J-04 | -0.25528498D-04 | -0.77870602D-04 | -0.72259034D-04 | -0.16884088D-03 | 0.93158684D-03 |
| 0.0 | 0.0 | 0.0 | 0.0 | 0.0 | 0.0 |
| -0.722335652D-05 | -0.11801913D-04 | -0.29645974D-04 | -0.39015140D-04 | -0.48885995D-04 | -0.72776267D-04 |
| 0.0 | 0.0 | 0.0 | 0.0 | 0.0 | 0.0 |
| -0.10520422D-04 | -0.16011510D-04 | -0.37386994D-04 | -0.52547024D-04 | -0.47863170D-04 | -0.46536592D-04 |
| 0.0 | 0.0 | 0.0 | 0.0 | 0.0 | 0.0 |
| -0.16596896U-04 | -0.25020796D-04 | -0.57495243D-04 | -0.80517231D-04 | -0.52339456D-04 | -0.38934682D-04 |

DESDE COLUMNA 7 HASTA COLUMNA 9

| | | | | | |
|------------------|-----------------|-----------------|-----------------|-----------------|-----------------|
| 0.0 | 0.0 | 0.0 | 0.0 | 0.0 | 0.0 |
| -0.722335652D-05 | -0.10520422D-04 | -0.16596896D-04 | -0.25020796D-04 | -0.38934682D-04 | -0.46536592D-04 |
| 0.0 | 0.0 | 0.0 | 0.0 | 0.0 | 0.0 |
| -0.11801913D-04 | -0.16011510D-04 | -0.25020796D-04 | -0.39015140D-04 | -0.52339456D-04 | -0.72776267D-04 |
| 0.0 | 0.0 | 0.0 | 0.0 | 0.0 | 0.0 |
| -0.29645074D-04 | -0.37386984D-04 | -0.57495243D-04 | -0.80517231D-04 | -0.94184740D-03 | -0.16884088D-03 |
| 0.0 | 0.0 | 0.0 | 0.0 | 0.0 | 0.0 |
| -0.39015140D-04 | -0.52547024D-04 | -0.80517231D-04 | -0.94184740D-03 | -0.16884088D-03 | 0.93158684D-03 |
| 0.0 | 0.0 | 0.0 | 0.0 | 0.0 | 0.0 |
| -0.48885995D-04 | -0.47863170D-04 | -0.52339456D-04 | -0.73294519D-04 | -0.17473548D-03 | -0.2141470D-03 |
| 0.0 | 0.0 | 0.0 | 0.0 | 0.0 | 0.0 |
| -0.722776267J-04 | -0.48936592D-04 | -0.38934682D-04 | -0.73294519D-04 | -0.17473548D-03 | -0.2141470D-03 |
| 0.0 | 0.0 | 0.0 | 0.0 | 0.0 | 0.0 |
| 0.93057962J-03 | -0.16975565D-03 | -0.73294519D-04 | -0.17473548D-03 | -0.2141470D-03 | -0.2141470D-03 |
| 0.0 | 0.0 | 0.0 | 0.0 | 0.0 | 0.0 |
| -0.16975565J-03 | 0.94046723D-03 | -0.17473548D-03 | -0.2141470D-03 | -0.2141470D-03 | -0.2141470D-03 |
| 0.0 | 0.0 | 0.0 | 0.0 | 0.0 | 0.0 |
| -0.73294519D-04 | -0.17473548D-03 | -0.2141470D-03 | -0.2141470D-03 | -0.2141470D-03 | -0.2141470D-03 |

RESULTADOS EN COMPONENTES DESEC.

PARAMETROS CARACTERISTICOS DE LA LINEA

VALORES CARACTERISTICOS

| | |
|-----------------|----------------|
| -0.91404013D-05 | 0.47617250D-05 |
| -0.52899272D-05 | 0.69550884D-06 |
| -0.42461561D-05 | 0.89426269D-06 |
| -0.42446736D-05 | 0.87963459D-06 |
| -0.42387886D-05 | 0.80762395D-06 |
| -0.43169256D-05 | 0.77574091D-06 |
| -0.42625401D-05 | 0.63014457D-06 |
| -0.43517210D-05 | 0.41968989D-06 |
| -0.41445346D-05 | 0.36603651D-06 |

VECTORES CARACTERISTICOS

DESDE COLUMNA 1 HASTA COLUMNA 6

| | | | | | |
|-----------------|-----------------|-----------------|-----------------|-----------------|-----------------|
| 0.587770220 00 | 0.756309330 00 | -0.593392220-02 | 0.431067980-01 | -0.209679870-02 | 0.949282480-01 |
| -0.905222990-02 | 0.182156750-02 | -0.121637690-01 | -0.442272430-01 | -0.205728260-01 | 0.395191720-01 |
| 0.521652270 00 | 0.526774700 00 | -0.995390460-02 | 0.126422010-01 | -0.100674070-01 | 0.758568050-01 |
| -0.221146480-02 | 0.111303810-01 | -0.213637950-02 | -0.466942600-01 | -0.595128160-02 | -0.247567150-02 |
| 0.585782650 00 | 0.350227580 00 | -0.154300820-01 | -0.274000130-01 | -0.101572090-01 | 0.677824160-01 |
| 0.165776580-02 | -0.112452400-01 | 0.110307260-01 | -0.561757460-01 | 0.933759290-02 | -0.912296770-01 |
| 0.777271920-01 | -0.490195940-01 | 0.357450540 00 | 0.289009810 00 | -0.500969110 00 | -0.519399540 00 |
| 0.164567310-02 | 0.129441990-01 | 0.225540330-01 | 0.260120970-01 | 0.138599290-02 | 0.121673230-01 |
| 0.712878700-01 | -0.499007330-01 | -0.523097250-02 | -0.566201630 00 | -0.957059490-02 | -0.151147650-02 |
| 0.951521470-02 | -0.139300770-02 | -0.103340340-01 | 0.162364470-01 | 0.312480400-01 | -0.283142170-01 |
| 0.931136010-01 | -0.714807510-01 | 0.345426980 00 | 0.289155240 00 | 0.440530840 00 | 0.482339890 00 |
| 0.175180920-01 | 0.678214320-02 | 0.209871720-01 | -0.169183020-01 | 0.289198820-02 | 0.138089280-01 |
| 0.931911470-01 | -0.957801940-01 | -0.330797730 00 | 0.283919660 00 | -0.502725660 00 | -0.465132120 00 |
| 0.173562360-01 | 0.104586480-01 | 0.347791320-02 | -0.108064860-01 | -0.202869510-01 | -0.491184740-02 |
| 0.728194710-01 | -0.713860730-01 | 0.502295910 00 | -0.597839950 00 | 0.207905470-01 | -0.106637140-01 |
| 0.964355840-02 | 0.143109960-02 | -0.333383660-01 | -0.202541560-03 | 0.951766770-02 | -0.532624760-01 |
| 0.797059340-01 | -0.688031910-01 | -0.343381820 00 | 0.298021830 00 | -0.502722280 00 | -0.525864240 00 |
| 0.193839870-02 | 0.166888280-01 | 0.731753380-03 | 0.349497090-01 | -0.215268200-01 | -0.751466590-02 |

DESDE COLUMNA 7 HASTA COLUMNA 9

| | | | | |
|-----------------|------------------|------------------|-----------------|-----------------|
| 0.281863100-01 | -0.639182030 00 | 0.692639590 00 | 0.299021830 00 | -0.525864240 00 |
| 0.344305610 00 | -0.264540920-02 | -0.142607330 00. | 0.349497090-01 | -0.751466590-02 |
| 0.189874110 00 | -0.680256680-01 | -0.140455150 01 | 0.266618250 00 | 0.731753380-03 |
| 0.270595100-01 | -0.293483590-01 | 0.266618250 00 | 0.720399620 00 | 0.359856390-01 |
| 0.497953530 00 | -0.765373170 00 | -0.720399620 00 | -0.359856390-01 | 0.720399620 00 |
| -0.386193220 00 | -0.107463670-01 | -0.359856390-01 | 0.720399620 00 | 0.720399620 00 |
| -0.380032180 00 | -0.334735400-01 | -0.854501720-01 | 0.854501720-01 | 0.854501720-01 |
| -0.674772880-01 | -0.163012040-01 | -0.413506180 00 | 0.413506180 00 | 0.413506180 00 |
| -0.520795110 00 | -0.435645510-01 | 0.233625950 00 | 0.233625950 00 | 0.233625950 00 |
| -0.126473490 00 | 0.091248770-01 | 0.7788845310 00 | 0.7788845310 00 | 0.7788845310 00 |
| -0.401588440 00 | -0.303004050-01 | -0.143888470 00 | -0.143888470 00 | -0.143888470 00 |
| -0.138404500-02 | -0.2133005430-01 | -0.395349030 00 | -0.395349030 00 | -0.395349030 00 |
| 0.362226270 00 | -0.404716460-01 | -0.118037270 00 | -0.118037270 00 | -0.118037270 00 |
| 0.091038540-01 | -0.440007970-01 | -0.405249770 00 | -0.405249770 00 | -0.405249770 00 |
| 0.454141200 00 | -0.399715790-01 | 0.181382810 00 | 0.181382810 00 | 0.181382810 00 |
| 0.851327180-01 | -0.4472045020-01 | 0.847669180 00 | 0.847669180 00 | 0.847669180 00 |

CONSTANTES DE PROPAGACION

| ATENUACION NEPERS POR MILL | VELOCIDAD MILL POR SEG. |
|-------------------------------|----------------------------|
| 0.76352921D-03 | 0.12089897D 06 |
| 0.15087434D-03 | 0.16355881D 06 |
| 0.21580840D-03 | 0.18195517D 06 |
| 0.21234665D-03 | 0.18201380D 06 |
| 0.19526026D-03 | 0.18229127D 06 |
| 0.18593762D-03 | 0.18072231D 06 |
| 0.15219457D-03 | 0.18210428D 06 |
| 0.10047657D-03 | 0.18050842D 06 |
| 0.89814144D-04 | 0.13500418D 06 |

IMPEDANCIA CARACTERISTICA

DESDE COLUMNA 1 HASTA COLUMNA 6

| | | | | | |
|------------------|------------------|-----------------|-----------------|-----------------|-----------------|
| 0.87481022D-01 | -0.22278886D-01 | -0.52364729D-01 | -0.89200878D 00 | -0.05357010 00 | -0.95799172D 00 |
| 0.10308266D 00 | 0.11658444D 00 | 0.12889631D 00 | 0.86126665D 00 | 0.86285615D 00 | 0.33666203D 00 |
| -0.94081685D-02 | 0.77269077D-01 | -0.38318012D-01 | -0.86907010D 00 | -0.94147032D 00 | -0.93528497D 00 |
| 0.109222283D 00 | 0.10429472D 00 | 0.11547715D 00 | 0.80210751D 00 | 0.80222029D 00 | 0.77540505D 00 |
| -0.45234036D-01 | -0.47443792D-01 | 0.27655624D-01 | -0.11686745D 01 | -0.12616282D 01 | -0.12574625D 01 |
| 0.13077325D 00 | 0.14008343D 00 | 0.14824980D 00 | 0.97315508D 00 | 0.96783477D 00 | 0.93660635D 00 |
| 0.78511059D-01 | 0.92272500D-01 | 0.11095470D 00 | 0.27060566D 01 | 0.83274567D 00 | 0.64762270D 00 |
| -0.635841403D-01 | -0.803403223D-01 | -0.67320406D-01 | -0.39791012D 00 | -0.19312054D 00 | -0.18562222D 00 |
| 0.83866596D-01 | 0.92840970D-01 | 0.11636782D 00 | 0.85562456D 00 | 0.275229097D 01 | 0.89088143D 00 |
| -0.658809965D-01 | -0.88792645D-01 | -0.69751740D-01 | -0.22919881D 00 | -0.40117997D 00 | -0.20535535D 00 |
| 0.76090355D-01 | 0.48389754D-01 | 0.10353816D 00 | 0.57905877D 00 | 0.78416955D 00 | 0.26835493D 01 |
| -0.58411844D-01 | -0.59780903D-01 | -0.61092801D-01 | -0.19305883D 00 | -0.18042845D 00 | -0.36114258D 00 |
| 0.667333718D-01 | 0.70093435D-01 | 0.86346805D-01 | 0.46217209D 00 | 0.50356019D 00 | 0.57196105D 00 |
| -0.54971594D-01 | -0.58009580D-01 | -0.57764515D-01 | -0.18096185D 00 | -0.16842091D 00 | -0.16199094D 00 |
| 0.723899662D-01 | 0.77313364D-01 | 0.939953192D-01 | 0.57174313D 00 | 0.57889885D 00 | 0.59634900D 00 |
| -0.61186410D-01 | -0.643335360D-01 | -0.65321565D-01 | -0.21288723D 00 | -0.19776464D 00 | -0.19037187D 00 |
| 0.68926275D-01 | 0.79313815D-01 | 0.91662824D-01 | 0.59321278D 00 | 0.54923540D 00 | 0.52767706D 00 |
| -0.59863750D-01 | -0.610161345D-01 | -0.63367963D-01 | -0.19504333D 00 | -0.17874515D 00 | -0.17229881D 00 |

DESDE COLUMNA 7 HASTA COLUMNA 9

| | | | | | |
|-----------------|-----------------|-----------------|-----------------|-----------------|-----------------|
| -0.93605649D 00 | -0.93951809D 00 | -0.87332779D 00 | -0.8295823D 00 | 0.85549241D 00 | 0.85479021D 00 |
| -0.90939668D 00 | -0.91216554D 00 | -0.84837258D 00 | 0.77100492D 00 | 0.79598624D 00 | 0.79659969D 00 |
| -0.12247477D 01 | -0.12280111D 01 | -0.11460600D 01 | 0.93839246D 00 | 0.97087705D 00 | 0.97559345D 00 |
| -0.54457814D 00 | -0.18225199D 00 | -0.18817443D 00 | 0.54457814D 00 | 0.54457814D 00 | 0.54457814D 00 |
| 0.61473542D 00 | 0.59899706D 00 | 0.59972436D 00 | -0.20179677D 00 | -0.20863098D 00 | -0.22447759D 00 |
| -0.58693099D 00 | -0.51997560D 00 | -0.47696656D 00 | -0.17041701D 00 | -0.17035679D 00 | -0.18956316D 00 |
| 0.26765852D 01 | 0.77841022D 00 | 0.57401061D 00 | -0.34694943D 00 | -0.10536695D 00 | -0.17854267D 00 |
| -0.87255311D 00 | -0.27490660D 01 | -0.94904055D 00 | -0.18748015D 00 | -0.18226384D 00 | -0.21091348D 00 |

ADMINISTRACION CARACTERISTICA

DESDE COLUMNA 1 HASTA COLUMNA 6

| | | | | | |
|-----------------|------------------|-----------------|------------------|-----------------|-----------------|
| 0.806640135D 01 | -U.20699000D 01 | -0.88316840D 00 | -0.10944929D 01 | -0.11352987D 01 | -0.11251287D 01 |
| 0.59034759D 00 | U.11256331D 00 | 0.16157174D 00 | 0.47525132D 00 | 0.45569605D 00 | 0.41588479D 00 |
| -0.18660577D 01 | U.850303242D 01 | -0.18001184D 01 | -0.896645928D 00 | -0.93351156D 00 | -0.92398415D 00 |
| 0.68214263D 01 | U.50071428D 00 | 0.65333903D 01 | 0.35721493D 00 | 0.3358056D 00 | 0.30678715D 00 |
| -0.82766575D 00 | -U.19436655D 01 | 0.83119497D 01 | -0.15711708D 01 | -0.18235657D 01 | -0.16155949D 01 |
| 0.15621185D 00 | U.16855009D 00 | 0.59185612D 00 | 0.47254974D 00 | 0.43796349D 00 | 0.39335752D 00 |
| -0.10079760D 01 | -U.90247233D 02 | -0.60894996D 01 | 0.45147759D 00 | -0.71219385D 01 | -0.23777388D 01 |
| -0.39595291D 02 | U.83909935D 04 | -0.54318234D 02 | 0.36833752D 01 | -0.15302200D 01 | -0.65577105D 02 |
| 0.23287092D 03 | -U.251819417D 01 | -0.45757879D 01 | -0.71818948D 01 | 0.46148966D 00 | -0.69791496D 01 |
| 0.35039157D 03 | -U.81237141D 02 | -0.32483803D 02 | -0.16544525D 01 | 0.37900101D 01 | -0.16001754D 01 |
| -0.75565390D 02 | -U.32870888D 02 | -0.38827002D 01 | -0.36522139D 01 | -0.82416058D 01 | -0.44234467D 00 |
| -0.24512734D 02 | U.544071844D 03 | -0.32513367D 02 | -0.67846514D 02 | -0.15459850D 01 | 0.3648691D 01 |
| -0.70641711D 02 | U.12922008D 02 | -0.17395820D 01 | -0.27158488D 01 | -0.33050203D 01 | -0.45729667D 01 |
| -0.18351050D 02 | U.22550634D 02 | -0.14927553D 02 | -0.21715458D 02 | -0.32501614D 02 | -0.60953014D 02 |
| 0.30352242D 02 | -U.19351341D 01 | -0.12094438D 01 | -0.26202887D 01 | -0.23962300D 01 | -0.24747830D 01 |
| 0.243529779D 02 | -U.50538284D 02 | 0.24998141D 03 | -0.30901297D 02 | -0.27452402D 02 | -0.30738725D 02 |
| -0.92590787D 02 | -U.27989550D 02 | -0.28506827D 01 | -0.39892767D 01 | -0.25501143D 01 | -0.18484006D 01 |
| -0.29419377D 02 | U.25191584D 02 | -0.2747574D 02 | -0.44847392D 02 | -0.21593755D 02 | -0.13760971D 02 |

DESDE COLUMNA 7 HASTA COLUMNA 9

| | | | | |
|-----------------|-----------------|-----------------|-----------------|-----------------|
| -0.10229959D 01 | -U.10120792D 01 | -0.99506420D 00 | -0.95506420D 00 | -0.95506420D 00 |
| 0.41048437D 00 | U.44370335D 00 | 0.46229881D 00 | 0.46229881D 00 | 0.46229881D 00 |
| -0.81145669D 00 | -U.80008101D 00 | -0.78535474D 00 | -0.78535474D 00 | -0.78535474D 00 |
| 0.30485517D 00 | 0.33237678D 00 | 0.34806252D 00 | 0.34806252D 00 | 0.34806252D 00 |
| -0.14153681D 01 | -U.13955011D 01 | -0.13863525D 01 | -0.13863525D 01 | -0.13863525D 01 |
| 0.42756629D 00 | U.47865495D 00 | 0.50482837D 00 | 0.50482837D 00 | 0.50482837D 00 |
| -0.97366348D 02 | -U.17139169D 01 | -0.31261343D 01 | -0.31261343D 01 | -0.31261343D 01 |
| -0.44594898D 02 | -U.55995956D 02 | -0.80733248D 02 | -0.80733248D 02 | -0.80733248D 02 |
| -0.1527531D 01 | -U.14799716D 01 | -0.16890557D 01 | -0.16890557D 01 | -0.16890557D 01 |
| -0.61487630D 02 | -U.61791055D 02 | -0.66834427D 02 | -0.66834427D 02 | -0.66834427D 02 |
| -0.39761774D 01 | -U.27328942D 01 | -0.21285892D 01 | -0.21285892D 01 | -0.21285892D 01 |
| -0.80888644D 02 | -U.55288449D 02 | -0.45153459D 02 | -0.45153459D 02 | -0.45153459D 02 |
| 0.43362600D 00 | -U.91394067D 01 | -0.45073960D 01 | -0.45073960D 01 | -0.45073960D 01 |
| 0.38118958D 01 | -U.13640679D 01 | -0.47845519D 02 | -0.47845519D 02 | -0.47845519D 02 |
| -0.82669251D 01 | U.44830120D 00 | -0.84435821D 01 | -0.84435821D 01 | -0.84435821D 01 |
| -0.13284210D 01 | U.40943925D 01 | -0.13243735D 01 | -0.13243735D 01 | -0.13243735D 01 |
| -0.36857463D 01 | -U.84688425D 01 | -0.43867339D 00 | -0.43867339D 00 | -0.43867339D 00 |
| -0.39137900D 02 | -U.12350295D 01 | 0.44004933D 01 | 0.44004933D 01 | 0.44004933D 01 |

251
115

LA MATRIZ IMPEDANCIA SERIE DEL EQUIVALENTE P I ES:

DESDE COLUMNA 1 HASTA COLUMNA 6

| | | | | | |
|----------------|----------------|-----------------|-----------------|----------------|----------------|
| 0.150833800-01 | 0.163397770-01 | 0.110767780-01 | 0.351150330-01 | 0.345407200-01 | 0.338439760-01 |
| 0.607523060-01 | 0.212325160-01 | 0.149676780-01 | 0.351461280-01 | 0.370689180-01 | 0.376002230-01 |
| 0.116481480-01 | 0.150800520-01 | 0.118308040-01 | 0.204450710-01 | 0.369370100-01 | 0.353723170-01 |
| 0.211959110-01 | 0.599287260-01 | 0.1204450710-01 | 0.408741910-01 | 0.429166410-01 | 0.430942510-01 |
| 0.110824200-01 | 0.119184690-01 | 0.154954270-01 | 0.388499560-01 | 0.378542210-01 | 0.368289200-01 |
| 0.149618460-01 | 0.204818250-01 | 0.592172490-01 | 0.505655930-01 | 0.526314790-01 | 0.519233460-01 |
| 0.351969380-01 | 0.169325020-01 | 0.388683940-01 | 0.305593310-00 | 0.150230960-00 | 0.144076350-00 |
| 0.347801040-01 | 0.156888340-01 | 0.503144860-01 | 0.116737080-01 | 0.424637790-00 | 0.349540530-00 |
| 0.346578660-01 | 0.359338410-01 | 0.379794700-01 | 0.150331020-00 | 0.285692340-00 | 0.137386380-00 |
| 0.375438630-01 | 0.420411270-01 | 0.525234810-01 | 0.424637790-00 | 0.118724730-01 | 0.441252050-00 |
| 0.338911490-01 | 0.353259180-01 | 0.368247070-01 | 0.144076350-00 | 0.137386320-00 | 0.278995450-00 |
| 0.372368020-01 | 0.437800290-01 | 0.516777670-01 | 0.349540530-00 | 0.441252050-00 | 0.120109460-01 |
| 0.329972800-01 | 0.342872330-01 | 0.358378850-01 | 0.142743230-00 | 0.136048730-00 | 0.130996230-00 |
| 0.341314630-01 | 0.395913050-01 | 0.456313380-01 | 0.309152420-00 | 0.335562050-00 | 0.365151050-00 |
| 0.334337200-01 | 0.347018060-01 | 0.366261970-01 | 0.148337960-00 | 0.181064410-00 | 0.156682760-00 |
| 0.338044020-01 | 0.367268810-01 | 0.453980830-01 | 0.320342420-00 | 0.329415440-00 | 0.336721360-00 |
| 0.341796170-01 | 0.350040450-01 | 0.376652330-01 | 0.156548200-00 | 0.149392260-00 | 0.142478640-00 |
| 0.316609700-01 | 0.372155160-01 | 0.433532770-01 | 0.3332360510-00 | 0.319577280-00 | 0.309547900-00 |

DESDE COLUMNA 7 HASTA COLUMNA 9

| | | | | | |
|----------------|----------------|----------------|----------------|----------------|----------------|
| 0.329276960-01 | 0.333568340-01 | 0.340684730-01 | 0.340684730-01 | 0.340684730-01 | 0.340684730-01 |
| 0.345010160-01 | 0.332949090-01 | 0.328043210-01 | 0.328043210-01 | 0.328043210-01 | 0.328043210-01 |
| 0.343748030-01 | 0.349045470-01 | 0.376718790-01 | 0.357683790-01 | 0.364925150-01 | 0.357683790-01 |
| 0.388913560-01 | 0.376718790-01 | 0.364925150-01 | 0.364925150-01 | 0.364925150-01 | 0.364925150-01 |
| 0.358280090-01 | 0.365252900-01 | 0.374386540-01 | 0.374386540-01 | 0.374386540-01 | 0.374386540-01 |
| 0.458832680-01 | 0.447505120-01 | 0.437977200-01 | 0.437977200-01 | 0.437977200-01 | 0.437977200-01 |
| 0.142743170-00 | 0.148338020-00 | 0.156549200-00 | 0.156549200-00 | 0.156549200-00 | 0.156549200-00 |
| 0.309152430-00 | 0.320342420-00 | 0.332360570-00 | 0.332360570-00 | 0.332360570-00 | 0.332360570-00 |
| 0.136049670-00 | 0.141004410-00 | 0.148392260-00 | 0.148392260-00 | 0.148392260-00 | 0.148392260-00 |
| 0.335562050-00 | 0.332941530-00 | 0.319577280-00 | 0.319577280-00 | 0.319577280-00 | 0.319577280-00 |
| 0.130996170-00 | 0.135682760-00 | 0.142478640-00 | 0.142478640-00 | 0.142478640-00 | 0.142478640-00 |
| 0.365151050-00 | 0.338721420-00 | 0.309547900-00 | 0.309547900-00 | 0.309547900-00 | 0.309547900-00 |
| 0.276461310-00 | 0.135000430-00 | 0.142057900-00 | 0.142057900-00 | 0.142057900-00 | 0.142057900-00 |
| 0.120968250-01 | 0.431041280-00 | 0.358538510-00 | 0.358538510-00 | 0.358538510-00 | 0.358538510-00 |
| 0.135006430-00 | 0.287104070-00 | 0.149129280-00 | 0.149129280-00 | 0.149129280-00 | 0.149129280-00 |
| 0.491041220-00 | 0.119825270-01 | 0.434844570-00 | 0.434844570-00 | 0.434844570-00 | 0.434844570-00 |
| 0.142057900-00 | 0.148129280-00 | 0.303729770-00 | 0.303729770-00 | 0.303729770-00 | 0.303729770-00 |
| 0.148129280-00 | 0.117678550-01 | 0.117678550-01 | 0.117678550-01 | 0.117678550-01 | 0.117678550-01 |

DESDE COLUMNA 1 HASTA COLUMNA 6

| | | | | | |
|-----------------|-----------------|-----------------|------------------|-----------------|-----------------|
| 0.67117475D-02 | 0.73250114D-02 | 0.37975202D-02 | 0.43721893D-03 | 0.38084206D-03 | 0.4695489D-03 |
| 0.18355761D 01 | -0.29189544D 00 | -0.84146261D-01 | -0.223568298D-02 | -0.15507948D-02 | -0.79092826D-03 |
| 0.33241215D-02 | 0.54905154D-02 | 0.31729755D-02 | 0.39319787D-03 | 0.34594792D-03 | 0.42029307D-03 |
| -0.29188836D 00 | 0.18530951D 01 | -0.28856769D 00 | -0.433987185D-02 | -0.34814584D-02 | -0.21590760D-02 |
| 0.37736422D-02 | 0.321339614D-02 | 0.63901655D-02 | 0.43479669D-03 | 0.37769577D-03 | 0.46612159D-03 |
| -0.84149420D-01 | -0.28857252D 00 | 0.18530636D 01 | -0.12943346D-01 | -0.11098862D-01 | -0.73531156D-02 |
| 0.31315565D-03 | 0.36418993D-03 | 0.38438593D-03 | 0.31554397D-03 | -0.21140644D-04 | 0.42546617D-04 |
| -0.17702666D-02 | -0.52020401D-02 | -0.12595434D-01 | 0.93717873D-01 | -0.17499272D-01 | -0.72401576D-02 |
| 0.45891199D-03 | 0.29021529D-03 | 0.35792077D-03 | -0.20944717D-04 | 0.3D435645D-03 | -0.22766322D-04 |
| -0.24403326D-02 | -0.20267342D-02 | -0.11721537D-01 | -0.17497789D-01 | 0.95605910D-01 | -0.17032079D-01 |
| 0.39897556D-03 | 0.30058658D-03 | 0.45458321D-03 | 0.42481857D-04 | -0.22946741D-04 | 0.31010504D-03 |
| -0.31844899D-03 | -0.29679295D-02 | -0.70354910D-02 | -0.72403513D-02 | -0.17033197D-01 | 0.54633400D-01 |
| 0.35944325D-03 | 0.56429667D-03 | 0.43953549D-03 | 0.57588664D-04 | 0.4D941290D-04 | 0.3654086D-04 |
| 0.155318656D-03 | -0.16289204D-02 | -0.21586898D-02 | -0.38678702D-02 | -0.48641413D-02 | -0.72461851D-02 |
| 0.53744623D-03 | 0.18124645D-03 | 0.43450379D-03 | 0.44013592D-04 | 0.35423349D-04 | 0.42104595D-04 |
| -0.16512915D-02 | 0.19411194D-03 | -0.40789172D-02 | -0.52571557D-02 | -0.47828481D-02 | -0.48652627D-02 |
| 0.27078926D-03 | 0.42491302D-03 | 0.37510740D-03 | 0.42385973D-04 | 0.43584784D-04 | 0.58436839D-04 |
| -0.80981531D-03 | -0.30895995D-02 | -0.51059537D-02 | -0.80901124D-02 | -0.52385107D-02 | -0.39575500D-02 |

DESDE COLUMNA 7 HASTA COLUMNA 9

| | | | | | |
|-----------------|-------------------|------------------|-----------------|-----------------|-----------------|
| 0.46835956D-03 | 0.39192406D-03 | 0.44421479D-03 | 0.42385973D-04 | 0.43584784D-04 | 0.58436839D-04 |
| -0.32325555D-03 | -0.76041906D-03 | -0.13910437D-02 | -0.80901124D-02 | -0.52385107D-02 | -0.39575500D-02 |
| 0.42009423D-03 | 0.35252771D-03 | 0.40121796D-03 | 0.44013592D-04 | 0.35423349D-04 | 0.42104595D-04 |
| -0.80622593D-03 | -0.13332189D-02 | -0.22570440D-02 | -0.52571557D-02 | -0.47828481D-02 | -0.48652627D-02 |
| 0.47688093D-03 | 0.40231702D-03 | 0.46094751D-03 | 0.42385973D-04 | 0.43584784D-04 | 0.58436839D-04 |
| -0.25141782D-02 | -0.34221446D-02 | -0.54687150D-02 | -0.80901124D-02 | -0.52385107D-02 | -0.39575500D-02 |
| 0.57588361D-04 | 0.43483192D-04 | 0.42334532D-04 | 0.43584784D-04 | 0.42104595D-04 | 0.42546617D-04 |
| -0.38674069D-02 | -0.82383106D-02 | -0.80896951D-02 | -0.52385107D-02 | -0.39575500D-02 | -0.72461851D-02 |
| 0.41008621D-04 | 0.35163817D-04 | 0.43537701D-04 | 0.44013592D-04 | 0.35423349D-04 | 0.42104595D-04 |
| -0.48634370D-02 | -0.4478306043D-02 | -0.52376688D-02 | -0.80901124D-02 | -0.52385107D-02 | -0.39575500D-02 |
| 0.36544327D-04 | 0.44016593D-04 | 0.58379752D-04 | 0.43584784D-04 | 0.42104595D-04 | 0.42546617D-04 |
| -0.72459280D-02 | -0.4886263D-02 | -0.388573495D-02 | -0.52385107D-02 | -0.39575500D-02 | -0.72461851D-02 |
| 0.31225360D-03 | -0.19750360D-04 | 0.45945740D-04 | 0.43584784D-04 | 0.42104595D-04 | 0.42546617D-04 |
| 0.94583333D-01 | -0.17113358D-01 | -0.73320732D-02 | -0.52385107D-02 | -0.39575500D-02 | -0.72461851D-02 |
| -0.19912972D-04 | 0.30760497D-03 | -0.17054517D-04 | 0.43584784D-04 | 0.42104595D-04 | 0.42546617D-04 |
| -0.17113049D-01 | 0.35478177D-01 | -0.17645247D-01 | 0.43584784D-04 | 0.42104595D-04 | 0.42546617D-04 |
| 0.45968114D-04 | -0.17103521D-04 | 0.32052254D-03 | 0.43584784D-04 | 0.42104595D-04 | 0.42546617D-04 |
| -0.7332073D-02 | -0.17645694D-01 | 0.93581815D-01 | 0.43584784D-04 | 0.42104595D-04 | 0.42546617D-04 |

MATRIZ IMPEDANCIA SERIE DEL EQUIVALENTE T

DESDE COLUMNA 1 HASTA COLUMNA 6

| | | | | | |
|-----------------|-----------------|-----------------|-----------------|-----------------|----------------|
| 0.88082663J-02 | 0.69473982U-02 | 0.66642360ZD-02 | 0.2133461U-01 | 0.20772193D-01 | 0.20772193D-01 |
| 0.21975433U-01 | 0.11330258U-01 | 0.18226490SD-02 | 0.19062269SD-01 | 0.201287110-01 | 0.20511970D-01 |
| 0.69473982U-02 | 0.11330258U-01 | 0.70753805D-02 | 0.10921283D-01 | 0.22083975D-01 | 0.21696697D-01 |
| 0.66642360ZD-02 | 0.18226490SD-02 | 0.90858191D-02 | 0.225666953D-01 | 0.22055190D-01 | 0.22083975D-01 |
| 0.80391833U-02 | 0.70753805D-01 | 0.31146555D-01 | 0.27316253D-01 | 0.227249638D-01 | 0.28256236D-01 |
| 0.2133461U-01 | 0.225666953D-01 | 0.23037937D-01 | 0.235666953D-01 | 0.21518402D-01 | 0.16765497D-00 |
| 0.19062269SD-01 | 0.27316253D-01 | 0.24426018D-01 | 0.21989200D-01 | 0.22720206D-00 | 0.62519389D-00 |
| 0.21054994U-01 | 0.23037937D-01 | 0.25107000D-01 | 0.22588066D-01 | 0.91518402D-01 | 0.16765497D-00 |
| 0.200003576D-01 | 0.24426018D-01 | 0.25107000D-01 | 0.22588066D-01 | 0.22720206D-00 | 0.62519389D-00 |
| 0.20760540D-01 | 0.25107000D-01 | 0.25107000D-01 | 0.22588066D-01 | 0.91518402D-01 | 0.16765497D-00 |
| 0.2060872D-01 | 0.22588066D-01 | 0.25107000D-01 | 0.22588066D-01 | 0.22720206D-00 | 0.62519389D-00 |
| 0.20200886D-01 | 0.22588066D-01 | 0.25107000D-01 | 0.22588066D-01 | 0.91518402D-01 | 0.16765497D-00 |
| 0.18926412D-01 | 0.22588066D-01 | 0.25107000D-01 | 0.22588066D-01 | 0.91518402D-01 | 0.16765497D-00 |
| 0.20360477D-01 | 0.22588066D-01 | 0.25107000D-01 | 0.22588066D-01 | 0.91518402D-01 | 0.16765497D-00 |
| 0.17954119D-01 | 0.22588066D-01 | 0.25107000D-01 | 0.22588066D-01 | 0.91518402D-01 | 0.16765497D-00 |
| 0.20709727U-01 | 0.22588066D-01 | 0.25107000D-01 | 0.22588066D-01 | 0.91518402D-01 | 0.16765497D-00 |
| 0.17393794U-01 | 0.22588066D-01 | 0.25107000D-01 | 0.22588066D-01 | 0.91518402D-01 | 0.16765497D-00 |

DESDE COLUMNA 7 HASTA COLUMNA 9

| | | | | | |
|----------------|----------------|----------------|----------------|----------------|----------------|
| 0.20218428D-01 | 0.20381656D-01 | 0.20738055D-01 | 0.94737589D-01 | 0.93368211D-01 | 0.97435186D-01 |
| 0.18827952D-01 | 0.18088925D-01 | 0.17292753D-01 | 0.17846161D-00 | 0.17240065D-00 | 0.16779786D-00 |
| 0.21096814D-01 | 0.21311826D-01 | 0.21751825D-01 | 0.17846161D-00 | 0.17240065D-00 | 0.16779786D-00 |
| 0.21232273D-01 | 0.20475220D-01 | 0.19712489D-01 | 0.17846161D-00 | 0.17240065D-00 | 0.16779786D-00 |
| 0.21982159D-01 | 0.22285115D-01 | 0.22857323D-01 | 0.17846161D-00 | 0.17240065D-00 | 0.16779786D-00 |
| 0.25040027D-01 | 0.24310922D-01 | 0.23665392D-01 | 0.17846161D-00 | 0.17240065D-00 | 0.16779786D-00 |
| 0.87564945D-01 | 0.90310832D-01 | 0.94737589D-01 | 0.17846161D-00 | 0.17240065D-00 | 0.16779786D-00 |
| 0.16756177D-00 | 0.17281497D-00 | 0.17846161D-00 | 0.17846161D-00 | 0.17240065D-00 | 0.16779786D-00 |
| 0.84024668D-01 | 0.86440980D-01 | 0.90368211D-01 | 0.17846161D-00 | 0.17240065D-00 | 0.16779786D-00 |
| 0.18217599D-00 | 0.17826694D-00 | 0.17240065D-00 | 0.17846161D-00 | 0.17240065D-00 | 0.16779786D-00 |
| 0.81610084D-01 | 0.43416409D-01 | 0.87435186D-01 | 0.17846161D-00 | 0.17240065D-00 | 0.16779786D-00 |
| 0.19849348D-00 | 0.18282622D-00 | 0.16779786D-00 | 0.17846161D-00 | 0.17240065D-00 | 0.16779786D-00 |
| 0.16102950D-00 | 0.83373010D-01 | 0.87139428D-01 | 0.17846161D-00 | 0.17240065D-00 | 0.16779786D-00 |
| 0.63877285U-00 | 0.24274373D-00 | 0.19357759D-00 | 0.17846161D-00 | 0.17240065D-00 | 0.16779786D-00 |
| 0.83373010D-01 | 0.10593492D-00 | 0.90137303D-01 | 0.17846161D-00 | 0.17240065D-00 | 0.16779786D-00 |
| 0.24274373D-00 | 0.03124132D-00 | 0.21282164D-00 | 0.17846161D-00 | 0.17240065D-00 | 0.16779786D-00 |
| 0.87139428U-01 | 0.26137303D-01 | 0.17489308D-00 | 0.17846161D-00 | 0.17240065D-00 | 0.16779786D-00 |
| 0.19357759U-00 | 0.23282170D-00 | 0.61965318D-00 | 0.17846161D-00 | 0.17240065D-00 | 0.16779786D-00 |

MATRIZ ADMITANCIA SHUNT DEL EQUIVALENTE T

DESDE COLUMNA 1 HASTA COLUMNA 6

| | | | | | |
|-----------------|------------------|-----------------|-----------------|-----------------|-----------------|
| -0.246492720-01 | -0.187782440-01 | -0.136118380-01 | -0.155886050-02 | -0.137388450-02 | -0.166064060-02 |
| 0.348868940 01 | -0.583586730 00 | -0.191314770 00 | -0.606194650-02 | -0.487938520-02 | -0.404873490-02 |
| -0.118816270-01 | -0.2023268050-01 | -0.113233940-01 | -0.140213380-02 | -0.122854910-02 | -0.148506350-02 |
| -0.583546530 00 | 0.353457450 01 | -0.570400360 00 | -0.101648900-01 | -0.852770730-02 | -0.659145410-02 |
| -0.135265740-01 | -0.114683550-01 | -0.234664930-01 | -0.154733950-02 | -0.133742900-02 | -0.164378530-02 |
| -0.181293850 00 | -0.5704493570 00 | 0.352918430 01 | -0.270558220-01 | -0.236295650-01 | -0.172020680-01 |
| -0.107508710-02 | -0.207361460-02 | -0.134553390-02 | -0.11859100-02 | 0.936608700-04 | -0.144210430-03 |
| -0.782759490-02 | -0.712226330-02 | -0.233746530-01 | 0.1791174960 00 | -0.339130720-01 | -0.143849550-01 |
| -0.167394240-02 | -0.095165670-03 | -0.128120810-02 | 0.929770030-04 | -0.114441780-02 | 0.102525530-03 |
| -0.163704530-02 | -0.140633520-01 | -0.212578770-01 | -0.339187350-01 | -0.192828610 00 | -0.331763250-01 |
| -0.137966620-02 | -0.181303500-02 | -0.159108210-02 | -0.143973930-03 | 0.133165250-03 | -0.115733990-02 |
| -0.583819300-02 | -0.352632810-02 | -0.189207540-01 | -0.143842080-01 | -0.331720750-01 | 0.190582230 00 |
| -0.123049410-02 | -0.205375740-02 | -0.153116630-02 | -0.201225660-03 | -0.139556130-03 | -0.117686270-03 |
| -0.477308030-02 | -0.658297910-03 | -0.897454840-02 | -0.792316720-02 | -0.985936820-02 | -0.146577840-01 |
| -0.197293990-02 | -0.555178620-03 | -0.156503030-02 | -0.153431770-03 | -0.122048300-03 | -0.143561120-03 |
| 0.173688850-03 | -0.100271890-01 | -0.617347650-02 | -0.104916060-01 | -0.957674530-02 | -0.988432770-02 |
| -0.912095190-03 | -0.241784190-02 | -0.130867290-02 | -0.145855580-03 | -0.151574660-03 | -0.204158820-03 |
| -0.617030640-02 | -0.279032580-02 | -0.139412620-01 | -0.159462620-01 | -0.104420410-01 | -0.791556020-02 |

DESDE COLUMNA 7 HASTA COLUMNA 9

| | | | | | |
|-----------------|------------------|------------------|------------------|-----------------|-----------------|
| -0.165585960-02 | -0.139243230-02 | -0.158382720-02 | -0.153393050-03 | -0.1574860-03 | -0.143561120-03 |
| -0.296144790-02 | -0.321248550-02 | -0.435012950-02 | 0.435012950-02 | -0.957674530-02 | -0.988432770-02 |
| -0.148550610-02 | -0.4222210360-02 | -0.143123560-02 | -0.594132770-02 | -0.151574660-03 | -0.204158820-03 |
| -0.377389810-02 | -0.4222210360-02 | -0.594132770-02 | -0.594132770-02 | -0.151574660-03 | -0.204158820-03 |
| -0.188612970-02 | -0.1440335870-02 | -0.164168490-02 | -0.125671070-01 | -0.151574660-03 | -0.204158820-03 |
| -0.762711840-02 | -0.3807335810-02 | -0.125671070-01 | -0.125671070-01 | -0.151574660-03 | -0.204158820-03 |
| -0.201318730-03 | -0.152992450-03 | -0.145645030-03 | -0.159478340-01 | -0.151574660-03 | -0.204158820-03 |
| -0.792492180-02 | -0.104871990-01 | -0.159478340-01 | -0.159478340-01 | -0.151574660-03 | -0.204158820-03 |
| -0.139788830-03 | -0.121859760-03 | -0.151672260-03 | -0.104452600-01 | -0.151574660-03 | -0.204158820-03 |
| -0.988206530-02 | -0.357388430-02 | -0.104452600-01 | -0.104452600-01 | -0.151574660-03 | -0.204158820-03 |
| -0.117689290-03 | -0.1433231550-01 | -0.203930580-03 | -0.1791630890-02 | -0.151574660-03 | -0.204158820-03 |
| -0.146587450-01 | -0.3881339960-02 | -0.1791630890-02 | -0.1791630890-02 | -0.151574660-03 | -0.204158820-03 |
| -0.116504940-02 | 0.325067000-04 | -0.156309530-03 | -0.146324150-01 | -0.151574660-03 | -0.204158820-03 |
| 0.180420700 00 | -0.333977440-01 | -0.146324150-01 | -0.146324150-01 | -0.151574660-03 | -0.204158820-03 |
| -0.923716410-04 | -0.113618850-02 | 0.7910933580-04 | -0.7910933580-04 | -0.151574660-03 | -0.204158820-03 |
| -0.333989750-01 | 0.182517290 00 | -0.342661750-01 | -0.342661750-01 | -0.151574660-03 | -0.204158820-03 |
| -0.154395910-03 | 0.702124280-04 | -0.120221240-02 | -0.120221240-02 | -0.151574660-03 | -0.204158820-03 |
| -0.146326610-01 | -0.342652500-01 | 0.178787230 00 | 0.178787230 00 | -0.151574660-03 | -0.204158820-03 |

215

1768

C A P I T U L O I I I

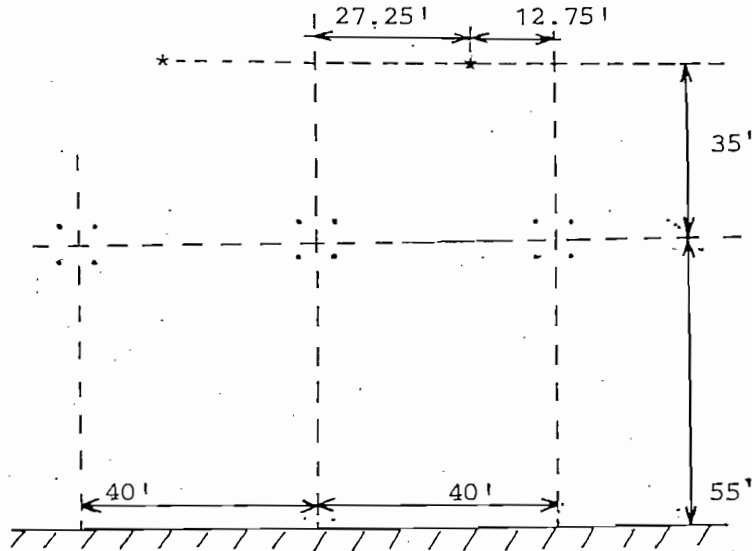
A P L I C A C I O N E S

Con el propósito de verificar la bondad del programa, se realizaron aplicaciones a problemas propuestos en la muy conocido IEEE, en la cual además se proporcionan los resultados.

El primer problema corrido es aquel proporcionado en IEEE TRANSACTION POWER APPARATUS AND SYSTEMS, Pag. 629, Junio de 1964, y cuyos datos son:

- Altura de las fases a tierra 55'
- Altura de los conductores de guarda 90'
- Frecuencia 60 Hz
- Voltaje 500 Kv
- Longitud 200 Millas
- Se asume línea no transpuesta
- Cuatro conductores por fase, 0.85 pulgadas de diámetro c/u.
- Espaciamiento de Bundle 1.5 pies.
- Dos cables de tierra de 5/16 de pulgada de acero
- Rotación de fases a, b, c
- Resistencia de tierra 1000 ohms/m³

Las constantes Y y Z son determinadas por cualquiera de los procedimientos que existen para el caso. En este caso se hallan mediante el procedimiento detallado en la Referencia N° 8



- * cables de tierra
- conductores de fase

Las constantes del circuito son:

$$Z = \begin{bmatrix} 0.64292 + j2.00227 & 0.01975 - j0.01523 & -0.02306 - j0.00949 \\ -0.02306 + j0.00949 & 0.04663 + j0.53724 & -0.04786 + j0.02855 \\ 0.01975 - j0.01523 & 0.04865 + j0.02717 & 0.04663 + j0.53724 \end{bmatrix}$$

$$Y = \begin{bmatrix} 0.00000 + j5.38634 & -0.18259 + j0.10542 & 0.18259 + j0.10542 \\ 0.18259 + j0.10542 & 0.00000 + j8.01017 & 0.56198 - j0.32446 \\ -0.18259 + j0.10542 & -0.56198 - j0.32446 & 0.00000 + j8.01017 \end{bmatrix} \times 10^{-6}$$

Z = Impedancia serie por unidad de longitud en ohmios/milla

Y = Admitnacia shunt por unidad de longitud en mhos/milla

El producto $Y \star Z$ está dado por:

$$Y \star Z = \begin{bmatrix} -10,77448 + j3,46159 & 0,02290 + j0,02329 & 0,00872 - j0,03146 \\ -0,01151 + j0,23369 & -4,26202 + j0,37230 & -0,03138 - j0,10074 \\ -0,19659 - j0,12680 & -0,07153 + j0,07751 & -4,26201 + j0,37230 \end{bmatrix} \times 10^{-6}$$

$Y \star Z$ tienen las siguientes unidades: $\frac{\text{mhos}}{\text{milla}} \times \frac{\text{ohmios}}{\text{milla}} = \frac{1}{(\text{milla})^2}$

Los valores característicos de $Y \star Z$ son calculados dando los siguientes resultados:

$$\gamma_1^2 = (-10,77247 + j3,46098) \times 10^{-6} \left(\frac{1}{\text{milla}^2} \right)$$

$$\gamma_2^2 = (-4,16121 + j0,39631) \times 10^{-6} \left(\frac{1}{\text{milla}^2} \right)$$

$$\gamma_3^2 = (-4,36481 + j0,34900) \times 10^{-6} \left(\frac{1}{\text{milla}^2} \right)$$

Y los respectivos vectores característicos reunidos por columnas y normalizados son:

$$M = \begin{bmatrix} 1,00000 + j0,00000 & 0,00301 + j0,00843 & 0,00000 + j0,00001 \\ 0,01491 - j0,02842 & 1,00000 + j0,00000 & 0,50154 + j0,86620 \\ 0,01728 + j0,02720 & -0,49994 + j0,86488 & 1,00000 + j0,00000 \end{bmatrix}$$

Los resultados, para el equivalente PI, que obtiene son hallados a partir de las ecuaciones 1.5.7 y 1.5.8. y son:

.. / ..

$$Z_{\pi} = \begin{bmatrix} z_{11} \times 0.9298 & \underline{1.3609^0} & z_{12} \times 0.9565 & \underline{0.5944^0} & z_{13} \times 0.9564 & \underline{0.5836^0} \\ z_{21} \times 0.9564 & \underline{0.5836^0} & z_{22} \times 0.9718 & \underline{0.1430^0} & z_{23} \times 0.9653 & \underline{0.0856^0} \\ z_{31} \times 0.9565 & \underline{0.5944^0} & z_{32} \times 0.9655 & \underline{0.1161^0} & z_{33} \times 0.9718 & \underline{0.1430^0} \end{bmatrix} \times 200$$

$$\frac{Y_{\pi}}{2} = \begin{bmatrix} Y_{11} \times 1.0374 & \underline{-0.6958} & Y_{12} \times 1.0328 & \underline{-0.6276} & Y_{13} \times 1.0328 & \underline{-0.6279} \\ Y_{21} \times 1.0328 & \underline{-0.6302} & Y_{22} \times 1.0144 & \underline{-0.0735} & Y_{23} \times 1.0103 & \underline{-0.1335} \\ Y_{31} \times 1.0329 & \underline{-0.6322} & Y_{32} \times 1.0144 & \underline{-0.1335} & Y_{33} \times 1.0144 & \underline{-0.0735} \end{bmatrix} \times \frac{200}{2}$$

En este problema no existen resultados para el equivalente T.

La matriz impedancia serie del equivalente PI en ohmios:

$$Z_{\pi} = \begin{bmatrix} 110.68057 + j375.07659 & 3.80820 - j2.87415 & -4.39220 - j1.86008 \\ -4.39220 - j1.86008 & 8.80237 + j104.44026 & -9.24808 + j5.49805 \\ 3.80820 - j2.87415 & 9.38366 + j5.26555 & 8.80237 + j104.44026 \end{bmatrix}$$

Y la matriz admitancia shunt del equivalente PI en mhos:

$$\frac{Y_{\pi}}{2} = \begin{bmatrix} 6.78564 + j558.73771 & -18.73750 + j11.09368 & 18.97608 + j10.68047 \\ 18.97651 + j10.67970 & 1.04235 + j812.55098 & 56.70031 - j32.91240 \\ -18.73843 + j11.09626 & -56.85869 - j32.65105 & 1.04235 + j812.55098 \end{bmatrix} \times 10^{-6}$$

A pesar que en el País se ha adoptado el sistema internacional de unidades, el programa esta diseñado para aceptar tanto unidades del S. I. U. como del sistema inglés.

RESULTADOS OBTENIDOS MEDIANTE EL PROGRAMA

CALCULO DE LOS EQUIVALENTES PI Y T DE LINEAS DE TRANSMISION

```
                          ZPI
                    *****
*****
          * ***** *
          *          *
          *          *
          *          *
          *          *
          *          *
          *          *
          *          *
          *          *
          *          *
          *          *
          *          *
          *          *
          *          *
          *          *
          *          *
          *          *
*****
```

```
                      ZT          ZT
              *****          *****
          *****          *****          *****
              *****          *****
              *          *
              *          *
              *          *
              *          *
              *          *
              *          *
              *          *
              *          *
              *          *
              *          *
              *          *
              *          *
              *          *
              *          *
              *          *
              *          *
*****
```

DATOS DE ENTRADA

TESIS DE GRADO
EJEMPLO DE PRUEBA
DATOS DE LA REFERENCIA # 1
LINEA DE TRANSMISION TRIFASICA
UN CIRCUITO; CUATRO CONDUCTORES EN BUNDLE
N: 3 NUMERO DE CONDUCTORES EQUIVALENTES
LONGITUD: ... 200,0 MILL
DATOS EN COMPONENTES DE SEC.

LA MATRIZ IMPEDANCIA SERIE POR MILL

| | | |
|-----------------|-----------------|-----------------|
| 0.64291996D 00 | 0.19749999D-01 | -0.23059998D-01 |
| 0.20022697D 01 | -0.15229996D-01 | -0.94899982D-02 |
| -0.23059998D-01 | 0.46629999D-01 | -0.47859997D-01 |
| -0.94899982D-02 | 0.53723997D 00 | 0.28549999D-01 |
| 0.19749999D-01 | 0.48649997D-01 | 0.46629999D-01 |
| -0.15229996D-01 | 0.27169999D-01 | 0.53723997D 00 |

LA MATRIZ ADMITANCIA SHUNT POR MILL

| | | |
|-----------------|-----------------|-----------------|
| 0.0 | -0.18258999D-06 | 0.18258999D-06 |
| 0.53863396D-05 | 0.10541999D-06 | 0.10541999D-06 |
| 0.18258999D-06 | 0.0 | 0.56197996D-06 |
| 0.10541999D-06 | 0.80101699D-05 | -0.32445996D-06 |
| -0.18258999D-06 | -0.56197996D-06 | 0.0 |
| 0.10541999D-06 | -0.32445996D-06 | 0.80101699D-05 |

PARAMETROS CARACTERISTICOS DE LA LINEA

VALORES CARACTERISTICOS

| | |
|-----------------|----------------|
| -0.10772478D-04 | 0.34609822D-05 |
| -0.43649278D-05 | 0.34910775D-06 |
| -0.41611097D-05 | 0.39609836D-06 |

VECTORES CARACTERISTICOS

| | | |
|-----------------|-----------------|-----------------|
| 0.10005131D 01 | -0.85622878D-06 | 0.16097911D-02 |
| -0.41426363D-04 | -0.42525598D-05 | -0.88138096D-02 |
| 0.14922012D-01 | -0.86620641D 00 | -0.86620468D 00 |
| -0.28437302D-01 | -0.49984145D 00 | -0.49989611D 00 |
| 0.17163705D-01 | -0.86579752D 00 | 0.86587113D 00 |
| 0.27138043D-01 | 0.50007749D 00 | -0.50007224D 00 |

CONSTANTES DE PROPAGACION

| ATENUACION NEPERS POR MILL | VELOCIDAD MILL POR SEG. |
|-------------------------------|----------------------------|
| 0.52073062D-03 | 0.11344232D 06 |
| 0.83482315D-04 | 0.18030020D 06 |
| 0.96979129D-04 | 0.18460203D 06 |

IMPEDANCIA CARACTERISTICA

| | | |
|-----------------|-----------------|-----------------|
| 0.61750464D 03 | -0.33393764D 01 | -0.36467056D 01 |
| -0.96642639D 02 | -0.61387339D 01 | 0.59603262D 01 |
| -0.59141893D 01 | 0.26034497D 03 | 0.11860757D 02 |
| 0.24274155D 02 | -0.11327189D 02 | 0.20516220D 02 |
| -0.18065353D 02 | 0.11836472D 02 | 0.26034521D 03 |
| -0.17258759D 02 | -0.20528625D 02 | -0.11327133D 02 |

ADMITANCIA CARACTERISTICA

| | | |
|-----------------|-----------------|-----------------|
| 0.15790598D-02 | 0.49375129D-04 | 0.58373873D-04 |
| 0.24829828D-03 | 0.95909752D-04 | -0.90711517D-04 |
| 0.19800151D-04 | 0.38732123D-02 | -0.15287385D-03 |
| 0.21536580D-05 | 0.17063855D-03 | -0.32538408D-03 |
| -0.11759840D-04 | -0.20534106D-03 | 0.38732155D-02 |
| 0.16074948D-04 | 0.29506814D-03 | 0.17063924D-03 |

LA MATRIZ IMPEDANCIA SERIE DEL EQUIVALENTE PI ES:

| | | |
|-----------------|-----------------|-----------------|
| 0.11068437D 03 | 0.38073730D 01 | -0.43914671D 01 |
| 0.37509448D 03 | -0.28736000D 01 | -0.18606434D 01 |
| -0.43914671D 01 | 0.88022776D 01 | -0.92478418D 01 |
| -0.18606434D 01 | 0.10443500D 03 | 0.54984541D 01 |
| 0.38073730D 01 | 0.93847761D 01 | 0.88022776D 01 |
| -0.28736000D 01 | 0.52590723D 01 | 0.10443500D 03 |

LA MATRIZ ADMITANCIA SHUNT DEL EQUIVALENTE PI

| | | |
|-----------------|-----------------|-----------------|
| 0.67851925D-06 | -0.18737861D-04 | 0.18976891D-04 |
| 0.55874744D-03 | 0.11094421D-04 | 0.10680497D-04 |
| 0.18976891D-04 | 0.10420845D-05 | 0.56699530D-04 |
| 0.10680497D-04 | 0.81258500D-03 | -0.32914235D-04 |
| -0.18737861D-04 | -0.56854376D-04 | 0.10420845D-05 |
| 0.11094421D-04 | -0.32646276D-04 | 0.81258500D-03 |

MATRIZ IMPEDANCIA SERIE DEL EQUIVALENTE T

| | | |
|-----------------|-----------------|-----------------|
| 0.69213669D 02 | 0.20117178D 01 | -0.23640757D 01 |
| 0.20689220D 03 | -0.15688868D 01 | -0.95786589D 00 |
| -0.23640757D 01 | 0.47990847D 01 | -0.48694696D 01 |
| -0.95786589D 00 | 0.54496643D 02 | 0.29096718D 01 |
| 0.20117178D 01 | 0.49540672D 01 | 0.47990847D 01 |
| -0.15688868D 01 | 0.27619429D 01 | 0.54496643D 02 |

MATRIZ ADMITANCIA SHUNT DEL EQUIVALENTE T

| | | |
|-----------------|-----------------|-----------------|
| -0.23800574D-04 | -0.34674042D-04 | 0.33831006D-04 |
| 0.10013885D-02 | 0.19046172D-04 | 0.20505991D-04 |
| 0.33831006D-04 | -0.39576544D-05 | 0.11041084D-03 |
| 0.20505991D-04 | 0.15569287D-02 | -0.63063853D-04 |
| -0.34674042D-04 | -0.10981981D-03 | -0.39576544D-05 |
| 0.19046172D-04 | -0.64086591D-04 | 0.15569287D-02 |

EOP \$BFLE
EOJ EDISON

DATE 17/08/81;CLOCK 18/45/20,DURATION 00/07/10

LA MATRIZ IMPEDANCIA SERIE FORMILL

| | | | | | |
|----------------|----------------|----------------|----------------|----------------|----------------|
| 0.19149995D 00 | U.13079995D 00 | 0.12570000D 00 | 0.12769997D 00 | U.13089997D 00 | 0.12599999D 00 |
| 0.10939999D 01 | U.51659995D 00 | 0.51020000D 00 | 0.52169997D 00 | U.45819998D 00 | 0.44739997D 00 |
| 0.13079995D 00 | U.19949996D 00 | 0.12930000D 00 | 0.12859994D 00 | 0.13249999D 00 | 0.12709995D 00 |
| 0.51659995D 00 | U.10889999D 01 | 0.51239997D 00 | 0.47179997D 00 | 0.44199997D 00 | 0.41579997D 00 |
| 0.12570000D 00 | U.12930000D 00 | U.18869996D 00 | 0.12599999D 00 | 0.12930000D 00 | 0.12449999D 00 |
| 0.54020000D 00 | U.51239997D 00 | U.10569992D 01 | 0.44899997D 00 | 0.41329998D 00 | 0.40239994D 00 |
| 0.12769997D 00 | U.12859994D 00 | U.12599999D 00 | 0.19379997D 00 | 0.12899995D 00 | 0.12729996D 00 |
| 0.52169997D 00 | U.47179997D 00 | U.44699997D 00 | 0.10889992D 01 | 0.58249998D 00 | 0.53399995D 00 |
| 0.13089997D 00 | U.13249996D 00 | 0.12930000D 00 | 0.12899995D 00 | 0.19479996D 00 | 0.12739998D 00 |
| 0.45809999D 00 | U.44199997D 00 | 0.41319996D 00 | 0.58249998D 00 | 0.92039996D 00 | 0.55829996D 00 |
| 0.12599999D 00 | U.12899997D 00 | U.12449998D 00 | 0.12729999D 00 | U.12739999D 00 | 0.18979996D 00 |
| 0.44729999D 00 | U.41929999D 00 | U.40229994D 00 | 0.53099999D 00 | U.53829999D 00 | 0.10919991D 01 |

LA MATRIZ ADMITANCIA SHUNT. FORMILL

| | | | | | |
|-----------------|----------------|-----------------|-----------------|-----------------|-----------------|
| 0.00 | U.00 | 0.00 | 0.00 | 0.00 | 0.00 |
| 0.67199999D 05 | U.91099995D 06 | -U.10259992D 05 | -0.81559995D 06 | -0.37259997D 06 | -0.22289994D 06 |
| 0.00 | U.00 | 0.00 | 0.00 | 0.00 | 0.00 |
| -0.91669995D 06 | U.62529998D 05 | -0.95989981D 06 | -0.51929999D 06 | -0.49559998D 06 | -0.19109996D 06 |
| 0.00 | U.00 | 0.00 | 0.00 | 0.00 | 0.00 |
| -0.10259992D 05 | U.95989981D 06 | 0.65029999D 05 | -0.19829997D 06 | -0.16189995D 06 | -0.56069997D 07 |
| 0.00 | U.00 | 0.00 | 0.00 | 0.00 | 0.00 |
| -0.81559995D 06 | U.00 | -0.1929999D 06 | -0.19299997D 06 | 0.71279992D 05 | -0.21179994D 05 |
| 0.00 | U.00 | 0.00 | 0.00 | 0.00 | 0.00 |
| -0.37259997D 06 | U.49559998D 06 | -0.16179996D 06 | -0.21179994D 05 | 0.93389999D 05 | -0.17919992D 05 |
| 0.00 | U.00 | 0.00 | 0.00 | 0.00 | 0.00 |
| -0.22289994D 06 | U.19109996D 06 | -0.56069997D 07 | -0.73039996D 06 | -0.17939992D 05 | 0.67139999D 05 |

RESULTADOS EN COMPONENTES DESEC.

PARAMETROS CARACTERISTICOS DE LA LINEA

 VALORES CARACTERISTICOS

| | |
|-----------------|----------------|
| -U.12444416D-04 | 0.29870799D-05 |
| -U.42477077D-05 | 0.70282773D-06 |
| -U.44967493D-05 | 0.35855242D-06 |
| -U.41794010D-05 | 0.51209930D-06 |
| -U.42406279D-05 | 0.48316353D-06 |
| -U.41950123D-05 | 0.47595703D-06 |

VECTORES CARACTERISTICOS

| | | | | | |
|----------------|-----------------|-----------------|-----------------|-----------------|-----------------|
| 0.117803250 00 | -0.189025500-01 | 0.209593190 00 | 0.589023650 00 | 0.578949330 00 | 0.28273390 00 |
| 0.025780200-02 | 0.102222140 00 | -0.265595370-01 | 0.133190010-01 | -0.150564980-01 | -0.152485780-01 |
| 0.320500470 00 | -0.159067150-02 | -0.207914170 00 | 0.107915820 00 | -0.772385900 00 | 0.43050992 00 |
| 0.110791000-01 | -0.100340310 00 | -0.315704080-01 | -0.305002040-01 | 0.700307190-02 | 0.812300300-02 |
| 0.400041900 00 | 0.190054300-01 | -0.622785750 00 | -0.328375520 00 | 0.128539760-01 | -0.610080480 00 |
| 0.265661900-02 | 0.253355390-01 | 0.294611390-01 | -0.341826080-01 | 0.576510280-02 | -0.222067490-02 |
| 0.324001310 00 | -0.451439140 00 | 0.193773150 00 | -0.598971610 00 | -0.247250320 00 | 0.392315370 00 |
| 0.129735000-01 | -0.509304870-01 | 0.576303130-01 | -0.338660290-01 | -0.500321090-01 | 0.467554440-01 |
| 0.485442000 00 | -0.403077130 00 | -0.403064100 00 | -0.175322530 00 | 0.067943950-01 | -0.204995800-01 |
| 0.157000000-01 | -0.213871150-01 | -0.281919100-01 | 0.121774200 00 | 0.134971200 00 | -0.801303310-01 |
| 0.420478600 00 | 0.504500000 00 | 0.514608000 00 | -0.404534700 00 | -0.182576780 00 | -0.467099490 00 |
| 0.593762900-02 | 0.312731940-01 | 0.112811550-02 | -0.363476840-01 | -0.906537540-01 | 0.440539980-01 |

CURSIVANFLS DE PIPIPAVACIURI

| ATENUACION | VELOCIDAD | MEPERS POR MILL | MILL POR SEG. |
|----------------|----------------|-----------------|----------------|
| 0.420404930-03 | 0.106116100 00 | 0.182238330 06 | 0.182769870 06 |
| 0.100000000-03 | 0.182238330 06 | 0.177638680 06 | 0.183767600 06 |
| 0.125013420-03 | 0.184061810 06 | 0.117121740-03 | 0.110304710-03 |

INFLUENCIA CARACTERISTICA

| | | | | |
|----------------|-----------------|-----------------|-----------------|-----------------|
| 0.130942300 03 | -0.140723940 03 | 0.132197300 03 | 0.112132170 03 | 0.10444310 03 |
| 0.174432500 02 | -0.187545010 02 | -0.183370060 02 | -0.204540860-02 | -0.187747340 02 |
| 0.437490970 03 | 0.156700870 03 | 0.133168580 03 | 0.125946500 03 | 0.113509940 03 |
| 0.378247300 02 | -0.207771300 02 | -0.196991270 02 | -0.222770840 02 | -0.203708800 02 |
| 0.113330000 03 | 0.300929040 03 | 0.369740700 02 | 0.727074430 02 | 0.652941590 02 |
| 0.120184310 02 | -0.273147430 02 | -0.110806920 02 | -0.132627800 02 | -0.117333650 02 |
| 0.148570200 03 | 0.124517010 03 | 0.420296140 03 | 0.192114650 03 | 0.164506650 03 |
| 0.256258090 02 | -0.253776820 02 | -0.404183110 02 | -0.255922550 02 | -0.247341610 02 |
| 0.741300490 02 | 0.674041750 02 | 0.135121350 03 | 0.310853030 03 | 0.130342850 03 |
| 0.907097910 01 | -0.899736500 01 | -0.807194810 01 | -0.290901000 02 | -0.877396870 01 |
| 0.932444470 02 | 0.786841200 02 | 0.12801340 03 | 0.151199420 03 | 0.406921140 03 |
| 0.153136720 02 | -0.158099920 02 | -0.150797200 02 | -0.160751040 02 | -0.310030060 02 |

ADMI PARCIA CARACTERISTICA

| | | | | | |
|----------------|-----------------|----------------|----------------|----------------|----------------|
| 0.11146470-02 | 0.594919010-03 | 0.630425900-03 | 0.519193940-03 | 0.294950710-03 | 0.213507240-03 |
| 0.181125300-03 | 0.277774670-04 | 0.439515420-04 | 0.296857470-04 | 0.587673810-06 | 0.210586220-05 |
| 0.595807110-03 | 0.2904401800-04 | 0.517172800-03 | 0.306810030-03 | 0.304791610-03 | 0.148993590-03 |
| 0.184851670-04 | 0.1708885620-03 | 0.218672310-04 | 0.270581490-05 | 0.446261950-05 | 0.107959070-04 |
| 0.705947050-03 | 0.402503360-04 | 0.293856510-02 | 0.271725470-03 | 0.237221010-03 | 0.181784400-03 |
| 0.402503360-04 | 0.293856510-02 | 0.187625420-03 | 0.95909780-05 | 0.113589760-04 | 0.145530060-04 |
| 0.440310110-03 | 0.2771441140-03 | 0.123798440-03 | 0.342330970-02 | 0.104474930-02 | 0.402208420-03 |
| 0.358502730-04 | 0.175182210-04 | 0.251691290-05 | 0.222051430-03 | 0.115177190-03 | 0.150000430-04 |
| 0.392051100-03 | 0.4009068230-03 | 0.277346230-03 | 0.125764750-02 | 0.424512100-02 | 0.10372040-02 |
| 0.191082220-04 | 0.4009068230-03 | 0.259639780-04 | 0.107157020-03 | 0.359411580-03 | 0.860584550-04 |
| 0.222456010-03 | 0.2055431500-03 | 0.16456850-03 | 0.507958470-03 | 0.100086750-02 | 0.309448710-02 |
| 0.232494950-05 | 0.591391180-05 | 0.928820100-05 | 0.112809000-04 | 0.898034760-04 | 0.108533890-03 |

LA MATRIZ IMPEDANCIA SERIE DEL EQUIVALENTE PI ES:

| | | | | | |
|-----------------|-----------------|-----------------|----------------|-----------------|----------------|
| 0.11146470-02 | 0.2101444700-02 | 0.207946780-02 | 0.211840670-02 | 0.217748730-02 | 0.208884900-02 |
| 0.206703630-03 | 0.594914700-02 | 0.591309170-02 | 0.955041660-02 | 0.834141390-02 | 0.812130280-02 |
| 0.218344420-02 | 0.29013840-02 | 0.215695340-02 | 0.214524080-02 | 0.221655730-02 | 0.211861570-02 |
| 0.2949151150-02 | 0.209232820-03 | 0.941771530-02 | 0.862672530-02 | 0.801628520-02 | 0.762729950-02 |
| 0.207947000-02 | 0.215096500-02 | 0.227135020-02 | 0.208936450-02 | 0.215041960-02 | 0.206411920-02 |
| 0.191125300-02 | 0.2941789500-02 | 0.2075175300-03 | 0.811475980-02 | 0.748409420-02 | 0.726705900-02 |
| 0.211144600-02 | 0.214525910-02 | 0.208956780-02 | 0.208194730-02 | 0.214344180-02 | 0.211458440-02 |
| 0.2955045700-02 | 0.2082672420-02 | 0.911477360-02 | 0.204706920-03 | 0.1075532910-03 | 0.978075870-02 |
| 0.211795020-02 | 0.2210300100-02 | 0.215044710-02 | 0.214345250-02 | 0.338358000-02 | 0.211444600-02 |
| 0.331906020-02 | 0.290828570-02 | 0.748225400-02 | 0.107353260-03 | 0.173464780-03 | 0.102902530-03 |
| 0.208869170-02 | 0.211876940-02 | 0.206374050-02 | 0.211460110-02 | 0.211436770-02 | 0.329604950-02 |
| 0.581194670-02 | 0.202723000-02 | 0.728208650-02 | 0.978076930-02 | 0.102902300-03 | 0.206574880-03 |

LA MATRIZ DE ADMITANCIA SHUNT DEL EQUIVALENTE PI ES:

| | | | | | |
|----------------|----------------|----------------|----------------|----------------|----------------|
| 0.154957300-05 | 0.302335820-06 | 0.355695870-06 | 0.214906370-06 | 0.679497870-06 | 0.537308440-06 |
| 0.683334670-03 | 0.916021530-04 | 0.174219040-03 | 0.185254030-04 | 0.358446270-04 | 0.208782750-04 |
| 0.302335820-06 | 0.916021530-04 | 0.174219040-03 | 0.185254030-04 | 0.358446270-04 | 0.208782750-04 |
| 0.355695870-06 | 0.214906370-06 | 0.679497870-06 | 0.537308440-06 | 0.154957300-05 | 0.683334670-03 |
| 0.214906370-06 | 0.355695870-06 | 0.154957300-05 | 0.683334670-03 | 0.302335820-06 | 0.916021530-04 |
| 0.355695870-06 | 0.214906370-06 | 0.679497870-06 | 0.537308440-06 | 0.154957300-05 | 0.683334670-03 |
| 0.214906370-06 | 0.355695870-06 | 0.154957300-05 | 0.683334670-03 | 0.302335820-06 | 0.916021530-04 |
| 0.355695870-06 | 0.214906370-06 | 0.679497870-06 | 0.537308440-06 | 0.154957300-05 | 0.683334670-03 |
| 0.214906370-06 | 0.355695870-06 | 0.154957300-05 | 0.683334670-03 | 0.302335820-06 | 0.916021530-04 |
| 0.355695870-06 | 0.214906370-06 | 0.679497870-06 | 0.537308440-06 | 0.154957300-05 | 0.683334670-03 |
| 0.214906370-06 | 0.355695870-06 | 0.154957300-05 | 0.683334670-03 | 0.302335820-06 | 0.916021530-04 |

MATRIZ IMPEDANCIA SERIE DEL EQUIVALENTE T

| | | | | | | | | | |
|------------------|------------------|------------------|----------------|-----------------|-----------------|-----------------|----------------|-----------------|-----------------|
| 0.12020692500-02 | 0.112587470-03 | 0.14200000000-02 | 0.539081420-02 | 0.1413072700-02 | 0.4691435820-02 | 0.1415023740-02 | 0.434283450-02 | 0.1364956240-02 | 0.4231593300-02 |
| 0.14200000000-02 | 0.112587470-03 | 0.14200000000-02 | 0.539081420-02 | 0.1413072700-02 | 0.4691435820-02 | 0.1415023740-02 | 0.434283450-02 | 0.1364956240-02 | 0.4231593300-02 |
| 0.14200000000-02 | 0.112587470-03 | 0.14200000000-02 | 0.539081420-02 | 0.1413072700-02 | 0.4691435820-02 | 0.1415023740-02 | 0.434283450-02 | 0.1364956240-02 | 0.4231593300-02 |
| 0.539081420-02 | 0.14200000000-02 | 0.14200000000-02 | 0.539081420-02 | 0.1413072700-02 | 0.4691435820-02 | 0.1415023740-02 | 0.434283450-02 | 0.1364956240-02 | 0.4231593300-02 |
| 0.14200000000-02 | 0.112587470-03 | 0.14200000000-02 | 0.539081420-02 | 0.1413072700-02 | 0.4691435820-02 | 0.1415023740-02 | 0.434283450-02 | 0.1364956240-02 | 0.4231593300-02 |
| 0.112587470-03 | 0.14200000000-02 | 0.14200000000-02 | 0.539081420-02 | 0.1413072700-02 | 0.4691435820-02 | 0.1415023740-02 | 0.434283450-02 | 0.1364956240-02 | 0.4231593300-02 |
| 0.14200000000-02 | 0.112587470-03 | 0.14200000000-02 | 0.539081420-02 | 0.1413072700-02 | 0.4691435820-02 | 0.1415023740-02 | 0.434283450-02 | 0.1364956240-02 | 0.4231593300-02 |
| 0.539081420-02 | 0.14200000000-02 | 0.14200000000-02 | 0.539081420-02 | 0.1413072700-02 | 0.4691435820-02 | 0.1415023740-02 | 0.434283450-02 | 0.1364956240-02 | 0.4231593300-02 |
| 0.14200000000-02 | 0.112587470-03 | 0.14200000000-02 | 0.539081420-02 | 0.1413072700-02 | 0.4691435820-02 | 0.1415023740-02 | 0.434283450-02 | 0.1364956240-02 | 0.4231593300-02 |
| 0.112587470-03 | 0.14200000000-02 | 0.14200000000-02 | 0.539081420-02 | 0.1413072700-02 | 0.4691435820-02 | 0.1415023740-02 | 0.434283450-02 | 0.1364956240-02 | 0.4231593300-02 |

MATRIZ ADMITANCIA SHUNT DEL EQUIVALENTE T

| | | | | | | | | | |
|-----------------|-----------------|-----------------|-----------------|----------------|----------------|----------------|----------------|----------------|----------------|
| 0.3581835770-05 | 0.130019700-02 | 0.253022500-06 | 0.183242100-03 | 0.108246600-05 | 0.207254950-03 | 0.637735010-04 | 0.163870730-03 | 0.637735010-04 | 0.163870730-03 |
| 0.130019700-02 | 0.3581835770-05 | 0.253022500-06 | 0.183242100-03 | 0.108246600-05 | 0.207254950-03 | 0.637735010-04 | 0.163870730-03 | 0.637735010-04 | 0.163870730-03 |
| 0.253022500-06 | 0.130019700-02 | 0.3581835770-05 | 0.183242100-03 | 0.108246600-05 | 0.207254950-03 | 0.637735010-04 | 0.163870730-03 | 0.637735010-04 | 0.163870730-03 |
| 0.183242100-03 | 0.253022500-06 | 0.130019700-02 | 0.3581835770-05 | 0.108246600-05 | 0.207254950-03 | 0.637735010-04 | 0.163870730-03 | 0.637735010-04 | 0.163870730-03 |
| 0.3581835770-05 | 0.130019700-02 | 0.253022500-06 | 0.183242100-03 | 0.108246600-05 | 0.207254950-03 | 0.637735010-04 | 0.163870730-03 | 0.637735010-04 | 0.163870730-03 |
| 0.130019700-02 | 0.3581835770-05 | 0.253022500-06 | 0.183242100-03 | 0.108246600-05 | 0.207254950-03 | 0.637735010-04 | 0.163870730-03 | 0.637735010-04 | 0.163870730-03 |
| 0.253022500-06 | 0.130019700-02 | 0.3581835770-05 | 0.183242100-03 | 0.108246600-05 | 0.207254950-03 | 0.637735010-04 | 0.163870730-03 | 0.637735010-04 | 0.163870730-03 |
| 0.183242100-03 | 0.253022500-06 | 0.130019700-02 | 0.3581835770-05 | 0.108246600-05 | 0.207254950-03 | 0.637735010-04 | 0.163870730-03 | 0.637735010-04 | 0.163870730-03 |
| 0.3581835770-05 | 0.130019700-02 | 0.253022500-06 | 0.183242100-03 | 0.108246600-05 | 0.207254950-03 | 0.637735010-04 | 0.163870730-03 | 0.637735010-04 | 0.163870730-03 |
| 0.130019700-02 | 0.3581835770-05 | 0.253022500-06 | 0.183242100-03 | 0.108246600-05 | 0.207254950-03 | 0.637735010-04 | 0.163870730-03 | 0.637735010-04 | 0.163870730-03 |

C A P I T U L O I V

CONCLUSIONES Y RECOMENDACIONES

En el desarrollo de las ecuaciones para obtener los equivalentes de líneas de transmisión, se llegan a expresiones para el voltaje y la corriente en cualquier punto de la línea, en función de los voltajes y corrientes en el extremo receptor, y que van a ser analizadas con el propósito de obtener toda la información que se derive de ellas. Así, las expresiones de corriente y voltaje que se obtuvieron son:

$$\bar{v} = Y^{-1} M \boxed{\cosh(\gamma_j x)} M^{-1} Y \bar{v}_r + Y^{-1} M \boxed{\gamma_j \sinh(\gamma_j x)} M^{-1} \bar{i}_r \quad 4.1$$

$$\bar{i} = M \boxed{\sinh(\gamma_j x)} \boxed{\frac{1}{\gamma_j}} M^{-1} Y \bar{v}_r + M \boxed{\cosh(\gamma_j x)} M^{-1} \bar{i}_r \quad 4.2$$

Pero del Anexo N° 1:

$$g(YZ) = M g(\boxed{\gamma_j^2}) M^{-1}$$

De ahí que:

$$\sqrt{YZ} = M \boxed{\gamma_j} M^{-1} \quad ; \quad \sqrt{ZY} = M \boxed{\gamma_j} M^{-1}$$

y:

$$\cosh(\sqrt{YZ} x) = M \boxed{\cosh(\gamma_j x)} M^{-1}$$

.../...

reemplazando en las ecuaciones 4.1 y 4.2 se tiene:

$$\bar{v} = Y^{-1} [\cosh(\sqrt{Y Z x})] Y \bar{v}_r + Y^{-1} \sqrt{Y Z} [\sinh(\sqrt{Y Z x})] \bar{i}_r$$

$$\bar{i} = [\sinh(\sqrt{Y Z x})] Z^{-1} Y^{-1} Y \bar{v}_r + [\cosh(\sqrt{Y Z x})] \bar{i}_r$$

Pero

$$Y = M \boxed{\gamma_j^2} M^{-1} Z^{-1}$$

$$Y^{-1} = Z M \boxed{\gamma_j^{-2}} M^{-1}$$

Reemplazando:

$$\bar{v} = Z M \boxed{\gamma_j^{-2}} M^{-1} [\cosh(\sqrt{Y Z x})] Y \bar{v}_r + \sqrt{Y^{-1} Z} [\sinh(\sqrt{Y Z x})] \bar{i}_r$$

$$\bar{i} = [\sinh(\sqrt{Y Z x})] \sqrt{Z^{-1} Y} \bar{v}_r + [\cosh(\sqrt{Y Z x})] \bar{i}_r$$

$$\bar{v} = Z Z^{-1} [\cosh(\sqrt{Y Z x})] Y^{-1} Y \bar{v}_r + Z_0 [\sinh(\sqrt{Y Z x})] \bar{i}_r$$

$$\bar{i} = [\sinh(\sqrt{Y Z x})] Z_0^{-1} \bar{v}_r + [\cosh(\sqrt{Y Z x})] \bar{i}_r$$

Por último:

$$\bar{v} = [\cosh(\sqrt{Y Z x})] \bar{v}_r + Z_0 [\sinh(\sqrt{Y Z x})] \bar{i}_r$$

$$\bar{i} = [\sinh(\sqrt{Y Z x})] Z_0^{-1} \bar{v}_r + [\cosh(\sqrt{Y Z x})] \bar{i}_r$$

Desarrollando los sinh y cosh en forma exponencial:

$$\bar{v} = \frac{[e^{\sqrt{Y Z x}}] + [e^{-\sqrt{Y Z x}}]}{2} \bar{v}_r + Z_0 \frac{[e^{\sqrt{Y Z x}}] - [e^{-\sqrt{Y Z x}}]}{2} \bar{i}_r$$

$$\bar{v} = \frac{[e^{\sqrt{Y Z x}}] \bar{v}_r + Z_0 [e^{\sqrt{Y Z x}}] \bar{i}_r}{2} - \frac{[e^{-\sqrt{Y Z x}}] \bar{v}_r - Z_0 [e^{-\sqrt{Y Z x}}] \bar{i}_r}{2}$$

.../...

$$\bar{i} = \frac{\left[e^{\sqrt{Y Z} x} \right] Z_0^{-1} \bar{v}_r + \left[e^{\sqrt{Y Z} x} \right] \bar{i}_r}{2} - \frac{\left[e^{-\sqrt{Y Z} x} \right] Z_0^{-1} \bar{v}_r + \left[e^{-\sqrt{Y Z} x} \right] \bar{i}_r}{2}$$

Si se compara estas dos ecuaciones con las obtenidas en: "Análisis de Sistemas Eléctricos de Potencia", de William D. Stevenson, 1970, pág.

112, se puede observar que tienen la misma forma:

$$v = \frac{V_r + I_r/Z_0}{2} e^{\alpha x} e^{j\beta x} + \frac{V_r - I_r/Z_0}{2} e^{-\alpha x} e^{-j\beta x}$$

$$i = \frac{V_r/Z_0 + I_r}{2} e^{\alpha x} e^{j\beta x} - \frac{V_r/Z_0 - I_r}{2} e^{-\alpha x} e^{-j\beta x}$$

Mediante estas ecuaciones se puede entender el comportamiento de las líneas en cuanto a atenuación, amortiguamiento, ondas incidentes y reflejadas en el extremo.

Las fórmulas dadas para los elementos de los circuitos equivalentes - PI y T, dan la idea de hallar factores de corrección para aquellos modelos que se encuentran mediante el uso de los modelos nominales.

Suponiendo que Z' es la matriz impedancia del equivalente PI nominal, y Y' la matriz admitancia del mismo, y que por otro lado, Y y Z son las matrices del equivalente PI considerando parámetros distribuidos, entonces:

$$Z_{PI}' = R_{\pi} + jX_{\pi}$$

$$Z_{PI} = R_{\pi} + jX_{\pi}$$

$$R_{\pi} = R_{\pi}' * fc(R_{\pi}) * l$$

$$X_{\pi} = X_{\pi}' * fc(X_{\pi}) * l$$

Donde:

R_{π} = Matriz de resistencias del PI con parámetros distribuidos.

R_{π}' = Matriz de resistencias del PI nominal.

X_{π} = Matriz de reactancias inductivas del PI con parámetros distribuidos.

X_{π}' = Matriz de reactancias inductivas del PI nominal.

$fc(R_{\pi})$ = Factor de corrección de resistencias del PI.

$fc(X_{\pi})$ = Factor de corrección de reactancias inductivas del PI.

Por otro lado:

$$Y_{PI} = Y_{PI}' * fc(Y_{PI}) * \frac{\varnothing_{\pi}}{2} * l/2$$

Donde:

Y_{PI} = Admitancia shunt del equivalente PI con parámetros distribuidos.

Y_{PI}' = Admitancia shunt del equivalente PI nominal.

$fc(Y_{PI})$ = Factor de corrección de admitancias, módulo.

\varnothing_{π} = Angulo del factor de corrección de admitancias.

l = Longitud de la línea.

De igual manera si se analiza el circuito equivalente T se tiene:

../..

$$ZT' = R'_t + jX'_t$$

$$ZT = R_t + X_t$$

$$YT = YT' * fc(Y_t) \left| \frac{\vartheta_t}{l} \right| * 1$$

$$R_t = R'_t * fc(R_t) * 1/2$$

$$X_t = X'_t * fc(X_t) * 1/2$$

R_t = Matriz de resistencia del equivalente T con parámetros distribuídos.

R'_t = Matriz de resistencias del equivalente T nominal.

X_t = Matriz de reactancias inductivas del equivalente T con parámetros distribuídos.

X'_t = Matriz de reactancias inductivas del T nominal.

YT = Admitancia shunt del T con parámetros distribuídos.

YT' = Admitancia shunt del T nominal.

fc(R_t) = Factor de corrección de resistencias del T.

fc(X_t) = Factor de corrección de reactancias inductivas del T.

fc(Y_t) = Factor de corrección de admitancias, módulo.

ϑ_t = Angulo del factor de corrección de admitancias.

l = Longitud de la línea.

Mediante los resultados obtenidos al correr el programa para varias - longitudes se obtuvieron las siguientes curvas de corrección:

.../...

C U R V A-S

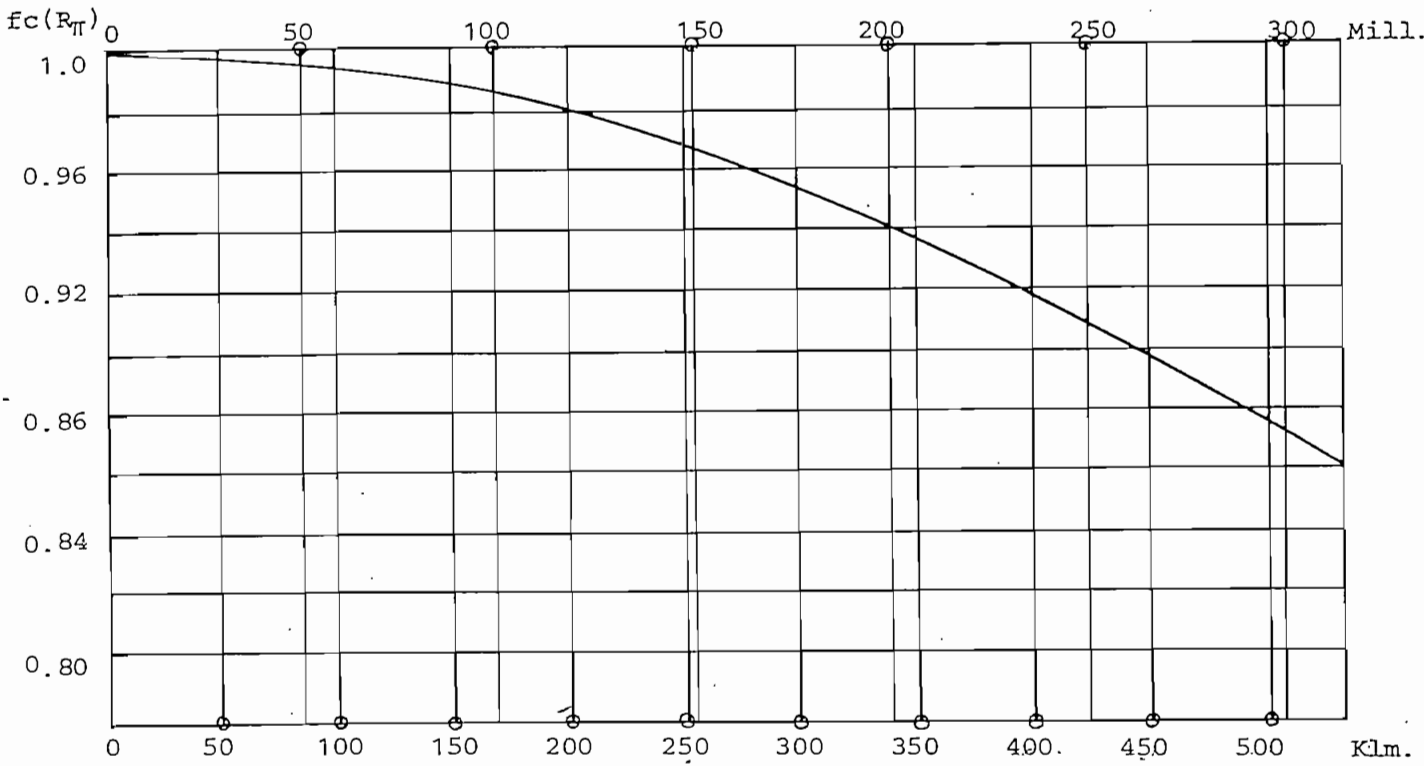


Fig. N°4.1. Factor de Correccion de R_π .

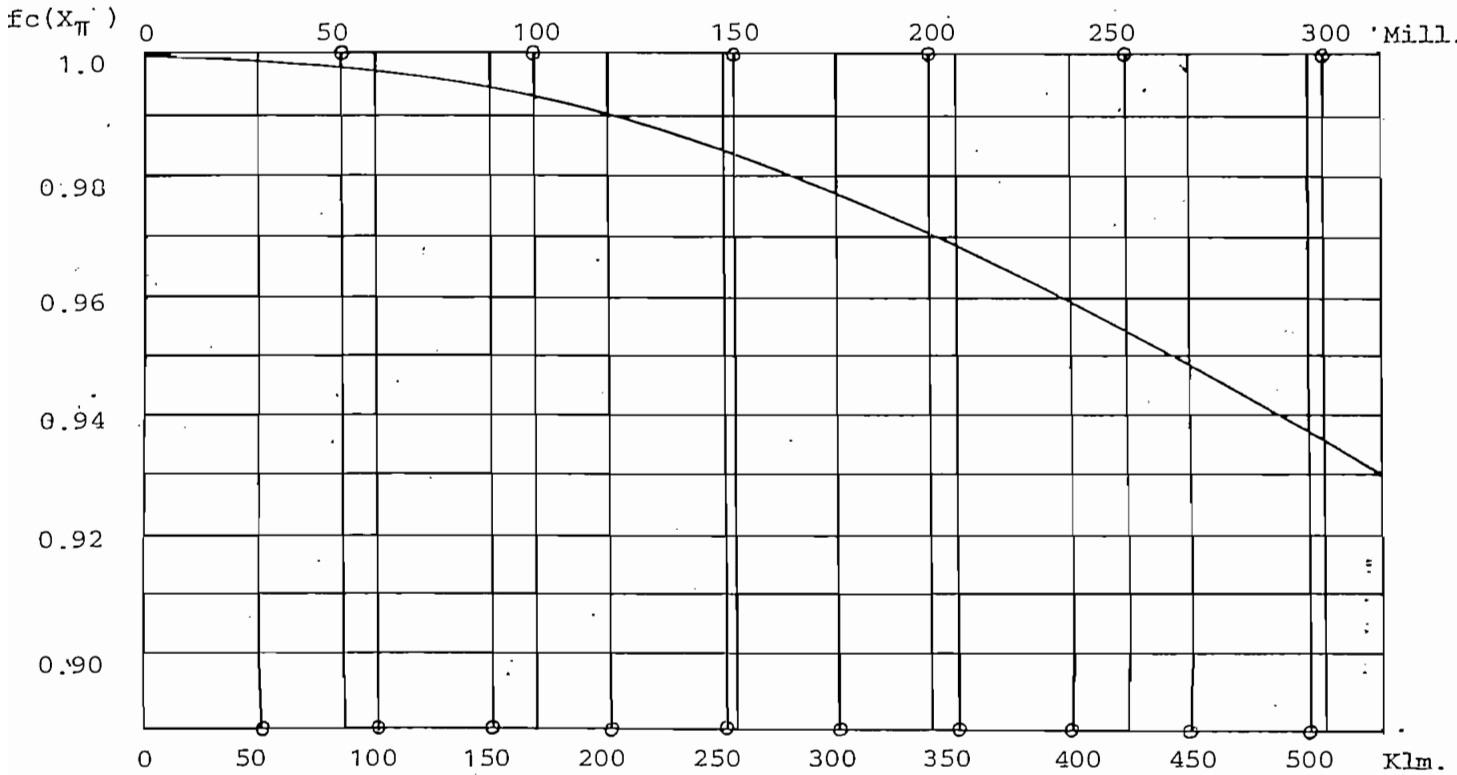


Fig. N°4.2. Factor de Correccion de X_π .

$fc(\gamma_{\pi})$

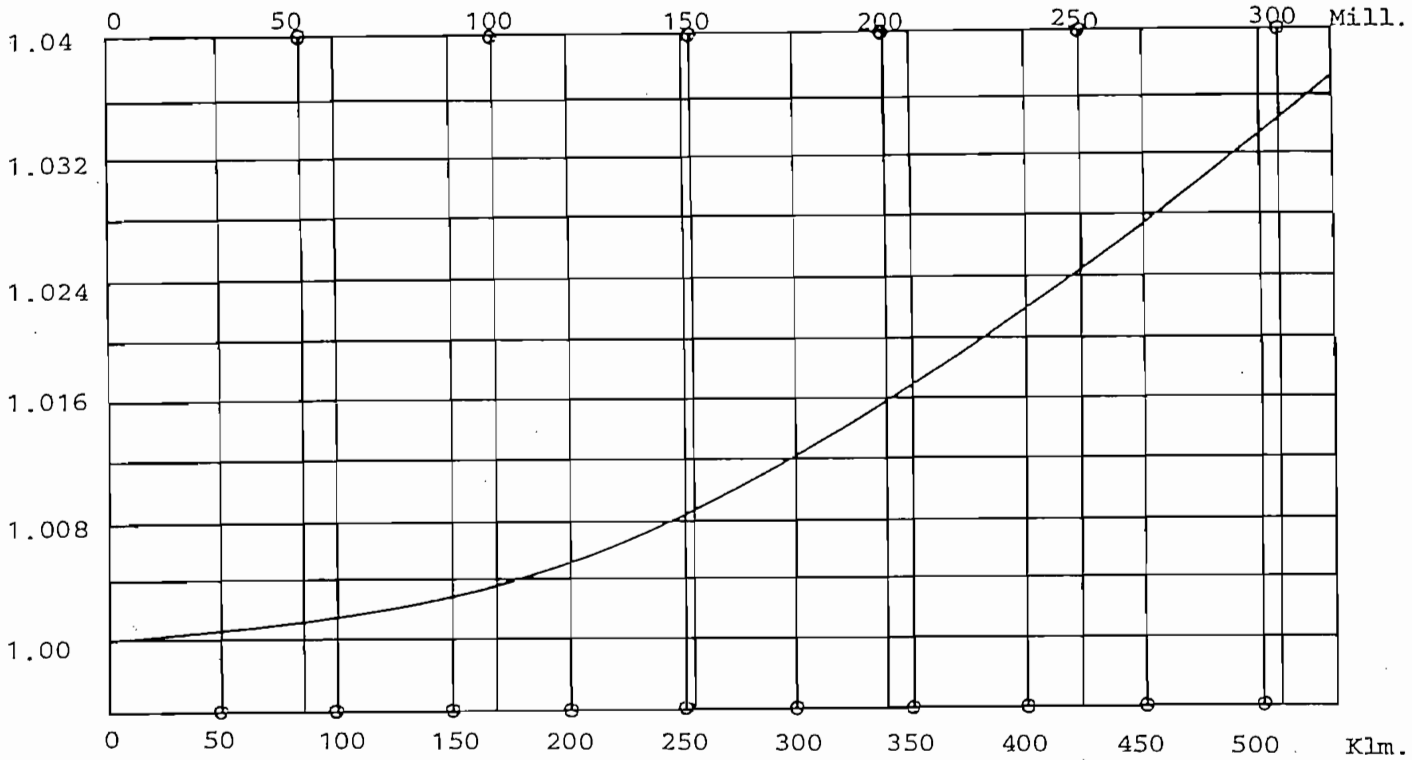


Fig. 4.3. Curva del Factor de Correccion γ_{π} .

$fc(\vartheta_{\pi})$

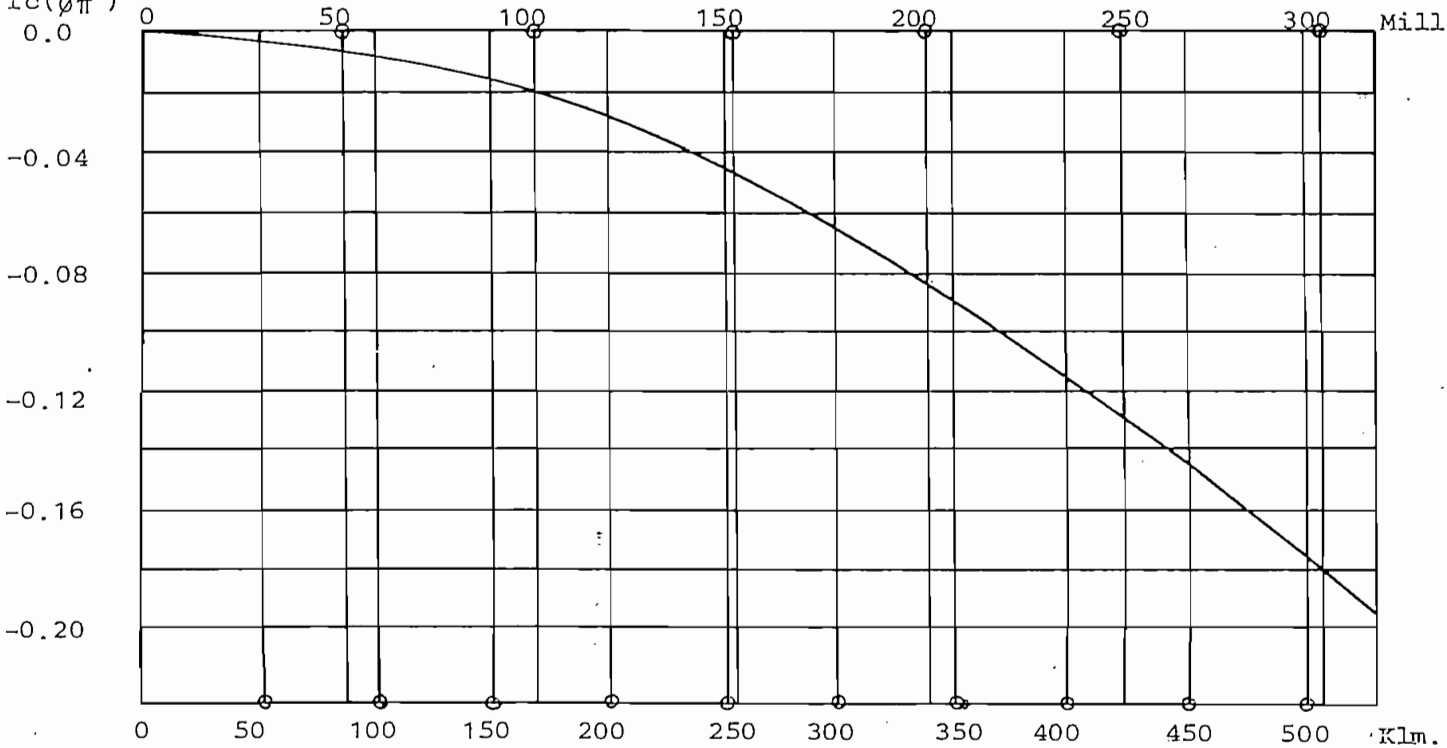


Fig. N° 4.4. Curva del Factor de Correccion de ϑ_{π} .

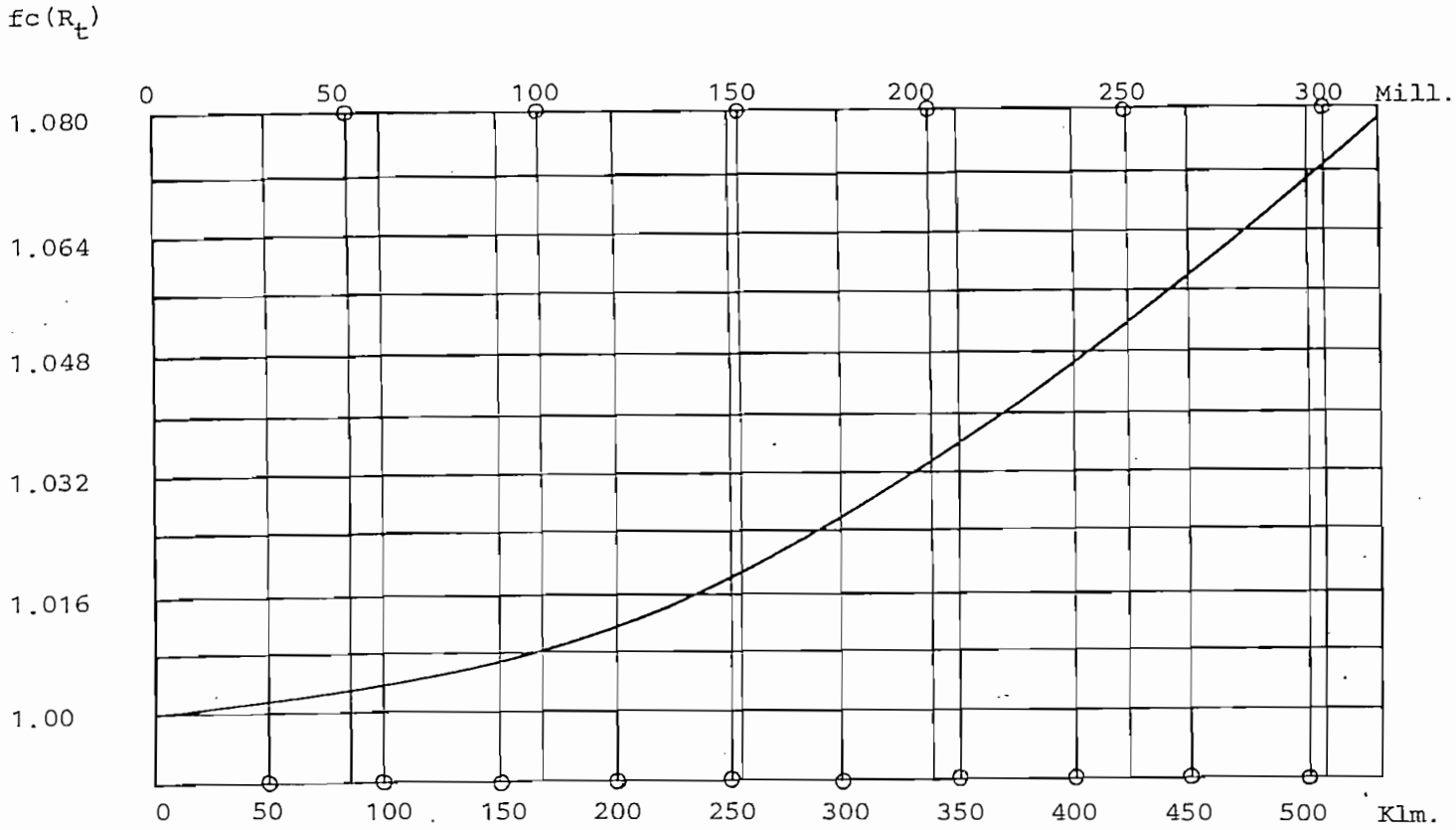


Fig. N°4.5 Curva del Factor de Correccion R_t .

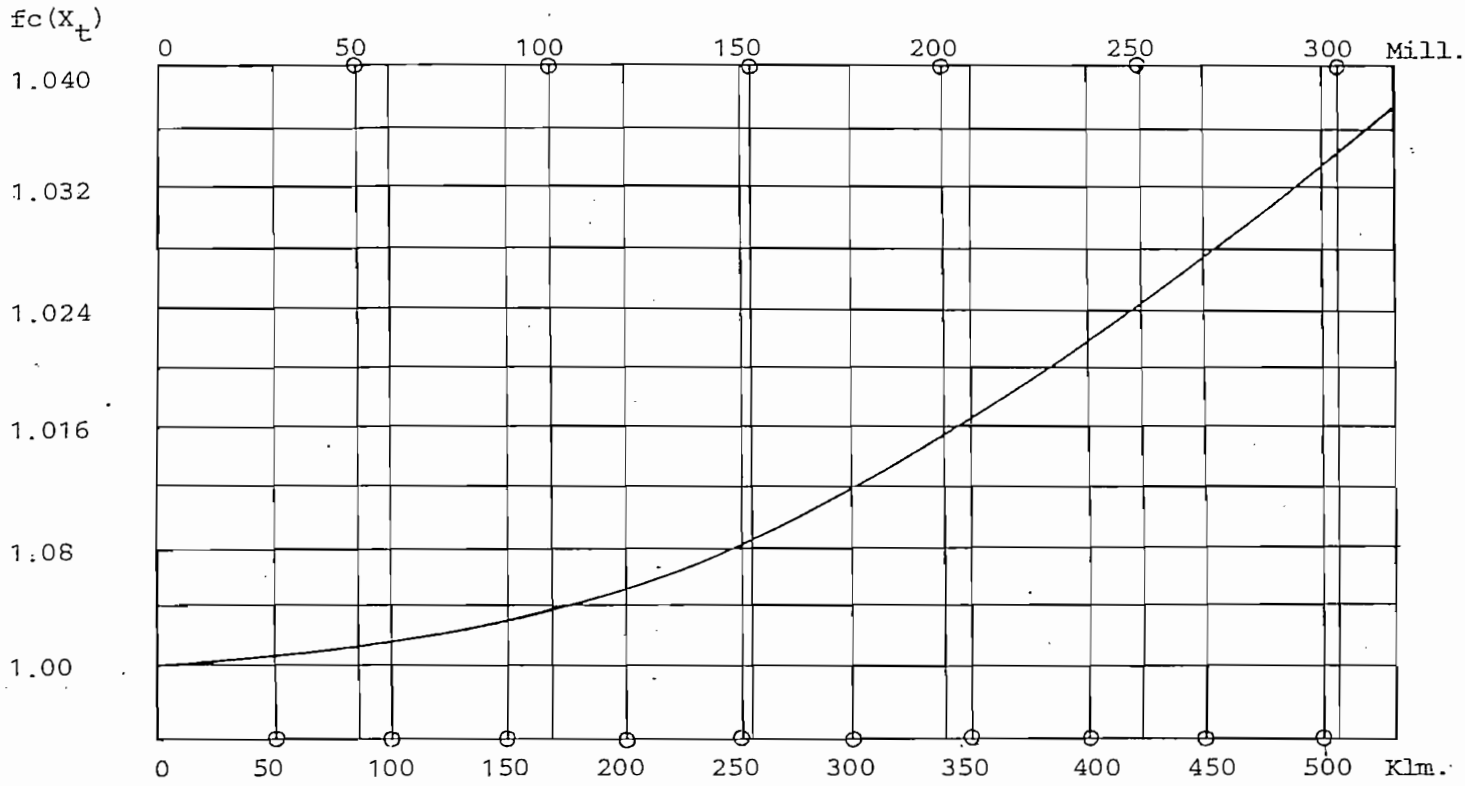


Fig. N°4.6. Curva del Factor de Correccion de X_t

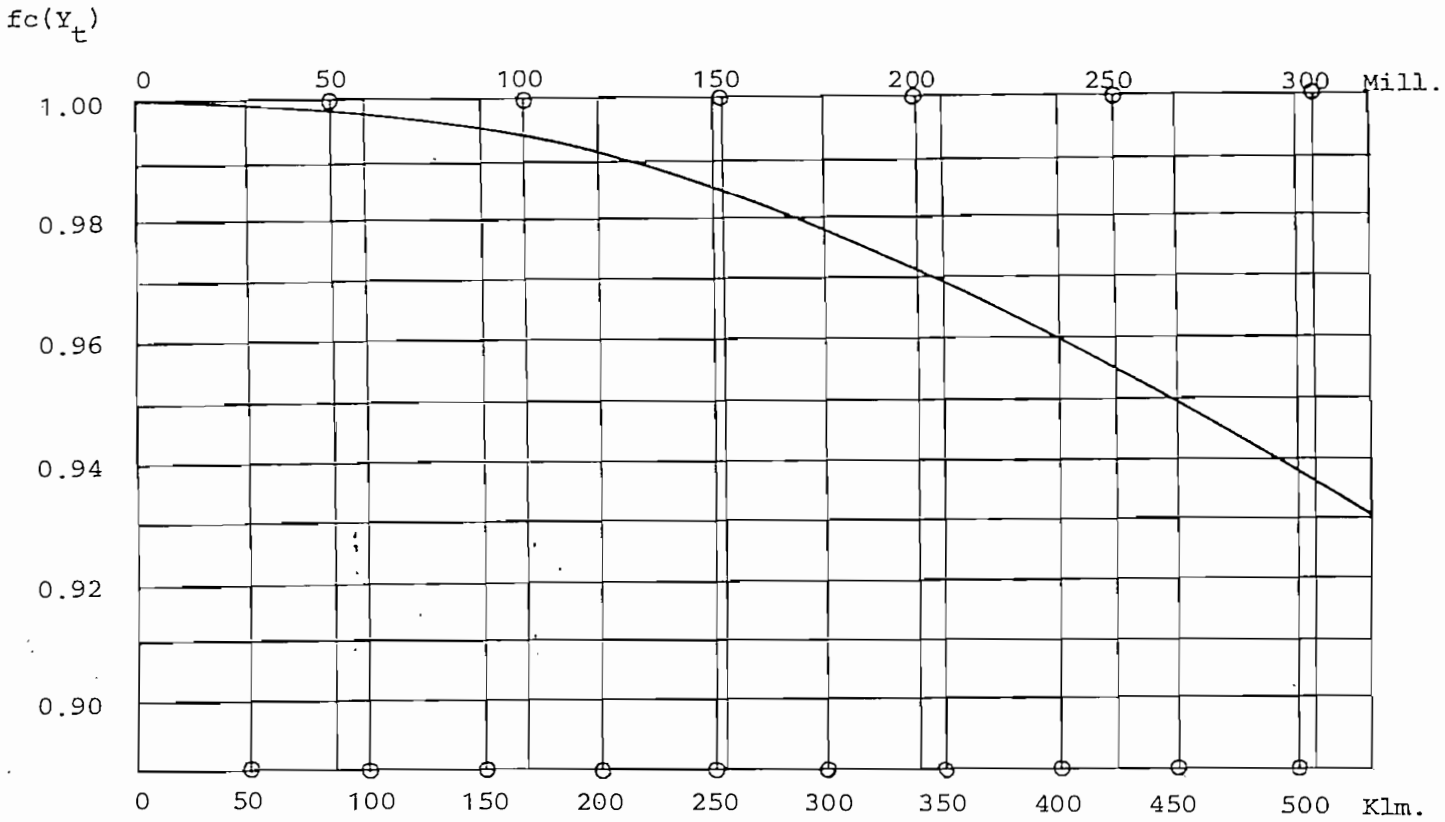


Fig. N° 4.7. Curva del Factor de Correccion Y_t .

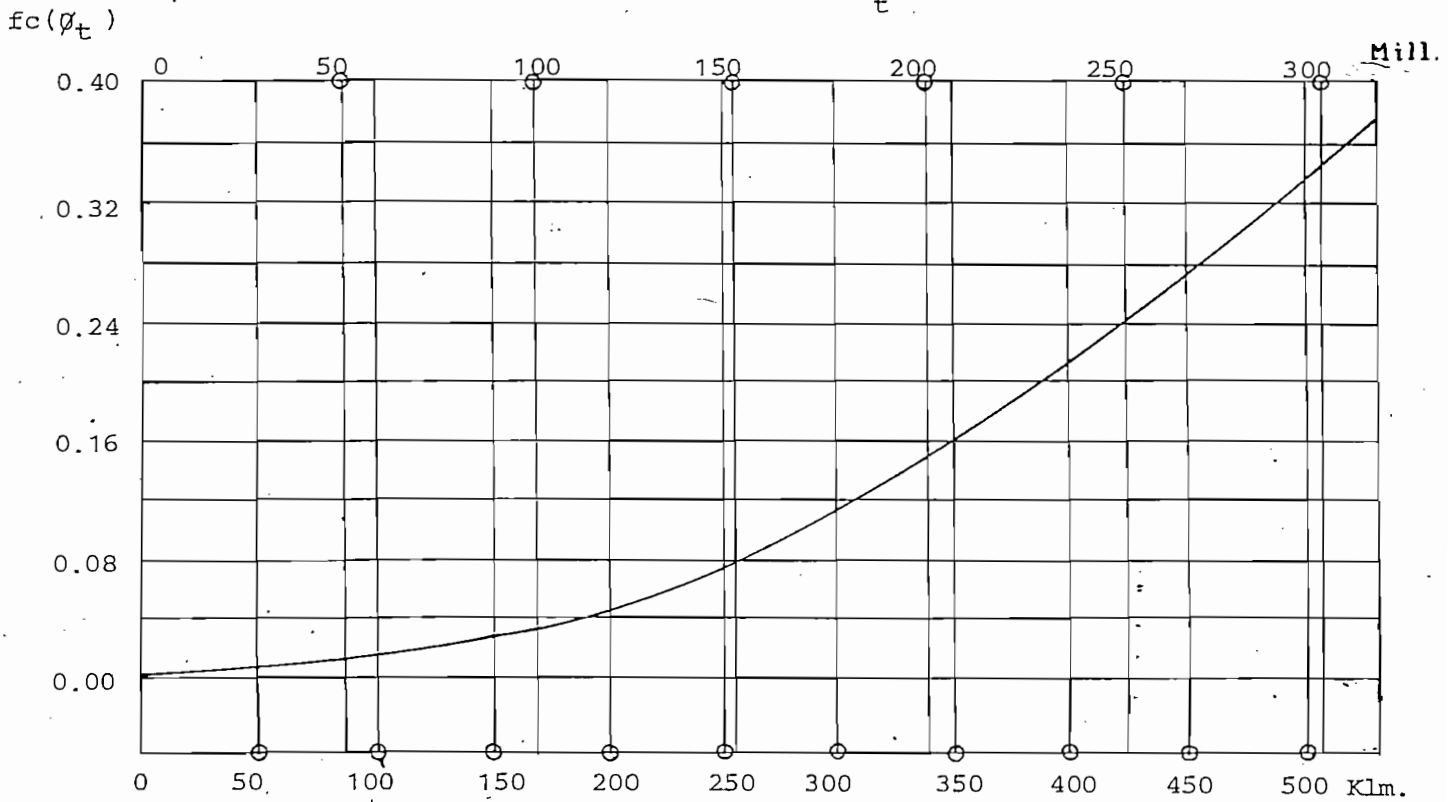


Fig. N°4.8. Curva del Factor de Correccion \varnothing_t .

Mediante el uso de estas curvas se puede obtener, sin necesidad de correr el programa, una aproximación aceptable, si es que no se necesita de mucha precisión, para casos de análisis exhaustivos se tendrá que correr el programa obteniendo de esta manera los mejores resultados. (Ver referencia N° 10).

Ejemplo de uso de factores:

Aplicando a los elementos (3,3) ; de Y y Z de la Referencia N° 3:

$$z \text{ por milla} = 0,04663 + j \cdot 0,53724 \quad \text{ohms/milla}$$

$$y \text{ por milla} = 0 + j \cdot 8,0101 \times 10^{-6} \quad \text{mhos/milla}$$

Longitud 200 millas.

$$r_{33} = r'_{33} \times fc(R\pi) * 1$$

$$r_{33} = 0,04663 \times 200 \times 0.945 = 8,813 \quad \text{ohms}$$

$$x_{33} = x'_{33} * fc(X\pi) * 1$$

$$x_{33} = 0,53724 \times 200 \times 0.972 = 104,439 \quad \text{ohms}$$

$$y_{33} = Y'_{33} \times fc(Y\pi) \left| \frac{\phi\pi}{2} * 1/2 \right.$$

$$y_{33} = (0 + j \cdot 8,0101 \times 10^{-6}) \times \frac{200}{2} \times (1.0144 \left| -0,081^\circ \right.)$$

$$y_{33} = (8,0101 \times 10^{-6} \left| 90^\circ \right.) \times 100 \times (1.0144 \left| -0,081^\circ \right.)$$

$$y_{33} = 8,12552 \times 10^{-4} \left| 89,92^\circ \right.$$

$$y_{33} = 1,1487 \times 10^{-6} + 8,12552 \times 10^{-4}$$

De esta manera se obtienen los elementos del equivalente PI corregidos.

..//..

Que si los comparamos con los valores de la salida del Manual de Uso, tienen valores muy semejantes. por otro lado, si se requieren de resultados mas precisos, indudablemente , debe correrse el programa.

A N E X O N° 1

VALORES Y VECTORES CARACTERISTICOS DE MATRICES COMPLEJAS

Este tema es por sí solo bastante amplio, y se aplica en el presente - trabajo al resolver una serie de ecuaciones linealmente independientes con n incógnitas de la forma:

$$a_{11}x_1 + a_{12}x_2 + \dots + a_{1n}x_n = y_1$$

$$a_{21}x_1 + a_{22}x_2 + \dots + a_{2n}x_n = y_2$$

$$\cdot \quad \cdot \quad \cdot \quad \cdot$$

$$\cdot \quad \cdot \quad \cdot \quad \cdot$$

$$a_{n1}x_1 + a_{n2}x_2 + \dots + a_{nn}x_n = y_n$$

Que mediante la notación simplificada es:

$$\bar{A}\bar{x} = \bar{y}$$

\bar{A} es una matriz cuadrada $n \times n$; \bar{x} y \bar{y} son vectores columna de orden n .

El problema es determinar un vector \bar{x} (llamado vector característico), quien será transformado por la matriz \bar{A} en un vector Y , cuyas coordenadas son proporcionadas a las de \bar{x} , o sea, que tenga la misma dirección en el espacio vectorial. Esto es, determinar un vector \bar{x} que sa

..//..

tisfaga la ecuación:

$$A\bar{x} = \lambda\bar{x} \quad ; \quad \bar{y} = \lambda\bar{x}$$

Donde λ (llamado valor característico) es un escalar real o complejo que puede ser también determinado.

Agrupando términos, y haciendo uso de la ley distributiva de la multiplicación:

$$(A - \lambda^2 I) \bar{x} = \bar{0} \tag{A1.1}$$

1 Matriz escalar unitaria.

Este sistema tiene solución no trivial si:

$$A - \lambda^2 I = 0$$

Demostración:

Supóngase que $\bar{m} \neq 0$ y $A - \lambda^2 I \neq 0$; y que debe cumplirse la ecuación:

$$(A - \lambda^2 I) \bar{x} = \bar{0}$$

Si $A - \lambda^2 I \neq 0$, entonces la inversa de $A - \lambda^2 I$ existe y:

$$(A - \lambda^2 I)^{-1} (A - \lambda^2 I) \bar{m} = (A - \lambda^2 I)^{-1} \bar{0}$$

$$\bar{m} = \bar{0}$$

Que contradice la suposición inicial. Con lo que queda demostrado -

que $A - \lambda^2 I = 0$

Que desarrollada:

$$\begin{vmatrix} a_{11} - \lambda^2 & a_{12} & a_{13} \\ a_{21} & a_{22} - \lambda^2 & a_{23} \\ a_{31} & a_{32} & a_{33} - \lambda^2 \end{vmatrix} = 0$$

.../...

$$(a_{11}-\lambda^2)(a_{22}-\lambda^2)(a_{33}-\lambda^2)+a_{21}a_{32}a_{13}+a_{12}a_{23}a_{31}-a_{31}(a_{22}-\lambda^2)a_{13}-$$

$$a_{32}a_{23}(a_{11}-\lambda^2)-a_{21}a_{12}(a_{33}-\lambda^2)=0$$

$$(a_{11}a_{22}-a_{11}\lambda^2-a_{22}\lambda^2+\lambda^4)(a_{33}-\lambda^2)+a_{21}a_{32}a_{13}+a_{12}a_{23}a_{31}-a_{31}a_{22}a_{13}+$$

$$a_{31}a_{13}\lambda^2-a_{32}a_{23}a_{11}+a_{32}a_{23}\lambda^2-a_{21}a_{12}a_{33}+a_{21}a_{12}\lambda^2=0$$

$$a_{11}a_{22}a_{33}-a_{11}a_{33}\lambda^2-a_{22}a_{33}\lambda^2+a_{33}\lambda^4-a_{11}a_{22}\lambda^2+a_{11}\lambda^4+a_{22}\lambda^4-\lambda^6+$$

$$a_{21}a_{32}a_{13}+a_{12}a_{23}a_{31}-a_{31}a_{22}a_{13}+a_{31}a_{13}\lambda^2-a_{32}a_{23}a_{11}+a_{32}a_{23}\lambda^2-$$

$$a_{21}a_{12}a_{33}+a_{21}a_{12}\lambda^2=0$$

$$-\lambda^6+\lambda^4(a_{11}+a_{22}+a_{33})-\lambda^2(a_{11}a_{33}+a_{22}a_{33}+a_{11}a_{22}-a_{31}a_{13}-a_{32}a_{23}-a_{21}a_{12})+$$

$$a_{11}a_{22}a_{33}+a_{21}a_{32}a_{13}+a_{12}a_{23}a_{31}-a_{31}a_{22}a_{13}-a_{32}a_{23}a_{11}-a_{21}a_{12}a_{33}=0$$

$$\lambda^6-\lambda^4(a_{11}+a_{22}+a_{33})+\lambda^2(a_{11}a_{22}+a_{11}a_{33}+a_{22}a_{33}-a_{12}a_{21}-a_{13}a_{31}-a_{23}a_{32})-$$

det. A = 0

Los elementos de la matriz A pueden considerarse como complejos o no. Esta última ecuación es llamada "Ecuación Característica", la misma que al ser resuelta proporciona sus raíces correspondientes, llamadas de igual forma valores característicos.

De esta forma, hallados los valores λ_1^2 , λ_2^2 y λ_3^2 , para cada uno de los cuales se cumple la ecuación A1.1, o sea:

$$(A-\lambda_1^2 I) \bar{x}_1 = \bar{0}$$

\bar{x}_1 es un vector relacionado con el valor λ_1^2 , al reemplazar cada uno de los valores característicos en A1.1 se obtienen diferentes vectores, así, en este caso se tienen los vectores:

$$\bar{x}_1, \bar{x}_2 \text{ y } \bar{x}_3$$

Estos vectores por definición son los vectores característicos de la matriz A. Los mismos que pueden ordenarse por columnas y formar una matriz llamada "matriz de vectores característicos".

Otra forma de definir los valores característicos sería: "son aquellos valores que al ser restados de la diagonal de una matriz no singular la convierten en singular". Si la matriz es singular, entonces no existe solución diferente de la trivial. Debido a que los vectores que conforman la matriz son linealmente dependientes (definición matriz singular)

A.1.1 VALORES Y VECTORES CARACTERISTICOS DE AB Y BA

Por facilidad, el análisis se va a realizar para matrices 2x2, pudiéndose extender la demostración para matrices de cualquier orden y que pueden ser complejas.

Si se tienen dos matrices: A y B, complejas o no, tal que:

$$A = \begin{bmatrix} a_{11} & a_{12} \\ a_{21} & a_{22} \end{bmatrix}$$

$$B = \begin{bmatrix} b_{11} & b_{12} \\ b_{21} & b_{22} \end{bmatrix}$$

Primeramente se va a realizar el producto AB:

$$AB = \begin{bmatrix} a_{11}b_{11} + a_{12}b_{21} & a_{11}b_{12} + a_{12}b_{22} \\ a_{21}b_{11} + a_{22}b_{21} & a_{21}b_{12} + a_{22}b_{22} \end{bmatrix}$$

Los valores característicos del producto se hallará restando en la diagonal λ^2 , y encontrando el determinante de dicha matriz transformada e igualándolo a cero:

$$\begin{vmatrix} (a_{11}b_{11} + a_{12}b_{21}) - \lambda^2 & a_{11}b_{12} + a_{12}b_{22} \\ a_{21}b_{11} + a_{22}b_{21} & (a_{21}b_{12} + a_{22}b_{22}) - \lambda^2 \end{vmatrix} = 0$$

$$(a_{11}b_{11} + a_{12}b_{21} - \lambda^2)(a_{21}b_{12} + a_{22}b_{22} - \lambda^2) - (a_{21}b_{11} + a_{22}b_{21})(a_{11}b_{12} + a_{12}b_{22}) = 0$$

$$a_{11}b_{11}a_{21}b_{12} + a_{11}b_{11}a_{22}b_{22} - a_{11}b_{11}\lambda^2 + a_{12}b_{21}a_{21}b_{12} + a_{12}b_{21}a_{22}b_{22} -$$

$$a_{12}b_{21}\lambda^2 - a_{21}b_{12}\lambda^2 - a_{22}b_{22}\lambda^2 + \lambda^4 - a_{21}b_{11}a_{11}b_{12} - a_{21}b_{11}a_{12}b_{22} -$$

$$a_{22}b_{21}a_{11}b_{12} - a_{22}b_{21}a_{12}b_{22} = 0$$

$$\lambda^4 - (a_{11}b_{11} + a_{12}b_{21} + a_{21}b_{12} + a_{22}b_{22})\lambda^2 + a_{11}b_{11}a_{22}b_{22} + a_{12}b_{21}a_{21}b_{12} -$$

$$a_{21}b_{11}a_{12}b_{22} - a_{22}b_{21}a_{11}b_{12} = 0$$

A1.2

$$\lambda^4 - (a_{11}b_{11} + a_{22}b_{22} + a_{12}b_{21} + a_{21}b_{12})\lambda^2 + \det. (AB) = 0$$

Si contrariamente se realiza el producto BA

..../..

$$BA = \begin{bmatrix} a_{11}b_{11} + a_{21}b_{12} & a_{12}b_{11} + a_{22}b_{12} \\ a_{11}b_{21} + a_{21}b_{22} & a_{12}b_{21} + a_{22}b_{22} \end{bmatrix}$$

Los valores característicos se hallarán de:

$$\begin{vmatrix} a_{11}b_{11} + a_{21}b_{12} - \lambda^2 & a_{12}b_{11} + a_{22}b_{12} \\ a_{11}b_{21} + a_{21}b_{22} & a_{12}b_{21} + a_{22}b_{22} - \lambda^2 \end{vmatrix} = 0$$

$$(a_{11}b_{11} + a_{21}b_{12} - \lambda^2)(a_{12}b_{21} + a_{22}b_{22} - \lambda^2) - (a_{11}b_{21} + a_{21}b_{22})(a_{12}b_{11} + a_{22}b_{12}) = 0$$

Simplificando y ordenando:

$$\lambda^4 - \lambda^2(a_{11}b_{11} + a_{22}b_{22} + a_{12}b_{21} + a_{21}b_{12}) + a_{11}b_{11}a_{22}b_{22} +$$

$$a_{12}b_{21}a_{21}b_{12} - a_{11}b_{21}a_{22}b_{12} - a_{21}b_{22}a_{12}b_{11} = 0 \quad A1.3$$

$$\lambda^4 - \lambda^2(a_{11}b_{11} + a_{22}b_{22} + a_{12}b_{21} + a_{21}b_{12}) + \det. (BA)$$

Si se observa A1.2 y A1.3, se puede decir que son dos ecuaciones características idénticas, de ahí que tanto los valores, como los vectores, característicos de AB son los mismos que los de BA ($\det(AB) = \det(BA)$).

A.1.2 INDEPENDENCIA LINEAL DE VECTORES CARACTERISTICOS

La condición de que los valores característicos sean diferentes no es una condición necesaria para que los respectivos vectores sean lineal

mente independientes.

Sean $\lambda_1^2, \lambda_2^2, \dots, \lambda_k^2, \dots, \lambda_n^2$ los valores característicos de una matriz A de orden $n \times n$, entonces $\lambda_1^2 \neq \lambda_2^2 \neq \dots, \lambda_k^2 \neq \dots, \lambda_n^2$, correspondientemente a estos valores, se obtienen los vectores característicos, para cada uno de los cuales se tiene;

$$A\bar{x}_i = \lambda_i^2 \bar{x}_i \quad (i=1, 2, \dots, n)$$

Supóngase que uno de los vectores característicos pueda expresarse como una combinación lineal de los demás;

$$\bar{x}_k = c_1 \bar{x}_1 + c_2 \bar{x}_2 + \dots + c_{k-1} \bar{x}_{k-1} + c_{k+1} \bar{x}_{k+1} + \dots + c_n \bar{x}_n$$

Este vector también tendrá la característica de relacionarse con A mediante;

$$A\bar{x}_k = \lambda_k^2 \bar{x}_k$$

Entonces;

$$A(c_1 \bar{x}_1 + c_2 \bar{x}_2 + \dots + c_{k-1} \bar{x}_{k-1} + c_{k+1} \bar{x}_{k+1} + \dots + c_n \bar{x}_n) = \lambda_k^2 (c_1 \bar{x}_1 + c_2 \bar{x}_2 + \dots + c_{k-1} \bar{x}_{k-1} + c_{k+1} \bar{x}_{k+1} + \dots + c_n \bar{x}_n)$$

Realizando operaciones y recordando que $A\bar{x}_i = \lambda_i^2 \bar{x}_i$

$$c_1 \lambda_1^2 \bar{x}_1 + c_2 \lambda_2^2 \bar{x}_2 + \dots + c_{k-1} \lambda_{k-1}^2 \bar{x}_{k-1} + c_{k+1} \lambda_{k+1}^2 \bar{x}_{k+1} + \dots + c_n \lambda_n^2 \bar{x}_n =$$

$$c_1 \lambda_k^2 \bar{x}_1 + c_2 \lambda_k^2 \bar{x}_2 + \dots + c_{k-1} \lambda_k^2 \bar{x}_{k-1} + c_{k+1} \lambda_k^2 \bar{x}_{k+1} + \dots + c_n \lambda_k^2 \bar{x}_n$$

∴ ∴

De esta ecuación resulta que $\lambda_k^2 = \lambda_1^2 = \lambda_2^2 = \dots = \lambda_{k-1}^2 = \lambda_{k+1}^2 = \dots = \lambda_n^2$, que contradice la hipótesis inicial, de ahí que ningún vector característico puede expresarse como la combinación lineal de los demás, demostrándose de esta forma la independencia lineal de vectores característicos.

A.1.3 VALORES CARACTERISTICOS CERCANOS ENTRE SI.

Existen casos, como en los de los ejemplos corridos, que los valores característicos de una matriz difieren muy poco entre sí (virtualmente iguales). En estos casos la solución directa es complicada ya que pueden producirse fácilmente errores, principalmente por redondeo. Un artificio para resolver el problema es transformar una matriz original A de la siguiente manera:

$$A' = \frac{A}{k} \quad \square 1$$

Escogiendo convenientemente $\square k$, la matriz transformada puede proporcionar más fácilmente sus valores característicos, los cuales deberán ser corregidos para encontrar los de la matriz A de la siguiente manera:

$$\lambda_k^2 = (\lambda_k^2 + 1) k$$

Sin embargo, a pesar de la transformación realizada, los vectores característicos no se ven afectados.

.../...

La matriz a la cual se realiza la transformación es YZ, en la cual:

$$\boxed{\lambda_j^2} = M^{-1} Y Z M$$

Pero de la Referencia N° 7 dada en la bibliografía:

$$Z = Z_t + Z_c + jX_g$$

Z_t = impedancia de tierra (matriz)

Z_c = impedancia del conductor (matriz)

X_g = Reactancia inductiva (matriz)

Y:

$$jX_g Y = \boxed{-\omega^2 U \epsilon} \quad ; \quad \boxed{-\omega^2 U \epsilon} \quad \text{matriz escalar}$$

$$jX_g = \boxed{-\omega^2 U \epsilon} Y^{-1}$$

De ahí que:

$$\boxed{\lambda_j^2} = M^{-1} Y (Z_t + Z_c + jX_g) M$$

$$\boxed{\lambda_j^2} = M^{-1} Y (Z_t + Z_c) M + M^{-1} Y Y^{-1} M \boxed{-\omega^2 U \epsilon}$$

$$\boxed{\lambda_j^2} = M^{-1} Y (Z_t + Z_c) M \boxed{-\omega^2 U \epsilon}$$

$\boxed{-\omega^2 U \epsilon}$ domina sobre $Y(Z_t + Z_c)$, de tal manera que para apreciar las diferencias de los valores característicos es conveniente anular la influencia de este factor mediante:

$$\frac{\boxed{\lambda_j^2}}{\boxed{-\omega^2 U \epsilon}} = \frac{M^{-1} Y (Z_t + Z_c) M}{\boxed{-\omega^2 U \epsilon}} + \boxed{1}$$

.../...

Si se tiene la matriz $P=YZ$, si λ_j^2 son los valores característicos y M la matriz de vectores característicos;

$$M^{-1}YZM = \begin{bmatrix} \lambda_j^2 \\ \end{bmatrix}$$

Y por otro lado, si se tiene $\begin{pmatrix} YZ \\ -\omega^2 U \epsilon \end{pmatrix} = \begin{bmatrix} 1 \\ \end{bmatrix}$, y si $\begin{bmatrix} \lambda_t^2 \\ \end{bmatrix}$ son los valores y M_1 la matriz de vectores característicos.

$$M_1^{-1} \begin{pmatrix} YZ \\ -\omega^2 U \epsilon \end{pmatrix} \begin{bmatrix} 1 \\ \end{bmatrix} M_1 = \begin{bmatrix} \lambda_t^2 \\ \end{bmatrix}$$

$$\frac{M_1^{-1} YZ M_1}{-\omega^2 U \epsilon} \begin{bmatrix} 1 \\ \end{bmatrix} = \begin{bmatrix} \lambda_t^2 \\ \end{bmatrix}$$

$$M_1^{-1} YZ M_1 = -\omega^2 U \epsilon \begin{bmatrix} \lambda_t^2 + 1 \\ \end{bmatrix}$$

Usando la ecuación A1.5

$$M_1^{-1} YZ M_1 = \begin{bmatrix} \lambda_j^2 \\ \end{bmatrix} = M^{-1} YZ M, \text{ entonces } M_1 = M \tag{A1.6}$$

De esta manera se demuestra que los vectores característicos no se alteran al trabajar con la matriz transformada.

La constante $k = -\omega^2 U \epsilon$ tendrá los siguientes valores:

- $\omega = 2\pi f: 1/\text{seg.}$
- $U = 4\pi \times 10^{-7} \text{ Henry/m.}$
- $\epsilon = 8.85 \times 10^{-12} \text{ Farad/m.}$

Se considera que las condiciones son las mismas que las del espacio libre, y la frecuencia de 60 Hz.

$$\boxed{-\omega^2 U \epsilon} = - (2\pi \cdot 60)^2 \frac{1}{\text{seg}^2} 4\pi \times 10^{-7} \frac{\text{Henry}}{\text{m}} 8.85 \times 10^{-12} \frac{\text{Farad}}{\text{m}}$$

$$\boxed{-\omega^2 U \epsilon} = - (2\pi \cdot 60)^2 \times 4\pi \times 10^{-7} \times 8.85 \times 10^{-12} \frac{\text{Henry}}{\text{m}} \frac{\text{Farad}}{\text{m}} \frac{1}{\text{seg}^2}$$

$$\boxed{-\omega^2 U \epsilon} = -4\pi^2 3.600 \times 4 \pi \times 8.85 \times 10^{-19} \frac{\text{Henry Farad}}{\text{m}^2 \text{seg}^2}$$

$$\text{Henry} = \frac{\text{Kg} \cdot \text{m}^2}{(\text{Coulombs})^2}$$

$$\text{Farad} = \frac{(\text{Coulombs})^2 \text{seg}^2}{\text{Kg} \cdot \text{m}^2}$$

$$\boxed{-\omega^2 U \epsilon} = -16\pi^3 \times 3600 \times 8.85 \times 10^{-19} \frac{\text{Kgm}^2 (\text{Coulombs})^2 \text{seg}^2}{(\text{Coulombs})^2 \text{Kg} \cdot \text{m}^2 \cdot \text{m}^2 \cdot \text{seg}^2}$$

$$\boxed{-\omega^2 U \epsilon} = -1.580576 \times 10^{-12} \frac{1}{\text{m}^2} = -1.580576 \times 10^{-6} \frac{1}{(\text{Km})^2} \quad \text{A1.7}$$

$$\boxed{-\omega^2 U \epsilon} = -1.580576 \times 10^{-12} \frac{1}{\text{m}^2} \frac{(1609)^2}{(\text{milla})^2}$$

$$\boxed{-\omega^2 U \epsilon} = -4.0919231 \times 10^{-6} \frac{1}{(\text{milla})^2} \quad \text{A1.8}$$

Las ecuaciones A1.7 y A1.8 son usadas en el programa principal. Cada uno de los valores serán utilizados según las unidades en las que estén Y y Z, si en $\frac{\Omega}{\text{Km}}$, $\frac{U}{\text{Km}}$ ó $\frac{\Omega}{\text{milla}}$, $\frac{U}{\text{milla}}$.

Por otro lado de la ecuación:

$$\text{PM} = M \lambda_j^2$$

$$P = M \begin{bmatrix} \lambda_j^2 \end{bmatrix} M^{-1}$$

$$P^2 = M \begin{bmatrix} \lambda_j^2 \end{bmatrix} M^{-1} M \begin{bmatrix} \lambda_j^2 \end{bmatrix} M^{-1} = M \begin{bmatrix} \lambda_j^4 \end{bmatrix} M^{-1}$$

y en general

$$g(P) = Mg \left(\begin{bmatrix} \lambda_j^2 \end{bmatrix} \right) M^{-1}$$

Propiedad muy importante de los valores y vectores característicos.

A1.4. VALORES CARACTERISTICOS DE $Y * Z$ CUANDO ESTAN DADAS EN COMPONENTES DE FASE O SECUENCIA

Sean Y y Z las matrices admitancia e impedancia en componentes de secuencia, y por otro lado, Y' y Z' en componentes de fase.

Del Anexo N° 2 se tiene que:

$$Z = T^{-1} Z' T$$

$$Y = T^{-1} Y' T$$

Luego si se realiza el producto $Y * Z$

$$YZ = T^{-1} Y' T T^{-1} Z' T$$

$$YZ = Y' Z'$$

De esto se deduce que los valores y vectores característicos de $Y * Z$ son independientes de las componentes en que están dadas las matrices Y y Z .

A N E X O N° 2

COMPONENTES SIMÉTRICAS Y DE FASE

El método de análisis mediante componentes simétricas en circuitos - polifásicos desequilibrados ha ido adquiriendo importancia, y ha sido el tema de numerosos artículos e investigaciones.

Las fallas en un sistema de transmisión, problemas de impedancias entre líneas y a tierra o conductores abiertos pueden ser estudiados - por medio de las componentes simétricas.

El método es el siguiente: cualquier sistema desequilibrado de n vectores relacionados entre sí, puede ser descompuesto en n sistemas de vectores equilibrados. Los n vectores de cada conjunto de componentes son de igual longitud, teniendo además iguales los ángulos formados entre vectores adyacentes.

El sistema usado en la generalidad es el trifásico, de ahí que el análisis se va a restringir al estudio del sistema trifásico.

En el sistema trifásico, cualquier sistema desequilibrado puede ser descompuesto en otros tres llamados: componentes de secuencia positi

ya, negativa y cero, Y cada uno de los vectores originales será igual a la suma de sus componentes. Por ejemplo, el vector \vec{v} :

$$\vec{v}_a = v_{a0} + v_{a1} + v_{a2}$$

$$\vec{v}_b = v_{b0} + v_{b1} + v_{b2}$$

$$\vec{v}_c = v_{c0} + v_{c1} + v_{c2}$$

Los mismos que se llegan a relacionar mediante:

$$\vec{v}_a = v_{a0} + v_{a1} + v_{a2}$$

$$\vec{v}_b = v_{a0} + a^2 v_{a1} + a v_{a2} \quad ; \quad a = 1 \angle 120^\circ$$

$$\vec{v}_c = v_{a0} + a v_{a1} + a^2 v_{a2}$$

$$\begin{bmatrix} v_a \\ v_b \\ v_c \end{bmatrix} = \begin{bmatrix} 1 & 1 & 1 \\ 1 & a^2 & a \\ 1 & a & a^2 \end{bmatrix} \begin{bmatrix} v_{a0} \\ v_{a1} \\ v_{a2} \end{bmatrix} ; \quad \begin{bmatrix} i_a \\ i_b \\ i_c \end{bmatrix} = \begin{bmatrix} 1 & 1 & 1 \\ 1 & a^2 & a \\ 1 & a & a^2 \end{bmatrix} \begin{bmatrix} i_{a0} \\ i_{a1} \\ i_{a2} \end{bmatrix}$$

$$\vec{v}_{abc} = T \vec{v}_{012}$$

$$\vec{i}_{abc} = T \vec{i}_{012}$$

$$\begin{bmatrix} v_{a0} \\ v_{a1} \\ v_{a2} \end{bmatrix} = \frac{1}{3} \begin{bmatrix} 1 & 1 & 1 \\ 1 & a & a^2 \\ 1 & a^2 & a \end{bmatrix} \begin{bmatrix} v_a \\ v_b \\ v_c \end{bmatrix} ; \quad \begin{bmatrix} i_{a0} \\ i_{a1} \\ i_{a2} \end{bmatrix} = \frac{1}{3} \begin{bmatrix} 1 & 1 & 1 \\ 1 & a & a^2 \\ 1 & a^2 & a \end{bmatrix} \begin{bmatrix} i_a \\ i_b \\ i_c \end{bmatrix}$$

$$\vec{v}_{012} = T^{-1} \vec{v}_{abc}$$

$$\vec{i}_{012} = T^{-1} \vec{i}_{abc}$$

Para hallar las constantes Y y Z de una línea en componentes de fase o secuencia se aplicará:

$$\begin{bmatrix} v_a \\ v_b \\ v_c \end{bmatrix} = \begin{bmatrix} z_{aa} & z_{ab} & z_{ac} \\ z_{ba} & z_{bb} & z_{bc} \\ z_{ca} & z_{cb} & z_{cc} \end{bmatrix} \begin{bmatrix} i_a \\ i_b \\ i_c \end{bmatrix}$$

$$\bar{v}_{abc} = Z_{abc} \bar{i}_{abc}$$

Si \bar{v} e \bar{i} se transforman a componentes de secuencia de la siguiente forma:

$$T\bar{v}_{012} = Z_{abc} T\bar{i}_{012}$$

$$\bar{v}_{012} = T^{-1} Z_{abc} T\bar{i}_{012}$$

De aquí;

$$Z_{012} = T^{-1} Z_{abc} T, \text{ porque}$$

A1.1

$$\bar{v}_{012} = Z_{012} \bar{i}_{012}$$

Por otra parte

$$\bar{i}_{abc} = Y_{abc} \bar{v}_{abc}$$

Reemplazando por componentes simétricas,

$$T\bar{i}_{012} = Y_{abc} T\bar{v}_{012}$$

$$\bar{i}_{012} = T^{-1} Y_{abc} T\bar{v}_{012}$$

pero:

$$\bar{i}_{012} = Y_{012} \bar{V}_{012}$$

entonces:

$$Y_{012} = T^{-1} Y_{abc} T$$

A2.2.

A2.1 y A2.2. son usadas en la subrutina COMPON

Subíndices 012 componentes de secuencia, y_{abc} componentes de fase. Para circuitos en paralelo las matrices Y y Z tienen un orden igual $3n$ (n # de circuitos). Con el objeto de ver la forma que tendrá la matriz T en circuitos paralelos, se analizará el caso en que $n=2$ para luego generalizar.

$$\begin{bmatrix} \bar{i}'_{abc} \\ \bar{i}''_{abc} \end{bmatrix} = \begin{bmatrix} Z'_{abc} & Z''_{abc} \\ Z''_{abc} & Z'_{abc} \end{bmatrix} \begin{bmatrix} \bar{v}'_{abc} \\ \bar{v}''_{abc} \end{bmatrix}$$

' para circuito N° 1, '' para circuito N° 2 y ' ' para acoplamientos.

Pasando a componentes simétricas:

$$\begin{bmatrix} T \bar{i}'_{012} \\ T \bar{i}''_{012} \end{bmatrix} = \begin{bmatrix} Z'_{abc} & Z''_{abc} \\ Z''_{abc} & Z'_{abc} \end{bmatrix} \begin{bmatrix} T \bar{v}'_{012} \\ T \bar{v}''_{012} \end{bmatrix}$$

.../...

$$\begin{bmatrix} T & 0 \\ 0 & T \end{bmatrix} \begin{bmatrix} \bar{i}_{012} \\ \bar{i}_{012} \end{bmatrix} = \begin{bmatrix} Z'_{abc} & Z''_{abc} \\ Z''_{abc} & Z'_{abc} \end{bmatrix} \begin{bmatrix} T & 0 \\ 0 & T \end{bmatrix} \begin{bmatrix} \bar{v}_{012} \\ \bar{v}_{012} \end{bmatrix}$$

$$T \bar{i}_{012} = Z_{02} T \bar{v}_{012}$$

$$T = \begin{bmatrix} T & 0 \\ 0 & T \end{bmatrix}$$

El análisis puede ser generalizado para n circuitos en paralelo.

$$T = \begin{bmatrix} 1 & 1 & 1 & 0 & 0 & 0 & \cdot & \cdot & \cdot \\ 1 & a^2 & a & 0 & 0 & 0 & \cdot & \cdot & \cdot \\ 1 & a & a^2 & 0 & 0 & 0 & \cdot & \cdot & \cdot \\ 0 & 0 & 0 & 1 & 1 & 1 & \cdot & \cdot & \cdot \\ 0 & 0 & 0 & 1 & a^2 & a & \cdot & \cdot & \cdot \\ 0 & 0 & 0 & 1 & a & a^2 & \cdot & \cdot & \cdot \\ \cdot & \cdot & \cdot & \cdot & \cdot & \cdot & \cdot & \cdot & \cdot \\ \cdot & \cdot & \cdot & \cdot & \cdot & \cdot & \cdot & \cdot & \cdot \\ \cdot & \cdot & \cdot & \cdot & \cdot & \cdot & \cdot & \cdot & \cdot \end{bmatrix}$$

Ecuación usada en el programa (Subrutina COMPON)

(ver Referencia N° 8)

A N E X O N º 3

SISTEMA DE ECUACIONES DIFERENCIALES LINEALES HOMOGENEAS DE SEGUNDO

ORDEN

Al resolver las ecuaciones diferenciales fundamentales de una línea - se aborda este tema que ya a ser analizado de una manera rápida.

Si se tiene el siguiente sistema:

$$\frac{\partial^2 y_1}{\partial x^2} = a_{n1}y_1 + a_{n2}y_2 + \dots + a_{nn}y_n$$

$$\frac{\partial^2 y_2}{\partial x^2} = a_{21}y_1 + a_{22}y_2 + \dots + a_{2n}y_n$$

$$\frac{\partial^2 y_n}{\partial x^2} = a_{n1}y_1 + a_{n2}y_2 + \dots + a_{nn}y_n$$

Este es un sistema de ecuaciones diferenciales lineales homogeneas.

Como se puede observar el sistema de ecuaciones tiene la forma:

$$\frac{\partial^2 R(x)}{\partial x^2} - AR(x) = 0$$

A3.1

R será de una forma tal que su segunda derivada tenga la posibilidad de anularse con la original.

Las funciones que cumplen con este requerimiento son:

$$R(x) = \sinh(\gamma x) \quad A3.2$$

y

$$R(x) = \cosh(\gamma x) \quad A3.3$$

En las que γ es una constante a determinarse.

Probando la primera solución:

$$\frac{\partial^2 R(x)}{\partial x^2} = \gamma^2 \sinh(\gamma x)$$

$$\gamma^2 \sinh(\gamma x) - A \sinh(\gamma x) = 0$$

$$(\gamma^2 - A) = 0$$

Entonces:

$$\gamma^2 = A$$

De ahí que la solución es:

$$R(x) = \sinh(\sqrt{A} x) \quad A3.4$$

Reemplazando esta solución en la ecuación original se ve que la solución cumple.

$$A \sinh(\sqrt{A} x) - A \sinh(\sqrt{A} x) = 0$$

Ahora se probará la segunda solución:

$$\frac{\partial^2 R(x)}{\partial x^2} = \cosh(\gamma x)$$

$$\gamma^2 \cosh(\gamma x) - A \cosh(\gamma x) = 0$$

$$(\gamma^2 - A) = 0$$

$$\gamma = A^{1/2}$$

La solución evaluada su constante es;

$$R(x) = \cosh(A^{1/2}x) \tag{A3.5}$$

Si para una misma ecuación diferencial hay dos o más soluciones, una solución será la combinación lineal de todas ellas, o sea:

$$R(x) = k \sinh(\gamma x) + n \cosh(\gamma x) \tag{A3.6}$$

Se probará la solución para verificar lo antes dicho.

$$\frac{\partial^2 R(x)}{\partial x^2} = \gamma^2 k \sinh(\gamma x) + \gamma^2 n \cosh(\gamma x) \tag{A3.7}$$

reemplazando en A3.1

$$\gamma^2 k \sinh(\gamma x) + \gamma^2 n \cosh(\gamma x) - A k \sinh(\gamma x) - A n \cosh(\gamma x) = 0$$

simplificando, Resulta: $\gamma^2 = A$

La solución, evaluado γ es:

$$R(x) = k \sinh(A^{1/2}x) + n \cosh(A^{1/2}x) \tag{A3.8}$$

k y n son constantes que se determinarán de las condiciones de frontera de la ecuación. Supóngase que las condiciones de frontera son:

$$R(x) = cf1 \tag{A3.9}$$

$$\frac{\partial^2 R(1)}{\partial x^2} = cf2 \tag{A3.10}$$

de A3.6 y A3.9

$$R(0) = k \sinh(\gamma_0) + n \cosh(\gamma_0) = cf_1$$

De ahí que; $n = cf_1$

De A3.7 y A3.10

$$\frac{\partial^2 (1)}{\partial x^2} = \gamma^2 k \sinh(\gamma_0) + n \cosh(\gamma_0) = cf_2$$

Entonces: $k = cf_2$

De esta manera se determinan las constantes k y n.

Las soluciones dadas son del sistema en general, las soluciones individuales serán de la misma forma, con la propiedad de que cada una de ellas se diferenciará por una constante adicional. Es decir:

$$y_1 = m_1 \sinh(\gamma x)$$

$$y_2 = m_2 \sinh(\gamma x)$$

$$y_n = m_n \sinh(\gamma x)$$

y por otro lado,

$$y_1 = m_1 \cosh(\gamma x)$$

$$y_2 = m_2 \cosh(\gamma x)$$

⋮
⋮
⋮ / ⋮
⋮

$$y_n = m_n \cosh(\gamma x)$$

De ahí que la solución general será la combinación de todas y cada una de las soluciones, por estar las ecuaciones relacionadas entre sí, o sea;

$$y_1 = k_1 m_{11} \sinh(\gamma_1 x) + k_2 m_{12} \sinh(\gamma_2 x) + \dots + k_n m_{1n} \sinh(\gamma_n x) +$$

$$n_1 m_{11} \cosh(\gamma_1 x) + n_2 m_{12} \cosh(\gamma_2 x) + \dots + n_n m_{1n} \cosh(\gamma_n x)$$

$$y_2 = k_1 m_{21} \sinh(\gamma_1 x) + k_2 m_{22} \sinh(\gamma_2 x) + \dots + k_n m_{2n} \sinh(\gamma_n x) +$$

$$n_1 m_{21} \cosh(\gamma_1 x) + n_2 m_{22} \cosh(\gamma_2 x) + \dots + n_n m_{2n} \cosh(\gamma_n x)$$

$$y_n = k_1 m_{n1} \sinh(\gamma_1 x) + k_2 m_{n2} \sinh(\gamma_2 x) + \dots + k_n m_{nn} \sinh(\gamma_n x) +$$

$$n_1 m_{n1} \cosh(\gamma_1 x) + n_2 m_{n2} \cosh(\gamma_2 x) + \dots + n_n m_{nn} \cosh(\gamma_n x)$$

en forma simplificada

$$\bar{y} = M \boxed{\sinh(\gamma_j x)} \bar{k} + M \boxed{\cosh(\gamma_j x)} \bar{n}$$

A N E X O N º 4

MATRICES DE IMPEDANCIA Y ADMITANCIA CARACTERISTICAS, CONSTANTES DE -

PROPAGACION

Una vez hallados los valores y vectores característicos de YZ, se puede llegar a las ecuaciones matriciales para el cálculo de las constantes de propagación, impedancia y admitancia características, para ello se parte de la siguiente fórmula:

$$QM = M \begin{bmatrix} \gamma_j^2 \end{bmatrix}$$

$$ZY = M \begin{bmatrix} \gamma_j^2 \end{bmatrix} M^{-1}$$

$$(ZY)^{1/2} = M \begin{bmatrix} \gamma_j \end{bmatrix} M^{-1}$$

Por definición

$\begin{bmatrix} \gamma_j \end{bmatrix}$ es la matriz de constantes de programación (matriz de raíces cuadradas de valores característicos) (ver $(ZY)^{1/2}$ Referencia Nº 4)

$$(ZY)^{-1/2} = M^{-1} \begin{bmatrix} \gamma_j^{-1} \end{bmatrix} M$$

$$(Y^{-1} Z^{-1})^{1/2} = M \begin{bmatrix} \gamma_j^{-1} \end{bmatrix} M^{-1}$$

$$(Y^{-1} Z^{-1})^{1/2} Z Z^{-1} = M \begin{bmatrix} \gamma_j^{-1} \end{bmatrix} M^{-1}$$

$$(Y^{-1} Z^{-1} Z^2)^{1/2} Z^{-1} Z = M \begin{bmatrix} \gamma_j^{-1} \end{bmatrix} M^{-1} Z$$

.../...

$$(Y^{-1}Z)^{1/2} = M \boxed{\gamma_j^{-1}} M^{-1} Z$$

Pero por definición $Z_0 = \left(\frac{Z}{Y}\right)^{1/2} = (Y^{-1}Z)^{1/2}$ (matriz de impedancias características).

Entonces;

$$Z_0 = M \boxed{\gamma_j^{-1}} M^{-1} Z \quad (\text{Referencia N}^\circ 7) \quad A4.1$$

En la cual;

$Z_0 =$ impedancia característica de la línea

$M =$ matriz de vectores característicos de ZY ó YZ

$\boxed{\gamma_j}$ = matriz diagonal de la raíz cuadrada de valores característicos, que por definición es la matriz de constantes de propagación.

Esta expresión para Z_0 se usará en el programa digital (Subrutina - CARACT)

Por otro lado, por definición.

$$Y_0 = Z_0^{-1} = (Z^{-1}Y)$$

$$Y_0 = (M \boxed{\gamma_j^{-1}} M^{-1} Z)^{-1}$$

$$Y_0 = Z^{-1} M \boxed{\gamma_j} M^{-1} Y$$

Pero por otro lado:

$$ZY = M \boxed{\gamma_j^2} M^{-1} \quad ; \text{ despejando } Z:$$

$$Z = M \boxed{\gamma_j^2} M^{-1} Y^{-1}$$

$$Z^{-1} = Y M \boxed{\gamma_j^{-2}} M^{-1}$$

Reemplazando en la última expresión para Y_0

$$Y_0 = Y M \boxed{\gamma_j^{-2}} M^{-1} M \boxed{\gamma_j} M^{-1}$$

$$Y_0 = Y M \boxed{\gamma_j^{-1}} M^{-1} \quad (\text{Referencia N}^\circ 7)$$

A4.2

Ecuación que será utilizada en el programa (Subrutina CARACT)

Por otro lado, los elementos de γ_j son complejos, en los que:

$$\boxed{\gamma_j} = \boxed{\alpha_j + j\beta_j} = \boxed{\alpha_j} + j \boxed{\beta_j}$$

$\boxed{\alpha_j}$ = constante de amortiguamiento en nepers por unidad de longitud

$\boxed{\beta_j}$ = constante de fase en radianes por unidad de longitud

La longitud de onda se define como;

$$\boxed{\lambda_j} = \boxed{\frac{2\pi}{\beta_j}} \quad \text{en kilómetros}$$

La velocidad de propagación se define por el producto de la longitud de onda, en Km, con la frecuencia en Hz.

$$\text{velocidad} = f \boxed{\frac{2\pi}{\beta_j}} = \boxed{\frac{\omega}{\beta_j}}$$

Ecuación usada en el programa (Subrutina CARACT)

Referencia N° 7.

REFERENCIAS BIBLIOGRAFICAS.

- 1.- Gabriel Kron; "TENSOR ANALYSIS OF NETWORKS"; Jhon Wiley & Sons, Inc. New York. 1965.
- 2.- Ralston Anthony; "INTRODUCCION AL ANALISIS NUMERICO"; Editorial Limusa Wiley, S.A. Mexico 1970
- 3.- W.I. Bowman, J.M. Mc Name. "DEVELOPMENT OF EQUIVALENT PI AND T MATRIX CIRCUITS FOR LONG UNTRANSPOSED TRANSMISSION LINES". : IEEE Power Ap.&Systems, IEEE Transaction, Julio 1964, pp 625-32.
- 4.- W.D. Stevenson, "ANALISIS DE SISTEMAS ELECTRICOS DE POTENCIA" Mc Graw Hill, 2da Edicion.
- 5.- Jacques Bonteloup. "CALCULO DE MATRICES", Editorial Universitaria de Buenos Aires, 2da Edicion 1966.
- 6.- B. Carnahan, H.A. Luther, J.O. Wilkes, "APPLIED NUMERICAL METHODS" ; Jhon Wiley & Sons, Inc. New York 1969.
- 7.- R.H. Galloway Etal; "CALCULATION OF ELECTRICAL PARAMETERS FOR SHORT AND LONG POLIPHASE TRANSMISION LINES", IEE Proc, III, V Vol . 111, N°12, Dic. 1964.
- 8.- D. Coleman, F. Watts, R.P. Shipley, "DIGITAL CALCULATION OF OVERHEAD TRANSMISION LINE CONSTANT" , AIEE Transaction, pt.III(Power Apparatus and Systems). Vol 77, 1958 (feb. 1959 Section) pp 1266-68

- 9.- Tropper A.M.; "MATRIX FOR ELECTRICAL ENGINEERS" ; Adison- Wes
ley Publishing Company, Inc. 1962.
- 10.- "WESTINGHOUSE ELECTRICAL TRANSMISION AND DISTRIBUTION REFERENCE
BOOK"; Donneeley & Sons Company. Chicago 1950.